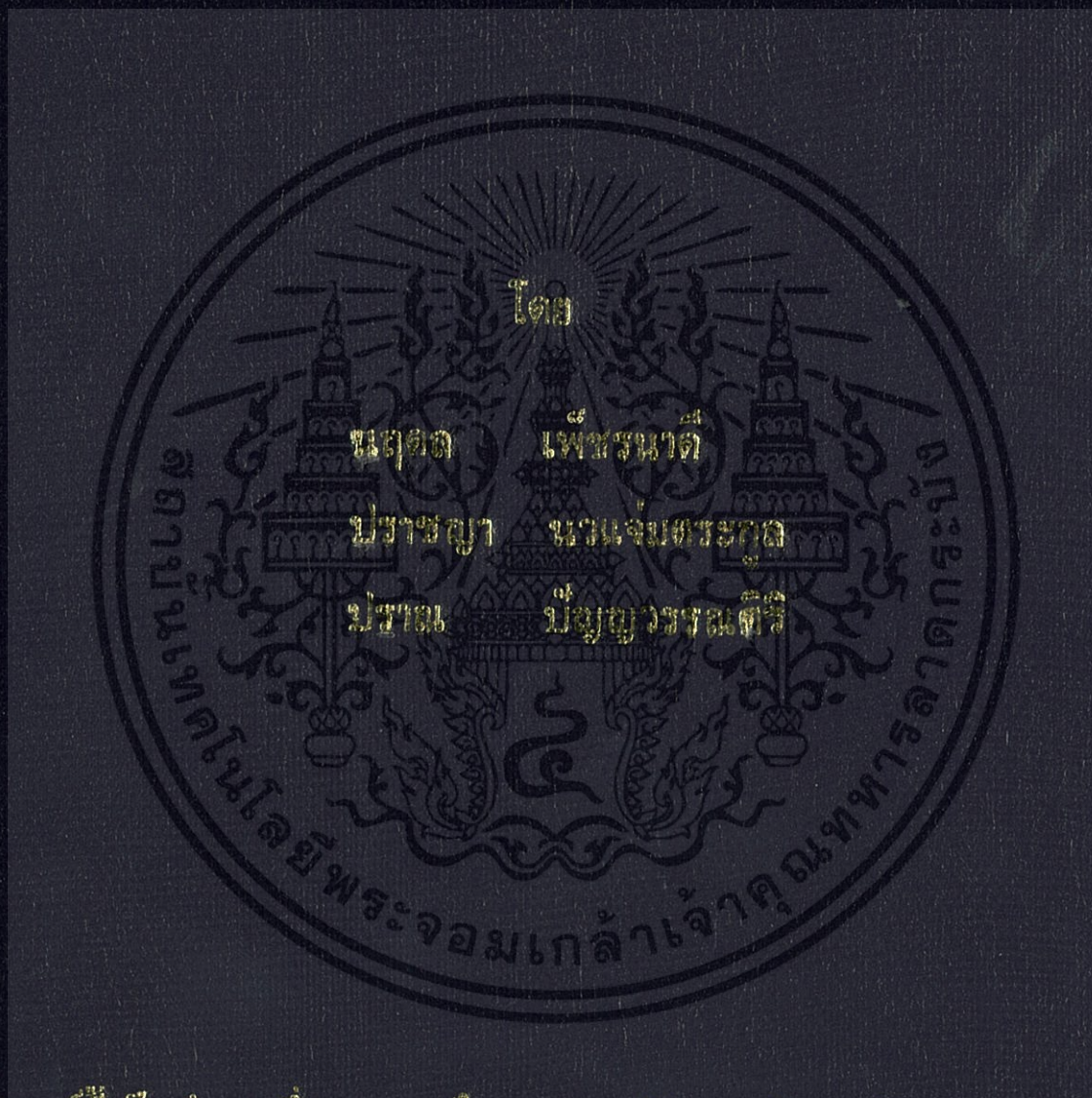


ตัวชดเชยกำลังรีแอคทีฟแบบสามเฟส

3-Phase Static VAR Compensator



ปริญญาโท ๕๖๑๕ เป็นส่วนหนึ่งของหลักสูตรวิทยาศาสตรบัณฑิต สาขาวิศวกรรมศาสตร์

สาขาวิชาวิศวกรรมไฟฟ้า คณะวิศวกรรมศาสตร์

สถาบันเทคโนโลยีพระจอมเกล้าเจ้าคุณทหารลาดกระบัง

ปีการศึกษา ๒๕๕๖

ตัวชดเชยกำลังรีแอกทีฟแบบสามเฟส

3-Phase Static VAR Compensator



ปริญญานิพนธ์นี้เป็นส่วนหนึ่งของการศึกษาตามหลักสูตรปริญญาวิศวกรรมศาสตรบัณฑิต

สาขาวิชาวิศวกรรมไฟฟ้า คณะวิศวกรรมศาสตร์

สถาบันเทคโนโลยีพระจอมเกล้าเจ้าคุณทหารลาดกระบัง

ปีการศึกษา 2556

เอกสารนี้เป็นเอกสารที่สงวนไว้สำหรับการใช้งานเพื่อการศึกษาเท่านั้น ไม่อนุญาตให้นำไปใช้ประโยชน์ด้านการค้า
ไม่ว่ากรณีใดๆทั้งสิ้น อีกทั้งห้ามมิให้ดัดแปลงเนื้อหา และต้องอ้างอิงถึงเจ้าของเอกสารทุกครั้งที่มีการนำไปใช้

3-Phase Static VAR Compensator



THIS PROJECT SUBMITTED IN PARTIAL FULFILLMENT OF THE REQUIREMENT
FOR THE BACHELOR DEGREE IN ELECTRICAL ENGINEERING
DEPARTMENT OF ELECTRICAL ENGINEERING FACULTY OF ENGINEERING
KING MONGKUT'S INSTITUTE OF TECHNOLOGY LADKRABANG

2013

เอกสารนี้เป็นเอกสารที่สงวนไว้สำหรับการใช้งานเพื่อการศึกษาเท่านั้น ไม่อนุญาตให้นำไปใช้ประโยชน์ด้านการค้า
ไม่ว่ากรณีใดๆทั้งสิ้น อีกทั้งห้ามมิให้ตัดแปลงเนื้อหา และต้องอ้างอิงถึงเจ้าของเอกสารทุกครั้งที่มีการนำไปใช้

ปีการศึกษา 2556

ตัวชดเชยกำลังรีแอกทีฟสามเฟส

3-Phase Static VAR Compensator



อาจารย์ที่ปรึกษา

รศ.ดร. วิจิตร กิณเรศ

อ.ชัยทัต มณีอินทร์

เอกสารนี้เป็นเอกสารที่สงวนไว้สำหรับการใช้งานเพื่อการศึกษาเท่านั้น ไม่อนุญาตให้นำไปใช้ประโยชน์ด้านการค้า
ไม่ว่ากรณีใดๆทั้งสิ้น อีกทั้งห้ามมิให้ดัดแปลงเนื้อหา และต้องอ้างอิงถึงเจ้าของเอกสารทุกครั้งที่มีการนำไปใช้

ปริญญาานิพนธ์ปีการศึกษา 2556

สาขาวิชาวิศวกรรมไฟฟ้า

คณะวิศวกรรมศาสตร์ สถาบันเทคโนโลยีพระจอมเกล้าเจ้าคุณทหารลาดกระบัง

เรื่อง ตัวชุดเซชยกำลังรีแอกทีฟแบบสามเฟส

ผู้จัดทำ

1. นาย นฤตล เพ็ชรนาดี
2. นาย ปราชญา นวแจ่มตระกูล
3. นาย ปราณ ปัญญาวรณศิริ



..... อาจารย์ที่ปรึกษา

(รศ.ดร. วิจิตร กิณเรศ)

..... อาจารย์ที่ปรึกษา

(อ.ชัยทัต มณีอินทร์)

เอกสารนี้เป็นเอกสารที่สงวนไว้สำหรับการใช้งานเพื่อการศึกษาเท่านั้น ไม่อนุญาตให้นำไปใช้ประโยชน์ด้านการค้า
ไม่ว่ากรณีใดๆทั้งสิ้น อีกทั้งห้ามมิให้ดัดแปลงเนื้อหา และต้องอ้างอิงถึงเจ้าของเอกสารทุกครั้งที่มีการนำไปใช้

ตัวชดเชยกำลังรีแอกทีฟสามเฟส

นาย นฤตล	เพ็ชรนาดี
นาย ปราชญา	นวมแจ่มตระกูล
นาย ปราณ	ปัญญาวรรณศิริ
รศ.ดร. วิจิตร	กิมเรศ
อ.ชัยทัต	มณีอินทร์
ปีการศึกษา 2556	

บทคัดย่อ

ปัญหาทางด้านเสถียรภาพและความมั่นคงกับระบบไฟฟ้า ส่งผลถึงการขยายตัวของเศรษฐกิจและอุตสาหกรรม ทั้งนี้ จึงจำเป็นต้องมีการพัฒนาอุปกรณ์ที่สามารถช่วยรักษาเสถียรภาพและความมั่นคงของระบบไฟฟ้า ปรินุญานินพนธ์นี้ศึกษาและทดลองตัวชดเชยกำลังรีไฟฟารีแอกทีฟแบบสถิตในระบบไฟฟ้ากำลังสามเฟส โดยใช้วงจรรีแอกเตอร์ควบคุมด้วยไธริสเตอร์ (Thyristor Control Reactor : TCR) ต่อขนานกับตัวเก็บประจุที่กำหนดค่าคงที่ (Fixed Capacitor) ที่มีพิคัดกำลัง 1.5 kVA แรงดัน 220 V และกระแส 3.5 A เพื่อรักษาระดับแรงดันไฟฟ้าที่จุดโหลด และปรับปรุงค่าตัวประกอบกำลังไฟฟ้าที่แหล่งจ่ายของระบบสามเฟสให้ดีขึ้น ตัวชดเชยนี้สามารถควบคุมปริมาณกำลังรีแอกทีฟ ที่เข้าสู่ระบบได้โดยการปรับมุมจุดขนวนนำกระแสของไธริสเตอร์ ซึ่งในการควบคุมจะรับค่าแรงดันที่ จุดโหลดเพื่อนำไปคำนวณหามุมจุดขนวนนำกระแสของไธริสเตอร์ที่เหมาะสมโดยใช้ไมโครคอนโทรลเลอร์ แล้วนำค่ามุมจุดขนวนที่คำนวณได้ไปสั่งการชุดควบคุมเฟสให้ไธริสเตอร์แต่ละเฟสนำกระแส โดยใช้วงจรบัฟเฟอร์ในการขยายแรงดันแทนวงจร Buck Converter การเพื่อให้การทำงานรวดเร็วขึ้น

3-phase Static VAR Compensator

Mr. NARUDOL PETNADEE
Mr. PRACHAYA NAWAJAMTRAKUL
Mr. PRAN PUNYAWANSIRI
Mr. Assoc.Prof.Dr. VIJIT KINNARES
Mr. CHAITAT MANEEINN

2013

Abstract

The stability and security of electric power system has affected to develop and expand the economics and industrials of the country. It is necessary to develop a device that can help to maintain the stability and security of the power system. This paper is to study and experiment of 3-phase Static VAR Compensator for power system using Thyristor Control Reactor (TCR) with fixed capacitor rated power 1.5 kVA voltage 220 V and current 3.5 A. The purpose of this project is to maintain load point voltage level and improve the power factor of three-phase power system. The compensator can control the quantity of reactive power flowing into system by adjusting the firing angle of the thyristors. Microcontroller is used for calculating of the firing angle of the thyristors in each phase, receiving load point voltage, sending calculated firing angle to trig the thyristor in each phase, and using buffer amplifier instead of buck converter to make the circuit faster.

กิตติกรรมประกาศ

ปริญญานิพนธ์ฉบับนี้สำเร็จลุล่วงไปได้ด้วยดี ด้วยการช่วยจากหลายท่าน โดยเฉพาะอย่างยิ่ง ต้องขอขอบคุณ รศ.ดร. วิจิตร กิณเรศ และอ.ชัยทัต มณีอินทร์พัฒนเดช อาจารย์ที่ปรึกษา รวมไปถึงคุณ ปุณยวีร์ ฉายศิริ ที่ได้กรุณาให้ข้อเสนอแนะและข้อคิดเห็นต่างๆ ที่เป็นประโยชน์ต่อโครงการมาด้วยดีตลอด และได้กรุณาตรวจแก้ไข ปริญญานิพนธ์จนสำเร็จเรียบร้อยเป็นอย่างดี

ขอขอบคุณพี่ๆ เพื่อนๆ ในห้องวิจัยอิเล็กทรอนิกส์กำลังและควบคุมเครื่องจักร (EMC) ทุกคน ที่ช่วยแก้ปัญหาด้วยดีมาโดยตลอดนอกจากนั้นผู้จัดทำต้องขอขอบคุณ คุณนครศักดิ์ เจ้าหน้าที่ห้องปฏิบัติการที่ให้เบิกใช้เครื่องมือ ตลอดจนคุณกมลวรรณเจ้าหน้าที่ห้องธุรการที่ให้คำแนะนำเกี่ยวกับการเบิกใบเสร็จของโครงการ

ท้ายนี้คณะผู้จัดทำ ขอกราบขอบพระคุณ บิดามารดา และครอบครัวซึ่งให้การสนับสนุนในด้านการเงินและให้กำลังใจอีกทั้งเพื่อนๆ พี่ๆ น้องๆ ที่ให้ความช่วยเหลือในด้านการจัดหาอุปกรณ์ต่างๆ ในการทำโครงการครั้งนี้จนสำเร็จได้ด้วยดี จึงขอขอบคุณไว้ ณ ที่นี้ด้วย

คณะผู้จัดทำ

สารบัญ

	หน้า
บทคัดย่อ	i
ABSTRACT	ii
กิตติกรรมประกาศ	iii
สารบัญ	iv
สารบัญรูปภาพ	vii
สารบัญตาราง	xi
บทที่ 1 บทนำ	1
1.1 ความเป็นมาและความสำคัญของปัญหา	1
1.2 วัตถุประสงค์ของการวิจัย	4
1.3 ขอบเขตงานวิจัย	4
1.4 วิธีการดำเนินงาน	4
1.5 แผนการดำเนินงาน	5
1.6 ประโยชน์ที่รับจากการวิจัย	5
1.7 การจัดโครงสร้างของเนื้อหาในปริญญานิพนธ์	6
บทที่ 2 หลักการของการชดเชยกำลังรีแอกทีฟ	7
2.1 ทฤษฎีและหลักการของการลดลงของแรงดันที่โหลด	7
2.2 ทฤษฎีและหลักการปรับปรุงค่าตัวประกอบ	8
2.2.1 ประโยชน์ของการปรับปรุงค่าตัวประกอบกำลัง	9
2.3 การใช้งานตัวชดเชยโหลด (Compensator)	11
2.3.1 คุณสมบัติของตัวชดเชยกำลังไฟฟารีแอกทีฟแบบสถิต	12
2.4 ของตัวชดเชยแบบรีแอกเตอร์ด้วยโรติสเตอร์	13
2.4.1 หลักการทำงาน	13
2.4.2 ลักษณะแรงดัน / กระแส	17
2.5 การควบคุม	18
2.5.1 การควบคุมแบบวงเปิด	19
2.5.1 ความเร็วในการตอบสนอง	19

เอกสารนี้เป็นเอกสารที่สงวนไว้สำหรับการใช้งานเพื่อการศึกษาเท่านั้น ไม่อนุญาตให้นำไปใช้ประโยชน์ด้านการค้า
ไม่ว่ากรณีใดๆทั้งสิ้น อีกทั้งห้ามมิให้ดัดแปลงเนื้อหา และต้องอ้างอิงถึงเจ้าของเอกสารทุกครั้งที่มีการนำไปใช้

สารบัญ (ต่อ)

	หน้า
2.5.3 การควบคุมเฟสที่เป็นอิสระ	20
2.6 ผลการตอบสนองของศักดาเกินและศักดาต่ำ	20
2.7 กำลังสูญเสีย	20
บทที่ 3 การออกแบบและการจำลอง	21
3.1 บทนำ	21
3.2 ตัวชดเชยกำลังรีแอกทีฟ	21
3.2.1 การออกแบบขนาดของตัวเหนี่ยวนำและตัวเก็บประจุ ของชุดชดเชยกำลังไฟฟ้รีแอกทีฟ	21
3.2.2 การควบคุม	23
3.3 การจำลองระบบด้วยโปรแกรมคอมพิวเตอร์	23
3.3.1 การจำลองแหล่งจ่ายกำลังไฟฟ้า 3 เฟส	25
3.3.2 การจำลองตัวชดเชยกำลังรีแอกทีฟ	25
3.3.3 การจำลองโหลดไฟฟ้า	26
3.4 การออกแบบวงจรตัวชดเชยกำลังรีแอกทีฟแบบสามเฟส	27
3.4.1 การออกแบบวงจรตรวจจับผ่านศูนย์ (Zero crossing detector circuit)	27
3.4.2 วงจรไมโครคอนโทรลเลอร์	28
3.4.3 การออกแบบวงจรขับเคลื่อน	29
3.4.4 วงจรตรวจจับแรงดันไฟฟ้า	30
3.4.5 การออกแบบวงจรไดรแอกและวงจรถับเบรก	31
3.4.6 ออกแบบตัวเหนี่ยวนำจำลองค่าแอมพิแดนซ์ของสายส่ง	32
3.4.7 ขดลวดตัวเหนี่ยวนำของตัวชดเชย	33
3.4.8 ตัวเก็บประจุของตัวชดเชย	34
3.4.9 ออกแบบโหลดตัวต้านทานและตัวเหนี่ยวนำ	35
บทที่ 4 ผลการจำลองทางคอมพิวเตอร์และผลการทดสอบเครื่องต้นแบบ	36
4.1 บทนำ	36
4.2 การทดสอบเครื่องต้นแบบชุดชดเชยกำลังไฟฟ้รีแอกทีฟที่ระดับไฟฟ้า 1 เฟส	36

สารบัญ(ต่อ)

	หน้า
4.3 ผลการทดลองตัวขดเคย์กำลังไฟฟ้ารีแอกทีฟแบบสามเฟส	38
4.3.1 ผลการทดลองตัวขดเคย์กำลังไฟฟ้ารีแอกทีฟแบบสามเฟส ที่แรงดัน 170 V	38
4.3.2 ผลการทดลองตัวขดเคย์กำลังไฟฟ้ารีแอกทีฟแบบสามเฟส ที่แรงดัน 190 V	40
4.3.3 ผลการทดลองตัวขดเคย์กำลังไฟฟ้ารีแอกทีฟแบบสามเฟส ที่แรงดัน 220 V	42
4.4 การทดสอบผลกระทบการเปลี่ยนแปลงมุมขนวน	44
4.5 การศึกษาค่าตัวประกอบกำลังของแหล่งจ่าย	48
4.6 การศึกษาค่าฮาร์มอนิกส์	51
บทที่ 5 สรุปและวิจารณ์ผลการทดลอง	54
เอกสารอ้างอิง	56
ภาคผนวก	57
ภาคผนวก ก รหัสการทำงานของ ไมโครคอนโทรลเลอร์	57
ภาคผนวก ข คู่มืออุปกรณ์ที่นำมาใช้ประกอบในเครื่องต้นแบบ	62
ภาคผนวก ค เครื่องมืออุปกรณ์การวัด	83
ภาคผนวก ง บทความวิชาการ	87
ประวัติผู้เขียน	92

สารบัญรูป

รูปที่	หน้า
1.1 อุปกรณ์สวิตช์จำพวกไทรสเตอร์ (Thyristors) รูปแบบต่างๆ	2
1.2 โครงสร้างของวงจรรีแอกเตอร์ที่ควบคุมด้วยไทรสเตอร์ (Thyristor Control Reactor : TCR) ต่อขนานกับตัวเก็บประจุที่กำหนดค่าคงที่ (Fixed Capacitor)	3
2.1 แสดงแผนภาพเฟสเซอร์ของการเกิดแรงดันและกระแส	7
2.2 ตัวชดเชยกำลังไฟฟ้ารีแอกทีฟแบบสถิตในทางอุดมคติ	12
2.3 ตัวชดเชยแบบสถิตประเภทต่าง	13
2.4 รีแอกเตอร์ควบคุมด้วยไทรสเตอร์ (thyristor-controlled reactor)	14
2.5 รูปคลื่นกระแสเฟส (phase) เมื่อต่อตัวชดเชยแบบรีแอกเตอร์ควบคุมด้วยไทรสเตอร์ กระแสขณะใดๆ (i) จะเป็น	14
2.6 กราฟลักษณะแรงดัน/กระแสหลักมูลในตัวชดเชย แบบรีแอกเตอร์ควบคุมด้วยไทรสเตอร์	18
2.7 บล็อกไดอะแกรมของการควบคุม	18
3.1 วงจรภาคกำลังของตัวชดเชยกำลังรีแอกทีฟ	21
3.2 ทิศทางการไหลของกำลังรีแอกทีฟ 1 เฟส	22
3.3 flow chart กระบวนการการทำงานของตัวชดเชยกำลังรีแอกทีฟ	23
3.4 วงจรภาคจำลองทางคอมพิวเตอร์ภาคกำลัง	24
3.5 วงจรจำลองทางคอมพิวเตอร์ภาคควบคุม	24
3.6 บล็อกการจำลองทางคอมพิวเตอร์ของมุมจุดชนวน	24
3.7 วงจรจำลองทางคอมพิวเตอร์ของแหล่งจ่าย	25
3.8 วงจรจำลองทางคอมพิวเตอร์ตัวชดเชย	25
3.9 จำลองทางคอมพิวเตอร์ของวงจรไหลต	26
3.10 รูป Schematic ของวงจรตรวจจับผ่านศูนย์ (Zero crossing)	27
3.11 วงจรตรวจจับผ่านศูนย์ (Zero crossing)	27
3.12 Schematic ของวงจรไมโครคอนโทรลเลอร์	28
3.13 วงจรไมโครคอนโทรลเลอร์	28
3.14 รูป Schematic ของวงจรขับเคลื่อน	29
3.15 วงจรขับเคลื่อน	29
3.16 รูป Schematic ของวงจรตรวจจับแรงดันไฟฟ้า	30

สารบัญรูป(ต่อ)

รูปที่	หน้า
3.17 วงจรตรวจจับแรงดัน	30
3.18 รูป Schematic ของวงจรไตรแอกและสับเบอร์	31
3.19 วงจรไตรแอกและสับเบอร์	31
3.20 รูป Schematic ของขดลวดจำลองตัวเหนี่ยวนำสายส่งในวงจรกำลัง	32
3.21 ขดลวดจำลองตัวเหนี่ยวนำสายส่ง	32
3.22 รูป Schematic ขดลวดเหนี่ยวนำของตัวชดเชยในวงจรกำลัง	33
3.23 ขดลวดตัวเหนี่ยวนำของตัวชดเชย	33
3.24 รูป Schematic ตัวเก็บประจุของตัวชดเชยในวงจรกำลัง	34
3.25 ตัวเก็บประจุของตัวชดเชยในวงจรกำลัง	34
3.26 โหลดสามเฟส	35
4.1 รูปวงจร Schematic ของเครื่องต้นแบบชุดชดเชยกำลังไฟฟ้ารีแอกทีฟหนึ่งเฟส	37
4.2 ผลการทดสอบเครื่องต้นแบบชุดชดเชยกำลังไฟฟ้ารีแอกทีฟ	37
4.3 รูป Schematic วงจรเครื่องต้นแบบชุดชดเชยกำลังไฟฟ้ารีแอกทีฟสามเฟส	38
4.4 กราฟผลการทดลองการชดเชยแรงดันที่โหลด ที่แรงดัน 170 V (ก) เฟส AB, (ข) เฟส BC, (ค) เฟส CA	39
4.5 กราฟค่าตัวประกอบกำลัง ที่แรงดัน 170 V	40
4.6 กราฟเปอร์เซ็นต์ความผิดเพี้ยนของกระแส ที่แรงดัน 170 V	40
4.7 กราฟผลการทดลองการชดเชยแรงดันที่โหลด ที่แรงดัน 190 V (ก) เฟส AB, (ข) เฟส BC, (ค) เฟส CA	41
4.8 กราฟค่าตัวประกอบกำลัง ที่แรงดัน 190 V	42
4.9 กราฟเปอร์เซ็นต์ความผิดเพี้ยนของกระแส ที่แรงดัน 190 V	42
4.10 กราฟผลการทดลองการชดเชยแรงดันที่โหลด ที่แรงดัน 220 V (ก) เฟส AB, (ข) เฟส BC, (ค) เฟส CA	43
4.11 กราฟค่าตัวประกอบกำลัง ที่แรงดัน 220 V	44
4.12 กราฟเปอร์เซ็นต์ความผิดเพี้ยนของกระแส ที่แรงดัน 220 V	44
4.13 ผลการจำลองรูปคลื่นแรงดันและกระแสของตัวเหนี่ยวนำเฟส BC $\alpha=120^\circ$	45

สารบัญรูป(ต่อ)

รูปที่	หน้า
4.14 ผลการทดสอบเครื่องต้นแบบรูปคลื่นเปรียบเทียบระหว่างแรงดันและกระแส ของตัวเหนี่ยวนำเฟส BC $\alpha = 120^\circ$	45
4.15 ผลการจำลองรูปคลื่นเปรียบเทียบระหว่างแรงดันที่ไตรแอกและรูปคลื่นกระแส ที่ตัวเหนี่ยวนำเฟส BC $\alpha=135^\circ$	46
4.16 ผลการทดสอบเครื่องต้นแบบรูปคลื่นเปรียบเทียบระหว่างแรงดันที่ไตรแอก และรูปคลื่นกระแสที่ตัวเหนี่ยวนำเฟส BC $\alpha =135^\circ$	46
4.17 ผลการจำลองรูปคลื่นเปรียบเทียบระหว่างแรงดันที่ไตรแอก และแรงดันที่ตัวเหนี่ยวนำเฟส BC $\alpha = 150^\circ$	47
4.18 ผลการทดสอบเครื่องต้นแบบรูปคลื่นเปรียบเทียบระหว่างแรงดันที่ไตรแอก และแรงดันที่ตัวเหนี่ยวนำเฟส BC $\alpha =150^\circ$	47
4.19 รูปเปรียบเทียบรูปคลื่นของแรงดันกับกระแสที่แหล่งจ่าย ที่ค่าแรงดันพิกัด 170 V (ก) เฟส a (ข) เฟส b (ค) เฟส c	48
4.20 รูปเปรียบเทียบรูปคลื่นของแรงดันกับกระแสที่แหล่งจ่าย ที่ค่าแรงดันพิกัด 190 V (ก) เฟส a (ข) เฟส b (ค) เฟส c	49
4.21 รูปเปรียบเทียบรูปคลื่นของแรงดันกับกระแสที่แหล่งจ่าย ที่ค่าแรงดันพิกัด 220 V (ก) เฟส a (ข) เฟส b (ค) เฟส c	50
4.22 ค่าฮาร์มอนิกส์ที่แรงดัน 190 V และที่ No-load	51
4.23 ค่าฮาร์มอนิกส์ที่แรงดัน 190 V และที่ 300 VA	51
4.24 ค่าฮาร์มอนิกส์ที่แรงดัน 190 V และที่ 500 VA	52
4.25 ค่าฮาร์มอนิกส์ที่แรงดัน 190 V และที่ 800 VA	52
4.26 ค่าฮาร์มอนิกส์ที่แรงดัน 190 V และที่ 1000 VA	53
4.27 ค่าฮาร์มอนิกส์ที่แรงดัน 190 V และที่ 1200 VA	53
ค - 1 Multi-Meter: SANWA	84
ค - 2 Oscilloscope: YOKOGAWA DL 1620	84
ค - 3 Oscilloscope Probe: YOKOGAWA MODEL 700978 50M Ω x100	85

สารบัญรูป(ต่อ)

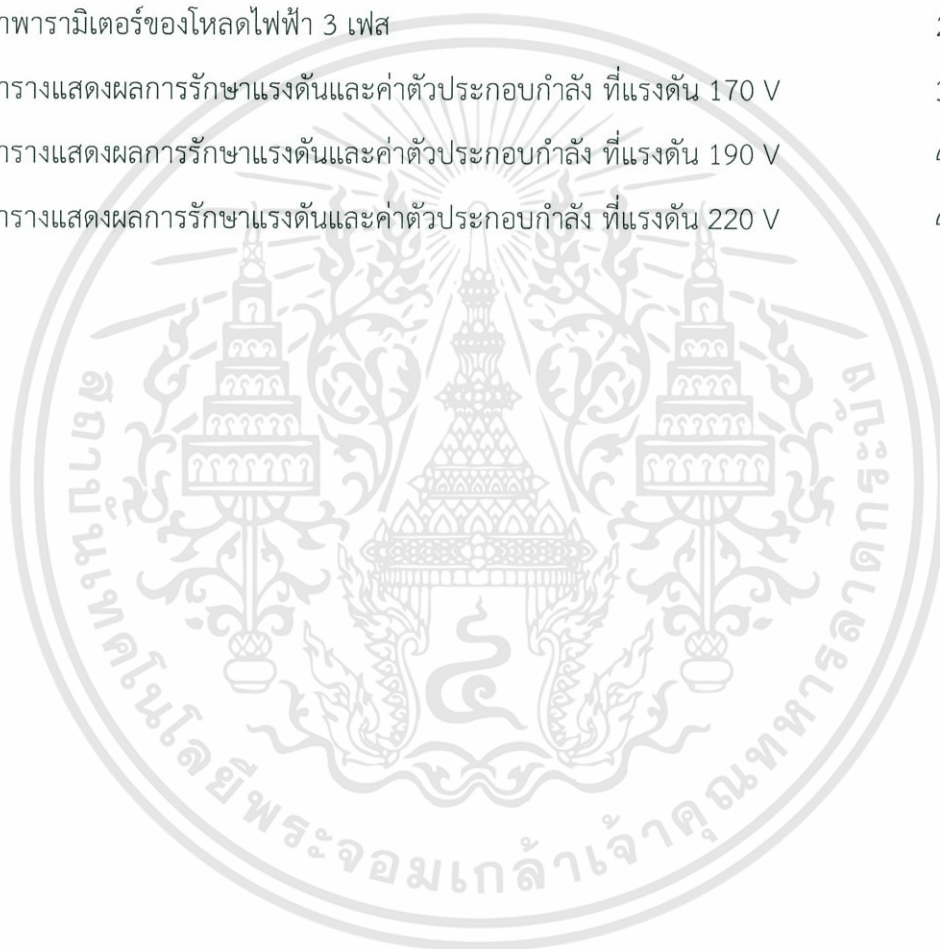
รูปที่	หน้า
ค – 4 Differential Probe: YOKOGAWA MODEL 700925	85
ค – 5 Current Probe: Fluke	86
ค – 6 Fluke 43B	86



เอกสารนี้เป็นเอกสารที่สงวนไว้สำหรับการใช้งานเพื่อการศึกษาเท่านั้น ไม่อนุญาตให้นำไปใช้ประโยชน์ด้านการค้า
ไม่ว่ากรณีใดๆทั้งสิ้น อีกทั้งห้ามมิให้ดัดแปลงเนื้อหา และ X ของอ้างอิงถึงเจ้าของเอกสารทุกครั้งที่มีการนำไปใช้

สารบัญตาราง

ตารางที่	หน้า
1.1 แผนการดำเนินโครงการ	4
3.1 ค่าพารามิเตอร์ของแหล่งจ่ายกำลังไฟฟ้า 3 เฟส	25
3.2 ค่าพารามิเตอร์ของตัวชดเชยกำลังรีแอกทีฟ (Static VAR Compensator : SVC) แบบ 3 เฟส	25
3.3 ค่าพารามิเตอร์ของโหลดไฟฟ้า 3 เฟส	26
4.1 ตารางแสดงผลการรักษาแรงดันและค่าตัวประกอบกำลัง ที่แรงดัน 170 V	38
4.2 ตารางแสดงผลการรักษาแรงดันและค่าตัวประกอบกำลัง ที่แรงดัน 190 V	40
4.3 ตารางแสดงผลการรักษาแรงดันและค่าตัวประกอบกำลัง ที่แรงดัน 220 V	42



บทที่ 1

บทนำ

1.1 ความเป็นมาและความสำคัญของปัญหา

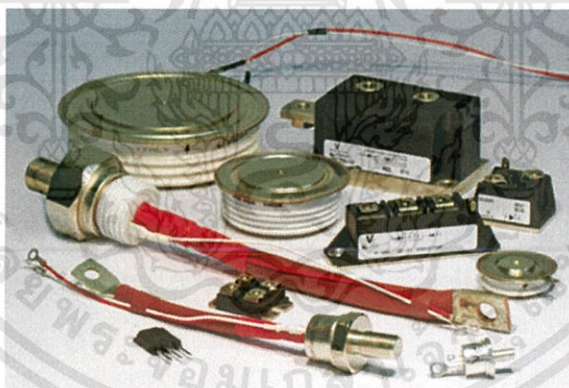
ส่วนประกอบหลักของระบบไฟฟ้ากำลังได้แก่ ส่วนการผลิตไฟฟ้า(Generation System) ส่วนระบบส่งจ่ายกำลังไฟฟ้า (Transmission System) และระบบจำหน่ายกำลังไฟฟ้า(Distribution system) และส่วนของผู้ใช้ไฟฟ้า(Consumer) โดยส่วนประกอบเหล่านี้ถูกเชื่อมต่อเข้าด้วยกันอยู่ สำหรับระบบส่งจ่ายกำลังไฟฟ้าเป็นระบบที่เกี่ยวข้องกับการส่งกำลังไฟฟ้าจากส่วนการผลิตไฟฟ้าไปยัง โหลดซึ่งโหลดของระบบส่งจ่ายกำลังไฟฟ้านี้จะพิจารณาในลักษณะของกลุ่มโหลดที่ต่ออยู่กับสถานี ไฟฟ้าย่อย (Substation) ปลายทาง ระยะทางของระบบส่งจ่ายยาวหลายร้อยกิโลเมตรซึ่งจะ ดำเนินการส่งจ่ายด้วยระบบแรงดันสูง 115 kV, 230 kV และ 500 kV เพื่อลดความสูญเสียของ กำลังไฟฟ้าในสายส่งในส่วนของการจำหน่ายกำลังไฟฟ้าเป็นระบบที่จ่ายกำลังไฟฟ้าผ่านระบบ สายป้อนที่มีระดับแรงดันตั้งแต่ 3-34 kV สายป้อนนี้ถูกต่อออกมาจากสถานีไฟฟ้าย่อย โดยสถานีไฟฟ้า ย่อยจะเป็นที่รวบรวมและจ่ายกำลังไฟฟ้าให้กับส่วนผู้ใช้ไฟฟ้า

ในปัจจุบันประเทศไทยมีความต้องการพลังงานไฟฟ้าสูงขึ้นอย่างมากเนื่องจากการพัฒนา ทางด้านเศรษฐกิจและสังคม และการขยายตัวภาคอุตสาหกรรมของประเทศไทยมีอัตราการพัฒนา อย่างต่อเนื่อง พลังงานไฟฟ้ามีบทบาทสำคัญในการขับเคลื่อนประเทศทั้งทางด้านเศรษฐกิจและสังคม ในแง่ของการสร้างความสะดวกสบายใช้เป็นพลังงานหลักในการขับเคลื่อนเครื่องจักรในโรงงาน อุตสาหกรรมทั้งขนาดเล็ก กลาง และขนาดใหญ่ จึงมีอาจปฏิเสธได้ว่าพลังงานไฟฟ้าได้เป็นสิ่งจำเป็น ของประเทศ ส่งผลให้ภาครัฐจำเป็นต้องเพิ่มกำลังการผลิตกำลังไฟฟ้าเพื่อตอบสนองต่อความต้องการ ของผู้ใช้ไฟฟ้า และจะต้องพยายามรักษาเสถียรภาพของระบบส่งจ่ายกำลังไฟฟ้าให้มีความมั่นคงและมีมาตรฐาน เนื่องจากปัจจุบันปัญหาที่เกิดขึ้นกับระบบส่งจ่ายกำลังไฟฟ้าที่ส่งผลต่อทั้งด้าน ผู้ใช้ไฟฟ้า และ ผู้ผลิตไฟฟ้า หรือการไฟฟ้า นั้นสามารถแบ่งออกเป็นหัวข้อย่อยๆได้ดังนี้

- ปัญหาแรงดันตกที่ ปลายทางหรือจุดโหลดอันเนื่องมาจาก แหล่งจ่ายพลังงานไฟฟ้านั้นอยู่ ห่างไกลกับจุดโหลด ทำให้เกิดแรงดันตกคร่อมที่สายส่ง หรือเกิดการสูญเสียในสายส่ง ส่งผล ให้แรงดันไฟฟ้าที่ปลายทางหรือจุดโหลด นั้นมีขนาดลดลงจากเดิม ซึ่งส่งผลกระทบต่อ ทำให้ อุปกรณ์ไฟฟ้าทำงานในย่านขนาดแรงดันที่ผิดปกติ ซึ่งอาจจะนำมาสู่การชำรุดและเสียหาย ของอุปกรณ์
- ปัญหาเสถียรภาพของระบบ เมื่อมีการใช้โหลดมากขึ้นส่งผลให้ขนาดกระแสจากแหล่งจ่าย ไฟฟ้ามายังปลายทางจุดโหลดนั้นมี ขนาดมากขึ้น ซึ่งทำให้เกิดการสูญเสียที่สายส่งมากยิ่งขึ้น แรงดันที่จุดโหลดก็จะมีขนาดลดลง ซึ่งหากลดลงจนถึงจุดพังทลายจะทำให้แรงดันในระบบ ขนาดเสถียรภาพ ทำให้เกิดไฟฟ้าดับตามมา

- ปัญหาทางด้านอุตสาหกรรม เมื่อแรงดันที่จุดโหลดนั้นขนาดต่ำกว่าค่าปกติและความต้องการไฟฟ้าที่อุตสาหกรรมนั้นมีค่าที่สูงมาก โดยเหตุผลข้างต้นนี้ อุตสาหกรรมนั้นมีความเป็นไปได้ด้านที่เกิดการเสถียรภาพทางไฟฟ้า หากไม่มีการปรับแก้ ซึ่งจะทำให้โรงงานอุตสาหกรรมต้องเกิดการหยุดทำงาน หรือการผลิตได้ต่ำกว่าที่ควร
- ปัญหาทางด้านเศรษฐศาสตร์ เนื่องมาจากการส่งพลังงานไฟฟ้าไปที่ระยะไกล จำเป็นต้องใช้การจ่ายไฟฟ้าด้วยขนาดแรงดันสูง ซึ่งค่าใช้จ่ายในการติดตั้งระบบส่งจ่ายกำลังไฟฟ้าแรงสูงนั้นมีราคาที่สูงมาก

นอกจากนี้ในปัจจุบันระบบส่งจ่ายกำลังไฟฟ้ามีการขยายตัวและซับซ้อนมากขึ้น เนื่องจากการพัฒนาทั้งทางด้านเศรษฐกิจและการขยายตัวของภาคอุตสาหกรรมมีอัตราเพิ่มสูงขึ้น เป็นเหตุให้มีความต้องการกำลังไฟฟ้าเพิ่มขึ้นด้วยตามไปด้วย สิ่งเหล่านี้ทำให้เกิดปัญหาด้านเสถียรภาพและความมั่นคงกับระบบส่งจ่ายกำลังไฟฟ้า เช่น แรงดันตกของระบบเนื่องจากการเปลี่ยนแปลงขนาดของโหลด อย่างไรก็ตามในปัจจุบันด้วยการพัฒนาของเทคโนโลยีสารกึ่งตัวนำทำให้การควบคุมการไหลของกำลังไฟฟ้าในปริมาณสูงระดับหลายร้อยเมกกะวัตต์ สามารถทำได้โดยการใช้อุปกรณ์สวิตซ์จำพวกไทริสเตอร์ (Thyristors) หรือจีทีโอ (Gate Turn-Off Thyristors; GTO) อุปกรณ์เหล่านี้สามารถนำไปประยุกต์ใช้กับระบบส่งจ่ายพลังงานไฟฟ้าเพื่อแก้ปัญหาทางด้านเสถียรภาพและความมั่นคงได้อีกด้วย อุปกรณ์นี้ เรียกว่าระบบส่งจ่ายกำลังไฟฟ้ายืดหยุ่นได้ (Flexible AC Transmission System devices: FACTS)

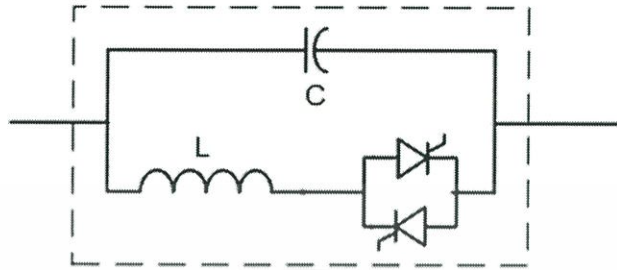


รูปที่ 1.1 อุปกรณ์สวิตซ์จำพวกไทริสเตอร์ (Thyristors) รูปแบบต่างๆ

ตัวชดเชยกำลังแอกทีฟแบบสามเฟส เป็นหนึ่งในอุปกรณ์จำพวกของกำลังแอกทีฟตอบสนองเร็วในระบบส่งจ่ายไฟฟ้ากำลัง ได้ดำเนินการศึกษาและจำลองการทำงานของ ตัวชดเชยกำลังแอกทีฟแบบสามเฟสการศึกษานี้จะพิจารณาการควบคุมการทำงานของตัวชดเชยกำลังแอกทีฟแบบสามเฟส โดยใช้วงจรแอกเตเตอร์ที่ควบคุมด้วยไทริสเตอร์ (Thyristor Control Reactor : TCR) ต่อขนานกับตัวเก็บประจุที่กำหนดค่าคงที่ (Fixed Capacitor) ซึ่งมีโครงสร้างดังรูปที่ 1.2 โดยตัวเก็บประจุจะต้องจ่ายกำลังไฟฟ้าแอกทีฟได้เพียงพอกับความต้องการของโหลด และชุดแอกเตเตอร์ควบคุมด้วยไทริสเตอร์ จะครอบคลุมถึงค่าความแตกต่างระหว่างกำลังไฟฟ้าแอกทีฟของตัวเก็บประจุ (Q_c) กับค่า กำลังไฟฟ้า

เอกสารนี้เป็นเอกสารที่สงวนไว้สำหรับการใช้งานเพื่อการศึกษาเท่านั้น ไม่อนุญาตให้นำไปใช้ประโยชน์ด้านการค้า ไม่ว่าจะกรณีใดๆทั้งสิ้น อีกทั้งห้ามมิให้ดัดแปลงเนื้อหา และต้องอ้างอิงถึงเจ้าของเอกสารทุกครั้งที่มีการนำไปใช้

แอกทีฟที่โหลดรับเข้าไปจริง $[Q_{load}(t)]$ ค่าความแตกต่างของกำลังไฟฟ้าแอกทีฟ $[Q_c - q_{load}(t)]$ จะไหลเวียนระหว่างตัวเก็บประจุกับแอกเตอร์ (X_L)



รูปที่ 1.2 โครงสร้างของวงจรแอกเตอร์ที่ควบคุมด้วยไทรสเตอร์ (Thyristor Control Reactor : TCR) ต่อขนานกับตัวเก็บประจุที่กำหนดค่าคงที่ (Fixed Capacitor)

ในการควบคุมให้ได้กำลังไฟฟ้าแอกทีฟตามที่โหลดต้องการจะใช้การควบคุมกระแสที่ไหลผ่านตัวเหนี่ยวนำ (inductor, L) ให้ได้ค่าที่ทำให้กำลังไฟฟ้าแอกทีฟรวมของตัวชดเชยมีค่าเท่ากับความต้องการกำลังไฟฟ้าแอกทีฟของโหลด ในการควบคุมกระแสดังกล่าวนี้จะควบคุมจากมุมจุดฉนวนไทรสเตอร์ซึ่งมีมุมนำกระแสของไทรสเตอร์เปลี่ยนไปจะทำให้ค่า rms ของกระแสที่ไหลผ่านตัวเหนี่ยวนำเปลี่ยนไป เสมือนกับเป็นแอกเตอร์ที่ควบคุมค่าแอกแทนซ์ได้ ด้วยเหตุนี้เราจึงสามารถควบคุมกำลังไฟฟ้าแอกทีฟของระบบโดยการควบคุมมุมจุดฉนวน

1.2 วัตถุประสงค์ของการวิจัย

1.2.1 เพื่อรักษาขนาดแรงดันที่โหลดให้คงที่เมื่อเกิดการเปลี่ยนแปลงของโหลด โดยการจ่ายกำลังไฟฟ้าแอกทีฟเข้าสู่ระบบเพื่อทดแทนการสูญเสียในสายส่ง

1.2.2 เพื่อปรับปรุงค่าตัวประกอบกำลังไฟฟ้าของแหล่งจ่ายกำลังไฟฟ้าให้มีค่าเข้าใกล้หนึ่ง (Unity Power Factor) มากขึ้น

1.2.3 เพื่อเพิ่มเสถียรภาพให้กับระบบไฟฟ้า

1.3 ขอบเขตงานวิจัย

1.3.1 ออกแบบ ตัวชดเชยกำลังไฟฟ้าแอกทีฟแบบสามเฟส โดยใช้วงจรแอกเตอร์ที่ควบคุมด้วย ไทริสเตอร์ (Thyristor Control Reactor : TCR) ต่อขนานกับตัวเก็บประจุที่กำหนดค่าคงที่ (Fixed Capacitor)

1.3.2 พัฒนาแบบจำลองของ ตัวชดเชยกำลังไฟฟ้าแอกทีฟแบบสามเฟส โดยใช้โปรแกรม MATLAB Simulink

1.3.3 ศึกษาระดับแรงดันไฟฟ้าของโหลดที่พิกัด 1.5 kVA และปรับปรุงตัวประกอบกำลังไฟฟ้า

1.3.4 ทดสอบผลด้วยการจำลองระบบส่งจ่ายกำลังไฟฟ้า ภายใต้การเปลี่ยนแปลงของโหลด

1.4 วิธีการดำเนินงาน

1.4.1 ศึกษาหลักการทำงานของไทริสเตอร์

1.4.2 ศึกษาหลักการทำงานของตัวชดเชยกำลังแอกทีฟแบบสามเฟส

1.4.3 ออกแบบและวิเคราะห์ ชุดชดเชยกำลังแอกทีฟแบบสามเฟส โดยใช้โปรแกรม MATLAB Simulink

1.4.4 สร้างแบบจำลองและทดลอง ตัวชดเชยกำลังไฟฟ้าแอกทีฟแบบสามเฟส ที่ได้ทำการออกแบบ

1.4.5 สรุปผลการทดลอง

1.5 แผนการดำเนินงาน

ตารางที่ 1.1 แผนการดำเนินงาน

การดำเนินงาน	เดือนที่									
	1	2	3	4	5	6	7	8	9	10
1. กำหนดหัวข้อ วัตถุประสงค์ ขอบเขตการวิจัย										
2. ศึกษาค้นคว้าหาข้อมูลเบื้องต้น, ศึกษาการทำงานของวงจรชุดเซยกำลังรีแอกทีฟ, ศึกษาการควบคุมวงจรแอกเตอร์ที่ควบคุมด้วยไทรสเตอร์										
3. ออกแบบและจำลองวงจรตัวชดเชยกำลังไฟฟ้ารีแอกทีฟทางคอมพิวเตอร์ โดยโปรแกรม Matlab/Simulink										
4. สร้างเครื่องต้นแบบตัวชดเชยกำลังไฟฟ้ารีแอกทีฟ										
5. สร้างแบบจำลองและทดลอง ตัวชดเชยกำลังไฟฟ้าแอกทีฟ										
6. สรุปและวิเคราะห์ผลการทดลอง										
7. จัดทำรูปเล่มปริญญานิพนธ์และนำเสนอ										

1.6 ประโยชน์ที่ได้รับจากการวิจัย

1.6.1 ตัวชดเชยกำลังไฟฟ้าแอกทีฟแบบสามเฟส สามารถรักษาขนาดแรงดันที่โหลดให้คงที่เมื่อเกิดการเปลี่ยนแปลงของโหลด โดยการจ่ายกำลังไฟฟ้าแอกทีฟเข้าสู่ระบบ เพื่อทดแทนการสูญเสียในสายส่ง

1.6.2 สามารถปรับปรุงค่าตัวประกอบกำลังไฟฟ้าของแหล่งจ่ายกำลังไฟฟ้าให้มีค่าเข้าใกล้หนึ่ง (Unity Power Factor)

1.6.3 สามารถเพิ่มเสถียรภาพให้แก่ระบบไฟฟ้าได้

เอกสารนี้เป็นเอกสารที่สงวนไว้สำหรับการใช้งานเพื่อการศึกษาเท่านั้น ไม่อนุญาตให้นำไปใช้ประโยชน์ด้านการค้า ไม่ว่าจะกรณีใดๆทั้งสิ้น อีกทั้งห้ามมิให้ดัดแปลงเนื้อหา และต้องอ้างอิงถึงเจ้าของเอกสารทุกครั้งที่มีการนำไปใช้

1.7 การจัดโครงสร้างของเนื้อหาในปฏิญยานิพนธ์

เนื้อหาภายในปฏิญยานิพนธ์ฉบับนี้สามารถจำแนกได้ดังนี้

บทที่ 1 บทนำ กล่าวถึงความสำคัญและที่มาของปัญหา, วัตถุประสงค์ของงานวิจัย, ขอบเขตของงานวิจัย, วิธีการดำเนินงาน, แผนการดำเนินงาน, ประโยชน์ที่ได้รับจากการวิจัยนี้

บทที่ 2 ทฤษฎีที่เกี่ยวข้อง กล่าวถึงที่เกี่ยวข้องกับการชดเชยแรงดัน, ทฤษฎีของตัวชดเชยโพลด, ทฤษฎีของตัวชดเชยแบบรีแอคเตอร์ด้วยไทรสเตอร์ (Thyristor-Controlled Reactor, TCR)

บทที่ 3 การออกแบบและผลการจำลอง กล่าวถึงการจำลองทางคอมพิวเตอร์ และการสร้างเครื่องต้นแบบสำหรับยืนยันผลการจำลองทางคอมพิวเตอร์

บทที่ 4 ผลการจำลองทางคอมพิวเตอร์และผลการทดสอบเครื่องต้นแบบ กล่าวถึงผลการจำลองทางคอมพิวเตอร์ และผลการทดลอง

บทที่ 5 สรุปผล ข้อเสนอแนะ และแนวทางการพัฒนา กล่าวถึงบทสรุปที่ได้จากการศึกษาค้นคว้า และการดำเนินจัดทำโครงงาน สรุปผลการทดลองที่ได้ รวมไปถึงข้อเสนอแนะที่เกี่ยวข้องกับงานวิจัยนี้

ภาคผนวก ประกอบไปด้วย รายการอุปกรณ์ที่ใช้ ข้อมูลของอุปกรณ์ที่ใช้ในปฏิญยานิพนธ์ บทความทางวิชาการและโปสเตอร์นำเสนอผลงาน

บทที่ 2

ทฤษฎีที่เกี่ยวข้อง

2.1 ทฤษฎีและหลักการของการลดลงของแรงดันที่โหลด

ในระบบส่งจ่ายกำลังไฟฟ้าจากแหล่งจ่ายสู่โหลดโดยสายส่งตัวนำซึ่งภายในสายส่งจะมีค่าความต้านทาน(R: Resistance) และค่าความเหนี่ยวนำ (L: Inductance) โดยค่าความต้านทานเชิงซ้อน (Z: Impedance) ของสายส่ง จะสามารถหาค่าได้จากสมการดังต่อไปนี้

$$X_L = \omega L \quad (2.1)$$

$$Z = R + jX_L \quad (2.2)$$

โดยจากสมการที่ 2.2 สามารถนำไปหาค่าแรงดันตกคร่อมที่สายส่งซึ่งทำให้แรงดันที่แหล่งจ่ายกับโหลดมีค่าขนาดไม่เท่ากัน นอกจากนี้เมื่อมีการเพิ่มโหลดทำให้กระแสมีค่าสูงขึ้นไปด้วย โดยจะส่งผลให้แรงดันตกคร่อมที่สายส่งมีค่ามากยิ่งขึ้น และแรงดันที่โหลดมีค่าลดลง โดยสามารถได้ดังรูปและสมการต่อไปนี้

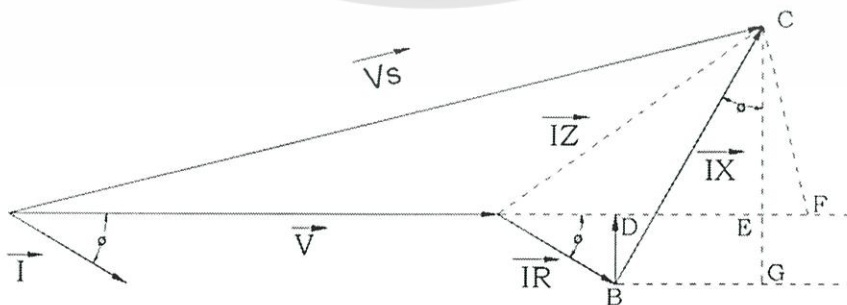
$$|S| = I_1^2 Z_1 \quad (2.3)$$

$$I_s = I_1 \quad (2.4)$$

$$V_{\text{drop}} = I_s Z_{\text{line}} \quad (2.3)$$

$$V_{\text{load}} = V_{\text{source}} - V_{\text{drop}} \quad (2.4)$$

โดยจากสมการที่ 2.4 สามารถอธิบายเพิ่มเติมโดยใช้เฟสเซอร์(Phasor diagram) ได้ดังต่อไปนี้



รูปที่ 2.1 แสดงแผนภาพเฟสเซอร์ของการเกิดแรงดันตกและกระแส

เอกสารนี้เป็นเอกสารที่สงวนไว้สำหรับการใช้งานเพื่อการศึกษาเท่านั้น ไม่อนุญาตให้นำไปใช้ประโยชน์ด้านการค้า ไม่ว่าจะกรณีใดๆทั้งสิ้น อีกทั้งห้ามมิให้ดัดแปลงเนื้อหา และต้องอ้างอิงถึงเจ้าของเอกสารทุกครั้งที่มีการนำไปใช้

จากรูปที่ 2.1 ทำให้สามารถอธิบายและจำแนกองค์ประกอบของแรงดันตก (V_{drop}) ได้ดังนี้

$$\bar{V}_{\text{drop}} = \bar{I}(R + jX_L) \quad (2.5)$$

จะพบว่าการที่แรงดันที่โหลดมีค่าลดลง จะขึ้นอยู่กับความต้องการของโหลด และค่าอิมพีแดนซ์ของสายส่ง โดยพิจารณาที่ค่าแรงดันที่แหล่งจ่ายคงที่ซึ่งไม่ใช่ผลดีกับผู้ใช้ไฟฟ้าและผู้ผลิตโดยในด้านผู้ใช้ไฟฟ้าการเกิดแรงดันตก นั้นส่งผลกระทบต่อประสิทธิภาพการทำงานของเครื่องจักรไฟฟ้าและอุปกรณ์ของผู้ใช้ไฟฟ้า ส่วนผู้ผลิตนั้นการเกิดแรงดันตก อาจจะนำมาสู่การขาดเสถียรภาพทางแรงดัน

โหลดทุกชนิดจะมีการเปลี่ยนแปลงค่าความต้องการกำลังไฟฟ้าร์แอกทีฟอยู่ตลอดเวลา ซึ่งการเพิ่มขึ้นของกำลังไฟฟ้าร์แอกทีฟจะส่งผลให้กำลังไฟฟ้าปรากฏนั้นก็มีค่าสูงขึ้นไปด้วย และส่งผลแรงดันที่โหลดในลำดับต่อมา ซึ่งเพื่อเป็นการป้องกันเหตุการณ์เช่นนี้ ทางกริดไฟฟ้าจึงออกกฎข้อบังคับให้ผู้ใช้ไฟฟ้าร์ักษาระดับแรงดันภายในขีดจำกัดที่กำหนด (ขีดจำกัดมีค่าประมาณ $\pm 5\%$ ของแรงดันมาตรฐาน) การเปลี่ยนแปลงโหลดอย่างรวดเร็วจะทำให้แรงดันลดลง และเป็นอันตรายต่ออุปกรณ์ป้องกัน (Protective equipment) ด้วยเหตุดังกล่าวจำเป็นต้องมีการนำอุปกรณ์มาแก้ไขการเปลี่ยนแปลงของแรงดัน โดยวิธีที่เด่นชัดที่สุดในการแก้ไขการเปลี่ยนแปลงแรงดันนั้น ก็คือทำให้ระบบไฟฟ้ากำลังมั่นคงขึ้นโดยการเพิ่มขนาดและจำนวนของหน่วยผลิตไฟฟ้า (generation unit) หรือมีระบบเครือข่ายที่เชื่อมต่อกันให้หนาแน่นเพิ่มมากขึ้น แต่วิธีดังกล่าวนี้เป็นวิธีที่ไม่คุ้มค่าทางเศรษฐศาสตร์ และอาจนำไปสู่ปัญหาเกี่ยวกับระดับฟอลต์ที่รุนแรง (high fault level) และพิกัดของสวิตช์เกียร์ (Switchgear rating) ที่ต้องสูงขึ้น จึงแก้ไขหรับปรุ่งที่จุดโหลดแทน เพื่อให้คุ้มค่าทางเศรษฐศาสตร์และไม่เพิ่มระดับฟอลต์ โดยการเพิ่มระบบควบคุมไฟฟ้ากำลังตามค่าความต้องการกำลังไฟฟ้าจริงสูงสุด และควบคุมจัดการกับกำลังไฟฟ้าร์แอกทีฟ ด้วยตัวชดเชยและอุปกรณ์อื่นที่สามารถเปลี่ยนแปลงค่ากำลังรีแอกทีฟได้

2.2 ทฤษฎีและหลักการปรับปรุงค่าตัวประกอบ

กำลังไฟฟ้าสามารถจำแนกออกได้เป็น 2 ส่วน คือ

- กำลังไฟฟ้าจริง (P : Real Power) เป็นกำลังไฟฟ้าที่ใช้งานจริง สามารถแปลงรูปไปอยู่ในประเภทอื่นได้ เช่น ความร้อน แสง กำลังทางกล มีหน่วยเป็น วัตต์(Watt)
- กำลังไฟฟ้าเสมือน (Q : Reactive Power) เป็นกำลังที่ใช้ในการสร้างสนามแม่เหล็กสำหรับอุปกรณ์ที่ต้องอาศัยสนามแม่เหล็กในการทำงาน เช่น หม้อแปลง มอเตอร์ โหลดจำพวกตัวเหนี่ยวน มีหน่วยเป็น วาร์ (Var)
- กำลังไฟฟ้าปรากฏ (Apparent Power)เป็นรวมทางเฟสเซอร์ของกำลังงานจริงกับกำลังงานปรากฏ มีหน่วยเป็น โวลต์แอมป์ (VA)

เอกสารนี้เป็นเอกสารที่สงวนไว้สำหรับการใช้งานเพื่อการศึกษาเท่านั้น ไม่อนุญาตให้นำไปใช้ประโยชน์ด้านการค้า ไม่ว่าจะกรณีใดๆทั้งสิ้น อีกทั้งห้ามมิให้ดัดแปลงเนื้อหา และต้องอ้างอิงถึงเจ้าของเอกสารทุกครั้งที่มีการนำไปใช้

$$kVA = \sqrt{(kW)^2 + (kVAR)^2} \quad (2.8)$$

ค่าตัวประกอบกำลัง (Power Factor) คำนวณได้จากสูตร

$$\cos\theta = \frac{kW}{\sqrt{(kW)^2 + (kVAR)^2}} \quad (2.9)$$

เนื่องจากโหลดในทางอุตสาหกรรมส่วนใหญ่จะมีตัวประกอบกำลังตามหลัง (lagging) กล่าวคือจะรับกำลังไฟฟ้ารีแอกทีฟ ดังนั้นกระแสโหลดจะมีค่ามากขึ้นกว่าที่ต้องการกำลังไฟฟ้าจริง จากแหล่งจ่ายเพียงอย่างเดียว นอกจากนี้กำลังไฟฟ้าจริงเท่านั้นที่ใช้ประโยชน์ในการเปลี่ยนรูปพลังงาน ส่วนกระแสโหลดส่วนเกินจะเป็นส่วนที่สูญเสียเปล่า ซึ่งไม่เพียงแต่จะต้องเสียค่าใช้จ่ายในการใช้สายที่มีขนาดใหญ่แต่ยังเกิดความสูญเสียในรูปพลังงานความร้อนที่สายอีกด้วย ด้วยเหตุนี้จึงจำเป็นต้องติดตั้งอุปกรณ์ที่สามารถจ่ายกำลังไฟฟ้ารีแอกทีฟเพิ่มเติมจากการจ่ายไฟของกริดไฟฟ้า ซึ่งเมื่อพิจารณาจากสมการที่ (2.9) แล้วจะพบว่าเมื่อมีการใช้กำลังรีแอกทีฟจากการไฟฟาลดลงจะทำค่าตัวประกอบกำลังสูงขึ้น อุปกรณ์ที่ใช้ในการจ่ายกำลังไฟฟ้ารีแอกทีฟก็คือตัวเก็บประจุ (Capacitor) ซึ่งตัวของมันเองต้องการกำลังไฟฟ้าจริง (kW) เป็นจำนวนน้อยมากโดยจะทำการควบคุมให้ตัวเก็บประจุจ่ายกำลังไฟฟ้าให้มีค่ากำลังไฟฟ้ารีแอกทีฟใกล้เคียงกับที่โหลดต้องการจนทำให้ค่าตัวประกอบกำลังใกล้เคียง 1 (unity power factor)

2.2.1 ประโยชน์ของการปรับปรุงค่าตัวประกอบกำลัง

1. ระบบไฟฟ้าสามารถรับโหลดได้เพิ่มขึ้น เมื่อปรับปรุงค่าตัวประกอบกำลังของระบบให้สูงขึ้นแล้ว จะทำให้กระแสของระบบลดลง นั่นคือกำลังไฟฟ้าปรากฏของโหลดรวมลดลง ทำให้ระบบสามารถจ่ายโหลดได้มากขึ้น
2. แรงดันไฟฟ้าของระบบดีขึ้น จากสูตรแรงดันตกระหว่างสาย (ΔV) ของระบบไฟฟ้า 3 เฟส จากสมการ

$$\Delta V = \sqrt{3}I(R\cos\theta + X\sin\theta) \quad (2.10)$$

โดยที่ I = กระแสสาย (line current) [A]

R = ความต้านทาน (resistance) [Ω]

X = แอคแตนซ์ (reactance) [Ω]

θ = มุมกำลัง (power angle)

เมื่อปรับปรุงให้ค่าตัวประกอบกำลังสูงขึ้น ทำให้กระแสลดลง และมุมกำลัง (θ) ลดลง ส่งผลให้แรงดันตกระหว่างสายน้อยลง

3. แรงดันตกในหม้อแปลงลดลง

$$\text{จากสูตร} \quad \%V = \frac{\text{Rated kVar}_{\text{Cap}} \times \%U_{\text{Tr}}}{\text{Rated kVA}_{\text{Tr}}} \quad (2.11)$$

เมื่อค่าตัวประกอบกำลังสูงขึ้น ทำให้แรงดันไฟฟ้าทางด้านทุติยภูมิของหม้อแปลง (%V) เพิ่มขึ้น

4. กำลังสูญเสียในระบบลดลง เนื่องจากกำลังสูญเสียในสายตัวนำไฟฟ้าของระบบเป็นสัดส่วนกับกำลังสองของกระแส เมื่อปรับปรุงค่าตัวประกอบกำลังให้สูงขึ้นจะทำให้กระแสลดลงดังนั้นกำลังสูญเสียจึงเป็นส่วนกลับกับค่าตัวประกอบกำลังกำลังสอง

$$\%Power Loss = \left| \frac{P.F.1}{P.F.2} \right|^2 \times 100\% \quad (2.12)$$

$$\%\Delta Power Loss = \left(1 - \left| \frac{P.F.1}{P.F.2} \right|^2 \right) \times 100\% \quad (2.13)$$

$$(Power Loss2) = (Power Loss1) \times \left(1 - \left| \frac{P.F.1}{P.F.2} \right|^2 \right) \quad (2.14)$$

เมื่อ P.F.1 = ค่าตัวประกอบกำลังก่อนทำการปรับปรุง

P.F.2 = ค่าตัวประกอบกำลังหลังทำการปรับปรุง

Power Loss1 = กำลังไฟฟ้าสูญเสียก่อนทำการปรับปรุง

Power Loss2 = กำลังไฟฟ้าสูญเสียหลังทำการปรับปรุง

ระบบ 3 เฟส กำลังสูญเสียในสายไฟฟ้า = $3I^2R$

ดังนั้นเมื่อกระแสลดลงทำให้กำลังสูญเสียในสายลดลงด้วย

5. กำลังสูญเสียในหม้อแปลงลดลง กำลังสูญเสียในหม้อแปลงประกอบด้วยสองส่วน คือกำลังสูญเสียในแกนเหล็กและกำลังสูญเสียในขดลวดทองแดง ซึ่งกำลังสูญเสียในขดลวดทองแดงนี้จะแปรผันตามกระแสกำลังสอง เมื่อปรับปรุงค่าตัวประกอบกำลังให้สูงขึ้นแล้ว กระแสที่ไหลผ่านหม้อแปลงจะลดลง ทำให้กำลังสูญเสียเนื่องจากความต้านทานในขดลวดของทองแดงลดลง

2.3 การใช้งานตัวชดเชยโพลต(Compensator)

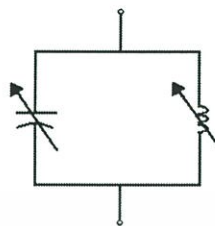
อุปกรณ์ชดเชยสำหรับควบคุมการไหลกำลังไฟฟ้าที่สามารถควบคุมการไหลทั้งกำลังไฟฟ้าจริงและกำลังไฟฟ้าเสมือนให้กับโพลตไฟฟ้าและสายส่งจ่ายกำลังไฟฟ้าโดยตัวควบคุมการไหลกำลังไฟฟ้าประกอบด้วยตัวชดเชยกำลังรีแอคทีฟ (Static Var Compensator) ต่อขนานเข้ากับโพลตโดยทั่วไปแล้วจะถูกใช้ควบคุมแรงดันที่เฟสและกำลังไฟฟ้าจริงและกำลังไฟฟารีแอคทีฟของระบบที่ชุดตัวชดเชยกำลังรีแอคทีฟนั้นต่ออยู่ อุปกรณ์ชนิดนี้อาจมองว่าเป็นอิมพีแดนซ์หรือแหล่งจ่ายที่เปลี่ยนแปลงค่าได้หรือบางครั้งอาจเป็นทั้งสองอย่างพร้อมกันหลักการทั่วไปของอุปกรณ์จำพวกตัวควบคุมแบบขนานทั้งหมดจะเป็นอุปกรณ์ที่ใช้สำหรับรักษาระดับแรงดันรอบๆจุดที่เชื่อมต่อโดยอาศัยหลักการฉีดหรือดึงกระแสไฟฟารีแอคทีฟเพียงอย่างเดียวแต่ในบางกรณีอาจต้องการทั้งกระแสไฟฟารีแอคทีฟและกระแสจริงเพื่อผลของการควบคุมแรงดันที่ดีขึ้นและเพื่อลดการแกว่งของแรงดัน(Damping of Voltage Oscillations) ตัวชดเชยกำลังไฟฟ้าเสมือนแบบคงที่ (Static Var Compensator: SVC) ประกอบด้วยตัวแอคเตอร์ที่ควบคุมด้วยไทรสเตอร์ (Thyristor Control Reactor: TCR) ต่อขนานกับคาปาซิเตอร์ที่กำหนดค่าคงที่ (Fixed Capacitor: FC) หรืออาจต่อขนานกับคาปาซิเตอร์สวิตช์ด้วยไทรสเตอร์ (Thyristor Switch Capacitor: TSC) หลักการควบคุมของตัวควบคุมการไหลกำลังไฟฟ้าดังรายละเอียดในแต่ละหัวข้อต่อไปนี้

ตัวชดเชยกำลังไฟฟารีแอคทีฟแบบสถิต (Static VAR Compensator) จะใช้ตัวเก็บประจุต่อขนานกับตัวเหนี่ยวนำ มักใช้ปรับปรุงโพลตที่มีความต้องการกำลังไฟฟารีแอคทีฟเปลี่ยนแปลงขึ้นลงโดยมีวัตถุประสงค์ของการนำไปใช้งานในระบบไฟฟ้า ดังนี้

1. ใช้รักษาระดับแรงดันไฟฟ้าให้คงที่
 - ใช้ปรับค่าแรงดันไฟฟ้าที่เปลี่ยนแปลงอย่างช้าๆอันเนื่องจากการเปลี่ยนโพลต
 - ใช้ปรับค่าแรงดันไฟฟ้าที่เปลี่ยนแปลงอันเนื่องมาจากเหตุการณ์ที่ไม่คาดคิดว่าจะเกิดขึ้น เช่น การตัดโพลตออกไป แรงดันไฟฟ้าที่เปลี่ยนแปลงของแหล่งกำเนิด (generator) และในสายส่ง
 - ใช้ลดการกระตุกของแรงดัน (voltage flicker) อันเนื่องมาจากโพลตที่เปลี่ยนแปลงขึ้นลงอย่างรวดเร็ว
2. ให้เพิ่มเสถียรภาพให้กับระบบไฟฟ้า
 - ใช้ช่วยจ่ายแรงดันไฟฟ้าเสริมเข้าไปที่จุดกลางของสายส่ง
 - ช่วยปรับปรุงการแกว่งแบบมีกการหน่วง (swing damping)
3. ปรับปรุงค่าตัวประกอบกำลัง
4. การทำเฟสให้สมดุล
5. อื่นๆ เช่น
 - การควบคุมแรงดันกระแสสลับที่ขั้วของตัวแปลงกระแสตรงแรงดันสูง (HVDC converter)
 - การลดการสูญเสียในสายส่งที่ออกมาจากหน่วยกำเนิดไฟฟ้าระยะใกล้

เอกสารนี้เป็นเอกสารที่สงวนไว้สำหรับการใช้งานเพื่อการศึกษาเท่านั้น ไม่อนุญาตให้นำไปใช้ประโยชน์ด้านการค้าไม่ว่ากรณีใดๆทั้งสิ้น อีกทั้งห้ามมิให้ดัดแปลงเนื้อหา และต้องอ้างอิงถึงเจ้าของเอกสารทุกครั้งที่มีการนำไปใช้

- การกำจัดเรโซแนนซ์ของสับซิงโครนัส (subsynchronous)
- การกำจัดแรงดันเกินแบบพลวัต (dynamic overvoltage)



รูปที่ 2.2 ตัวชดเชยกำลังไฟฟ้าร์แอกทีฟแบบสถิตในทางอุดมคติ

2.3.1 คุณสมบัติของตัวชดเชยกำลังไฟฟ้าร์แอกทีฟแบบสถิต

ตัวชดเชยกำลังไฟฟ้าร์แอกทีฟแบบสถิต (Static VAR Compensator) ประกอบด้วยอุปกรณ์ที่สามารถปรับค่ากำลังไฟฟ้าร์แอกทีฟได้อย่างต่อเนื่อง โดยไม่มีการหน่วงเวลาการตอบสนอง และยังสามารถขยายช่วงการชดเชยได้อีกด้วย (ขยายช่วงตามหลัง (lagging) และนำหน้า (leading))

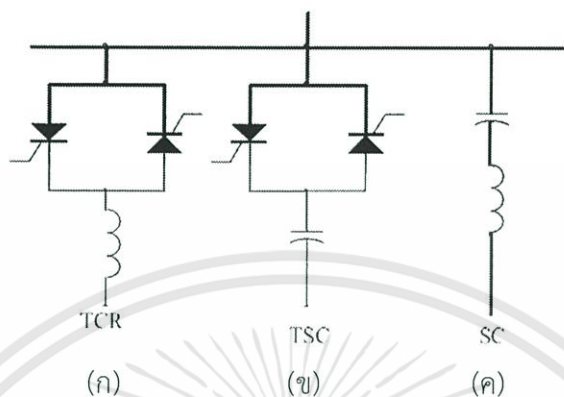
คุณสมบัติที่สำคัญที่สุดของตัวชดเชยแบบสถิต คือ ความสามารถในการรักษาให้แรงดันที่ขั้ว (terminal voltage) คงที่ตลอดช่วงการปรับกำลังไฟฟ้าร์แอกทีฟของระบบไฟฟ้ากำลังคุณสมบัติในการรักษาแรงดันให้คงที่นี้เป็นความจำเป็นอันแรกของตัวชดเชยชานแบบพลวัต (dynamic shunt compensator) และมีความสำคัญในการลดการกระตุก (flicker) และการแกว่งของแรงดันที่เกิดจากโหลดที่เปลี่ยนแปลง

คุณสมบัติที่สำคัญข้อที่สองคือความเร็วในการตอบสนอง ซึ่งตัวชดเชยจะต้องสามารถปรับค่ากำลังไฟฟ้าร์แอกทีฟได้รวดเร็วเพียงพอเพื่อตอบสนองต่อการเปลี่ยนแปลงของแรงดันที่ขั้ว (terminal voltage) แม้จะเปลี่ยนแปลงเล็กน้อยก็ตามแต่อาจไม่จำเป็นที่จะต้องตอบสนองได้รวดเร็วต่อทุกระบบ เช่น ในระบบสายส่งซึ่งจำเป็นต้องคำนึงถึงองค์ประกอบอื่นที่มีผลต่อเสถียรภาพของระบบด้วย ซึ่งไม่มีจุดที่ชี้ชัดลงไปว่าตัวชดเชยแต่ละแบบจะมีการตอบสนองที่เร็วที่สุดที่เป็นไปได้ในทางทฤษฎีเท่าใด ในการปรับปรุงค่าโหลด การกระตุก (flicker) จะลดลงได้เมื่อตัวชดเชยตอบสนองเร็วที่สุดเท่านั้น

ลักษณะการควบคุมส่วนใหญ่จะมีความชันเป็นบวกเล็กน้อยเมื่อเทียบกับเสถียรภาพของจุดปฏิบัติงาน กระแสรีแอกทีฟจะถูกจำกัดในทั้งแบบมูมนำ (leading) และมูมตาม (lagging) ด้วยองค์ประกอบที่ใช้ในการออกแบบตัวชดเชย และหลักในการปฏิบัติงานของมัน แม้ว่ากราฟคุณลักษณะของมันจะเบนออกจากเส้นตรงซึ่งทำให้ไม่ต่อเนื่องโดยค่าความชันของกราฟจะขึ้นอยู่กับอัตราการเปลี่ยนแปลงของกระแสกับแรงดัน

ทฤษฎีหลายอย่างถูกนำมาใช้ในการออกแบบตัวชดเชยแบบสถิต ซึ่งสามารถจำแนกประเภทของตัวชดเชยได้เป็น 3 ประเภทใหญ่ๆ คือ

1. แบบรีแอคเตอร์ควบคุมด้วยไทรสเตอร์ (the thyristor-controlled reactor ,TCR)
2. แบบไทรสเตอร์ตัดต่อตัวเก็บประจุ (the thyristor-switched capacitor ,TSC)
3. แบบแอคเตอร์อิ่มตัว (the saturated reactor ,SR)



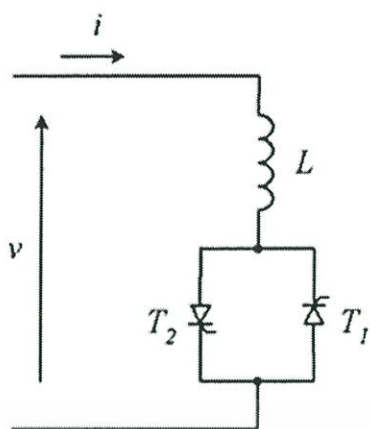
รูปที่ 2.3 ตัวชดเชยแบบสถิตประเภทต่าง

- (ก) ตัวชดเชยแบบแอคเตอร์ควบคุมไทรสเตอร์
- (ข) ตัวชดเชยแบบไทรสเตอร์ตัดต่อตัวเก็บประจุ
- (ค) ตัวชดเชยแบบแอคเตอร์อิ่มตัว

2.4 ของตัวชดเชยแบบแอคเตอร์ด้วยไทรสเตอร์ (Thyristor-Controlled Reactor, TCR)

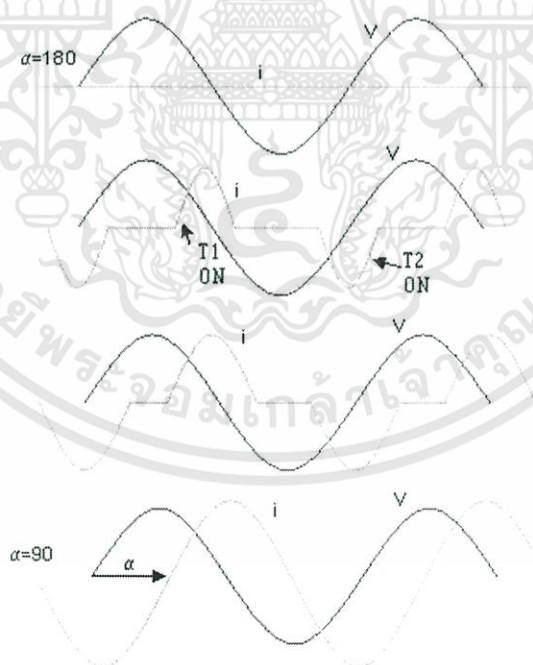
2.4.1 หลักการทำงาน

รูปแบบพื้นฐานของตัวชดเชยแอคเตอร์ด้วยไทรสเตอร์ (TCR) แสดงดังรูปที่ (2.4) โดยควบคุมที่ไทรสเตอร์ (Thyristor Controller) จากรูปจะเห็นเป็นไทรสเตอร์คู่ต่อขนานกลับกัน ซึ่งมีจะนำกระแสกลับไปกลับมาในแต่ละครึ่งรอบ (cycle) ของความถี่แหล่งจ่ายไฟ ถ้าไทรสเตอร์ถูกจุดชนวน (turn on) ที่จุดสูงสุด (peaks) ของคลื่นแรงดันของแหล่งจ่ายพอดิ จะเกิดการนำกระแสเต็มที่ (full conduction) ทำให้ไทรสเตอร์ลัดวงจร และกระแสเป็นรีแอคทีฟและตามหลัง (lagging) แรงดันเกือบๆ 90° เนื่องจากมีส่วนประกอบที่เฟสตรงกับแรงดัน (in-phase) อยู่เล็กน้อยอันเกิดจากการสูญเสียกำลังไฟฟ้าในแอคเตอร์ประมาณ 0.5-2% ของกำลังไฟฟารีแอคทีฟรูปที่ (2.5) แสดงรูปคลื่นของกระแสเมื่อเกิดการนำกระแสเต็มที่ (full conduction)



รูปที่ 2.4 แอคเตอร์ควบคุมด้วยไทรสเตอร์ (thyristor-controlled reactor)

ถ้าเราทริกขาเกตที่มุมเพิ่มมากขึ้น (delay) เท่ากันบนไทรสเตอร์ทั้งคู่ ผลการตอบสนองเหล่านี้จะขึ้นอยู่กับมุมทริก α ซึ่งวัดจากจุดที่แรงดันเป็นศูนย์ การนำกระแสจะเกิดขึ้นเต็มที่เมื่อมุมทริกเป็น 90° แต่ถ้าทริกมุม 90° ถึง 180° จะเกิดการนำกระแสบางส่วน เมื่อเพิ่มมุมทริกจะไปทำให้ส่วนประกอบหลักมูลของกระแสลดลง การทำเช่นนี้เปรียบเสมือนเป็นการเพิ่มค่าความเหนี่ยวนำของรีแอคทีฟ นอกจากจะเกี่ยวข้องกับกระแสหลักมูลแล้ว ตัวชดเชยแบบแอคเตอร์ควบคุมด้วย ไทรสเตอร์ยังเป็นความนำจินตภาพ (susceptance) ที่ควบคุมได้ และสามารถนำไปใช้ในตัวชดเชยแบบสถิต



รูปที่ 2.5 รูปคลื่นกระแสเฟส (phase) เมื่อต่อตัวชดเชยแบบแอคเตอร์ควบคุมด้วยไทรสเตอร์ กระแสขณะใดๆ (i) จะเป็น

เอกสารนี้เป็นเอกสารที่สงวนไว้สำหรับการใช้งานเพื่อการศึกษาเท่านั้น ไม่อนุญาตให้นำไปใช้ประโยชน์ด้านการค้า ไม่ว่าจะกรณีใดๆทั้งสิ้น อีกทั้งห้ามมิให้ดัดแปลงเนื้อหา และต้องอ้างอิงถึงเจ้าของเอกสารทุกครั้งที่มีการนำไปใช้

$$i(\omega t) = \begin{cases} \frac{\sqrt{2}V}{X_L}(-\cos\alpha - \cos\omega t) & 0 < \omega t < \pi - \alpha \\ 0 & \pi - \alpha < \omega t < \alpha \\ \frac{\sqrt{2}V}{X_L}(\cos\alpha - \cos\omega t) & \alpha < \omega t < 2\pi - \alpha \\ 0 & 2\pi - \alpha < \omega t < \pi + \alpha \\ \frac{\sqrt{2}V}{X_L}(-\cos\alpha - \cos\omega t) & 0 < \omega t < \pi - \alpha \end{cases} \quad (2.15)$$

เมื่อ V คือแรงดันอาร์เอ็มเอส (rms)

$X_L = \omega L$ เป็นค่าแอดแตนซ์ของแอกเตอร์ที่ความถี่หลักมูล

และ α คือ มุมทริกที่ป้อนขาเกต

จุดเริ่มต้น (origin) ของเวลา คือจุดที่แรงดันไฟฟ้าเป็น 0 และกำลังจะเพิ่มขึ้นในทางบวก เราสามารถหากระแสหลักมูล (fundamental) โดยใช้การแปลงฟูริเยอร์ (Fourier) ดังต่อไปนี้
จากการแปลงฟูริเยอร์

$$f(\omega t) = a_0 + \sum_{n=1}^{\infty} (a_n \cos n\omega t + b_n \sin n\omega t) \quad (2.16)$$

$$a_0 = \frac{1}{T} \int_0^T f(\omega t) d\omega t \quad (2.17)$$

$$a_n = \frac{2}{T} \int_0^T f(\omega t) \cos n\omega t d\omega t \quad (2.18)$$

$$b_n = \frac{2}{T} \int_0^T f(\omega t) \sin n\omega t d\omega t \quad (2.19)$$

เนื่องจาก $i(\omega t)$ เป็นฟังก์ชันคี่ ดังนั้น $a_0 = 0$

$$a_1 = \frac{\sqrt{2}V}{\pi X_L} \left[\int_0^{\pi-\alpha} (-\cos\alpha - \cos\omega t) \cos\omega t d\omega t + \int_{\pi-\alpha}^{2\pi-\alpha} (\cos\alpha - \cos\omega t) \cos\omega t d\omega t + \int_{\pi+\alpha}^{2\pi} (-\cos\alpha - \cos\omega t) \cos\omega t d\omega t \right]$$

$$\begin{aligned}
&= \frac{\sqrt{2}V}{\pi X_L} \left[\int_0^{\pi-\alpha} \left(-\cos\alpha \cos\omega t - \frac{\cos 2\omega t}{2} - \frac{1}{2} \right) d\omega t \right. \\
&\quad + \int_{\alpha}^{2\pi-\alpha} \left(\cos\alpha \cos\omega t - \frac{\cos 2\omega t}{2} - \frac{1}{2} \right) d\omega t \\
&\quad \left. + \int_{\pi+\alpha}^{2\pi} \left(-\cos\alpha \cos\omega t - \frac{\cos 2\omega t}{2} - \frac{1}{2} \right) d\omega t \right] \\
&= \frac{\sqrt{2}V}{\pi X_L} \left[\left\{ -\cos\alpha [\sin(\pi - \alpha) - \sin 0] - \frac{1}{4} [\sin(2\pi - 2\alpha) - \sin 0] - \frac{1}{2} [\pi - \alpha] \right\} \right. \\
&\quad + \left\{ \cos\alpha [\sin(2\pi - \alpha) - \sin\alpha] - \frac{1}{4} [\sin(4\pi - 2\alpha) - \sin 2\alpha] - \frac{1}{2} [2\pi - \alpha - \alpha] \right\} \\
&\quad \left. + \left\{ -\cos\alpha [\sin 2\pi - \sin(\pi + \alpha)] - \frac{1}{4} [\sin 4\pi - \sin(2\pi + 2\alpha)] - \frac{1}{2} [2\pi - \pi - \alpha] \right\} \right] \\
&= \frac{\sqrt{2}V}{\pi X_L} \left[\left\{ -\cos\alpha \sin\alpha + \frac{1}{4} \sin 2\alpha - \frac{1}{2} \pi + \frac{1}{2} \alpha \right\} \right. \\
&\quad + \left\{ -2\cos\alpha \sin\alpha + \frac{1}{2} \sin 2\alpha - \pi + \alpha \right\} \\
&\quad \left. + \left\{ -\cos\alpha \sin\alpha + \frac{1}{4} \sin 2\alpha - \frac{1}{2} \pi + \frac{1}{2} \alpha \right\} \right] \\
&= \frac{\sqrt{2}V}{\pi X_L} [-4\cos\alpha \sin\alpha + \sin 2\alpha - 2\pi + 2\alpha] \\
&a_1 = \frac{\sqrt{2}V}{\pi X_L} [-\sin 2\alpha + 2(\alpha - \pi)] \tag{2.20}
\end{aligned}$$

เนื่องจาก

$$\alpha + \frac{\sigma}{2} = \pi \quad \alpha = \pi - \frac{\sigma}{2} \tag{2.21}$$

$$\sin 2\alpha = \sin(2\pi - \sigma) = -\sin \sigma \tag{2.22}$$

$$a_1 = \frac{\sqrt{2}V}{\pi X_L} [\sin \sigma - \sigma] \tag{2.23}$$

เนื่องจาก $i(\omega t)$ เป็นฟังก์ชันคี่ ดังนั้น $b_n = 0$

$$\begin{aligned}
I_{1,rms} &= \sqrt{\frac{1}{2\pi} \int_0^{2\pi} \left(\frac{\sqrt{2}V}{\pi X_L} [\sin \sigma - \sigma] \right)^2 \cos^2 \omega t d\omega t} \\
&= \left| \frac{\sqrt{2}V}{\pi X_L} [\sin \sigma - \sigma] \right| \sqrt{\frac{1}{4\pi} (2\pi)}
\end{aligned}$$

$$I_{1,rms} = \frac{V}{\pi X_L} (\sigma - \sin \sigma) \tag{2.24}$$

เมื่อ σ คือ ช่วงมุมที่นำกระแสซึ่งสัมพันธ์กับ α ดังสมการ

เอกสารนี้เป็นเอกสารที่สงวนไว้สำหรับการใช้งานเพื่อการศึกษาเท่านั้น ไม่อนุญาตให้นำไปใช้ประโยชน์ด้านการค้า
ไม่ว่ากรณีใดๆทั้งสิ้น อีกทั้งห้ามมิให้ดัดแปลงเนื้อหา และต้องอ้างอิงถึงเจ้าของเอกสารทุกครั้งที่มีการนำไปใช้

$$\alpha + \frac{\sigma}{2} = \pi \quad (2.25)$$

เราสามารถเขียนสมการที่ (asdf)

$$I_1 = B_L(\sigma)V \quad (2.26)$$

เมื่อ $B_L(\sigma)$ เป็นค่าความนำจินตภาพที่ความถี่หลักมูล ซึ่งสามารถปรับค่าได้โดยควบคุมช่วงที่นำกระแส (σ)

$$B_L(\sigma) = \frac{\sigma - \sin\sigma}{\pi X_L} \quad (2.27)$$

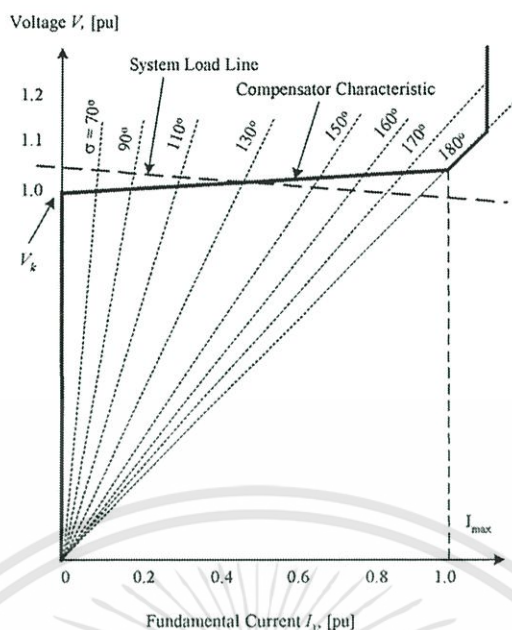
การควบคุมตัวชดเชยแบบแอกเตอร์ควบคุมด้วยไทรสเตอร์แบบพื้นฐาน เมื่อ $\sigma = \pi$ หรือ 180° จะทำให้ไทรสเตอร์นำกระแสเต็มที่ และค่าความนำจินตภาพที่ความถี่หลักมูลจะต่ำสุดเป็น 0 เมื่อ $\sigma = 0$ ($\alpha = 180^\circ$) หลักในการควบคุมดังกล่าวเรียกว่า "การควบคุมเฟส (phase control)"

2.4.2 ลักษณะแรงดัน / กระแส

ตัวชดเชยแบบรีแบบแอกเตอร์ควบคุมด้วยไทรสเตอร์จำเป็นต้องมีระบบควบคุมที่ใช้กำหนดในรูปของคลื่นพัลส์ไปยังขาเกตของไทรสเตอร์ ในการออกแบบระบบควบคุมนี้เราจะต้องสร้างสัญญาณป้อนขาเกตที่จะทำได้ ความนำจินตภาพ (susceptance) B_L ตามต้องการกระบวนการในการควบคุมจะแตกต่างกันไปตามพารามิเตอร์ที่วัดได้จากระบบที่จะไปชดเชย เช่น แรงดัน และจะสร้างสัญญาณป้อนขาเกต (gating pulses) โดยไม่ได้ใช้สัญญาณสำหรับค่าความนำจินตภาพที่แน่นอน ลักษณะของแรงดัน/กระแสในแต่ละกรณีจะเป็นดังรูปที่ 3.8 จุดตัดระหว่างเส้นโหลดของระบบ (system load) กับเส้นคุณลักษณะของตัวชดเชย (compensator characteristic) คือสถานะคงตัว (steady state) น ที่มุมช่วงนำกระแส (conduction angle) 130° จะให้ค่าแรงดันประมาณ 1.0 p.u. แต่กราฟนี้เป็นแค่เพียงส่วนหนึ่งที่ใช้ในการควบคุมซึ่งต้องพิจารณาส่วนอื่นๆอีก เช่น การตั้งการควบคุมและพิกัดของตัวชดเชย ลักษณะการควบคุมดังรูปที่ 2.6 กำหนดโดยสมการ

$$V = V_R + jX_s I_1, \quad 0 < I_1 < I_{\max} \quad (2.28)$$

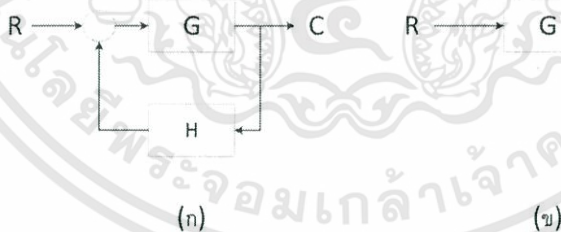
ในรูปที่ 2.6 I_{\max} มักจะเป็นค่ากระแสพิกัด (rated current) ของแอกเตอร์สำหรับที่แสดงไว้นี้เป็น 1.0 p.u.



รูปที่ 2.6 กราฟลักษณะแรงดัน/กระแสหลักมูลในตัวชดเชยแบบแอคเตอร์ควบคุมด้วยไทรสเตอร์

2.5 การควบคุม

จุดประสงค์ขั้นต้นของตัวชดเชย คือ ลักษณะของแรงดัน/กระแสของ ลักษณะและชนิดของ ตัวชดเชยแบบรีแอคเตอร์ควบคุมด้วยไทรสเตอร์ ศักดาและกระแสของตัวชดเชยจะหาได้โดยรีแอคเตอร์และมุมเหนี่ยวนำ ซึ่งแต่ละจุดจะแสดงรายละเอียดของค่าความนำจินตภาพ จะแสดงว่าตัวชดเชยจะปฏิบัติในส่วนของแรงดันต่อกระแสหลักมูล และระบบสายส่ง การควบคุมแบบอัตโนมัติจะปรับรายละเอียดซึ่งเป็นไปตามเงื่อนไขที่พอใจ



รูปที่ 2.7 บล็อกไดอะแกรมของการควบคุม

(ก) การควบคุมแบบวงปิด , $C=RG/(1+GH)$

(ข) การควบคุมแบบวงเปิด , $C=RG$

โดย H = ทรานส์เฟอร์ฟังก์ชันป้อนกลับ

G = ทรานส์เฟอร์ฟังก์ชันเดินหน้า

R = ตัวอ้างอิง

C = ตัวแปรที่ถูกควบคุม

เอกสารนี้เป็นเอกสารที่สงวนไว้สำหรับการใช้งานเพื่อการศึกษาเท่านั้น ไม่อนุญาตให้นำไปใช้ประโยชน์ด้านการค้า ไม่ว่าจะกรณีใดๆทั้งสิ้น อีกทั้งห้ามมิให้ดัดแปลงเนื้อหา และต้องอ้างอิงถึงเจ้าของเอกสารทุกครั้งที่มีการนำไปใช้

การควบคุมพื้นฐานแบ่งออกได้เป็น 2 ประเภท ซึ่งจะใช้การควบคุมแบบวงปิด (closed-loop) หรือแบบวงเปิด (open-loop) ในการควบคุมโดยที่การควบคุมแบบวงปิดจะเป็นแบบป้อนกลับดังรูปที่ 2.7ก ส่วนการควบคุมแบบวงเปิดจะเป็นแบบที่ไม่มีการป้อนกลับดังรูปที่ 2.7ข ซึ่งทรานซ์เฟอร์ฟังก์ชันของการป้อนไปข้างหน้าคือ G ซึ่งจะถูกโปรแกรมไว้ล่วงหน้าให้ผลออกมาเป็นค่าของ C เมื่อป้อนค่า R เข้าไป และไม่มีให้นำผลของค่า C มาเปรียบเทียบกับและตรวจสอบโดยเงื่อนไขการคำนวณจะรวมอยู่ในฟังก์ชัน G แต่ถ้าเกิดเหตุการณ์ในการเปลี่ยนแปลงที่ไม่ได้คาดการณ์ไว้ล่วงหน้าของระบบ C ที่ได้จะไม่เป็นไปตามแผนที่วางไว้ การพัฒนาระบบการควบคุมแบบวงปิดจะให้ผลที่ถูกต้องกว่า แต่ระบบการควบคุมแบบวงเปิดจะมีข้อดีตรงที่ได้ผลตอบสนองที่รวดเร็วกว่า

2.5.1 การควบคุมแบบวงเปิด

การควบคุมแบบวงเปิดมีจุดสำคัญคือมีผลตอบสนองที่รวดเร็วกว่าซึ่งเป็นพื้นฐานที่ถูกประยุกต์ในการออกแบบวงจรสร้างสัญญาณป้อนขาเกทของทรานซิสเตอร์ โดยทั่วไปการควบคุมแบบวงเปิดจะมีความรู้สึกไวต่อการคำนวณ (susceptance calculator = SC) จากสัญญาณซึ่งแสดงการวัดคิกดาและกระแสของภาระ การใส่ตัวชดเชยจะเป็นที่ต้องการ ความต้องการที่จะชดเชยได้ไวจำนวนเส้นทางที่แตกต่างกัน สัญญาณที่แสดงถึงกระบวนการ การคำนวณมุมเหนี่ยวนำ (CAC) ในการผลิตสัญญาณแสดงถึงค่าความนำจินตภาพที่จะต้องชดเชยตามสมการ

$$B_V = B_L(\sigma) - B_C \quad (2.29)$$

เมื่อ $B_L(\sigma)$ คือค่าที่ได้จากสมการ (2.27) ในผลการแก้สมการหาค่าของ (σ) ในสมการที่ (2.27) จะไม่เป็นเชิงเส้น จะมี 1 วิธี คือ สร้างวงจรโดยมีทรานซ์เฟอร์ฟังก์ชัน $\frac{K_2\pi}{(\sigma - \sin(\sigma))}$ เมื่อใส่ทรานซ์เฟอร์ฟังก์ชันนี้ลงไปในตัวชดเชย สมการที่ (2.27) ซึ่งผลออกมาความสัมพันธ์ระหว่างความต้องการสัญญาณที่มีความไวกับการชดเชยที่ต้องการต่อความรู้สึเป็นเชิงเส้น

การควบคุมแบบวงเปิดสำหรับการชดเชยภาระ ซึ่งต้องการผลตอบสนองตัวชดเชยที่รวดเร็วกว่าโดยใส่ค่าของความนำเชิงซ้อน (admittance) ลงในคอมพิวเตอร์ โดยได้รายละเอียดจากคิกดาและกระแสของภาระ ซึ่งโวลท์เตจเรกูเลตติ้ง (voltage-regulating) ในฟังก์ชันในการควบคุมนี้จะไม่แน่นอน

2.5.2 ความเร็วในการตอบสนอง

ในหัวข้อ 2.4.1 แสดงถึงมุมของการเหนี่ยวนำในเฟสใดๆของตัวชดเชยแบบรีแอกเตอร์ควบคุมด้วยทรานซิสเตอร์สามารถที่จะเปลี่ยนได้โดยระหว่างครึ่งรอบของความถี่ที่ป้อนเข้าไปซึ่งกำหนดว่ามุมช่วงนำกระแส (σ) จะเหลือน้อยกว่า 180° สุดท้ายผลตอบสนองที่รวดเร็วกว่าที่ต้องการประยุกต์ระบบแรงดันสูงเมื่อเสถียรภาพและความถูกต้องของระบบควบคุมมีความสำคัญมากกว่า ดังนั้นเวลาในการตอบสนองของตัวชดเชยซึ่งใส่ตัวเก็บประจุสามารถจะเป็น 2 รอบเล็กๆความถี่กำลังสำหรับการจ่ายคิกดาสูงสุดในการอาร์คเตาเผา จะใช้ผลตอบสนองที่รวดเร็วกว่าเป็นสิ่งที่สำคัญ และผลตอบสนองทางธรรมชาติของตัวชดเชยแบบรีแอกเตอร์ควบคุมด้วยทรานซิสเตอร์

2.5.3 การควบคุมเฟสที่เป็นอิสระ

เป็นลักษณะประจำตัวของตัวชดเชยแบบรีแอคเตอร์ควบคุมด้วยไทรสเตอร์ที่สำคัญซึ่งสามารถถูกควบคุม 3 เฟส ที่อิสระต่อกันและตัวชดเชยสามารถทำให้เฟสสมดุลได้ดังในบทที่ 2 ความถูกต้องของเฟสสมดุลจะไม่ดีทีเดียว ตัวเก็บประจุขนาน ซึ่งใช้ชดเชยรีแอคเตอร์จะไม่จำกัดความสามารถในการสมดุลเฟส ในโครงข่ายชดเชยอาจมีความต้องการทั่วๆไปทั้งการเหนี่ยวนำและการเก็บประจุ นอกจากนี้ความนำเชิงซ้อนในแต่ละเฟสและความไม่สมดุลของชดเชยรีแอคเตอร์อาจจะก่อให้เกิดฮาร์โมนิกส์ที่มากกว่าเงื่อนไขที่สมดุล ทำให้จำเป็นต้องมีวงจรกรองฮาร์โมนิกส์ (Filter) เป็นสิ่งที่จำเป็นโดยฮาร์โมนิกส์จะปรากฏในกระแสสาย (line)

2.6 ผลตอบสนองของศักดาเกินและศักดาดำ

สิ่งสำคัญอีกอย่างหนึ่งของตัวชดเชยแบบสถิต (Static Compensator) คือการแสดงพฤติกรรมภายใต้เงื่อนไขของศักดาที่สูงเกินไปและต่ำเกินไป การอ้างอิงสถานะคงแรงดันต่อกระแสหลักมูล ในรูปที่ 2.6 ถ้าศักดาของระบบเพิ่มขึ้น มุมเหนี่ยวนำจะขึ้นสู่ค่าสูงสุดตามกัน การควบคุมจะถูกจำกัดและกระแสหลักมูลจะสัมพันธ์กับชดเชยรีแอคเตอร์ ซึ่งปกติพฤติกรรมของรีแอคเตอร์เป็นเชิงเส้น รีแอคเตอร์ของชดเชยรีแอคเตอร์จะมากเกินไปที่จะจำกัดเพิ่มศักดาของระบบภายใต้เงื่อนไขที่สำคัญสุดท้ายนี้ และมีความจำเป็นในการที่จะเริ่มลดเหนี่ยวนำเพื่อป้องกันไทรสเตอร์จากความร้อนที่รอยต่อ (Junction) ซึ่งสาเหตุมาจากกระแสที่สูงเข้ามาเกี่ยวข้อง

เมื่อศักดาของระบบตกลงในช่วงของการควบคุมของตัวชดเชย มันมีพฤติกรรมเหมือนกับการใส่ตัวเก็บประจุ ไทรสเตอร์จะปิดมุมเฟส (phased-off) ตัวชดเชยแบบรีแอคเตอร์ควบคุมด้วยไทรสเตอร์ จะเป็นตำแหน่งในการจำกัดศักดาเกิน มันจะถูกติดตั้งเพื่อใช้ชดเชยทั้งมุมนำและมุมตาม และแก้ปัญหาการแกว่งของกำลัง (damping power swings) และตัวชดเชยแบบรีแอคเตอร์ควบคุมด้วยไทรสเตอร์จะถูกควบคุมโดยสัญญาณการป้อนกลับ

2.7 กำลังสูญเสีย

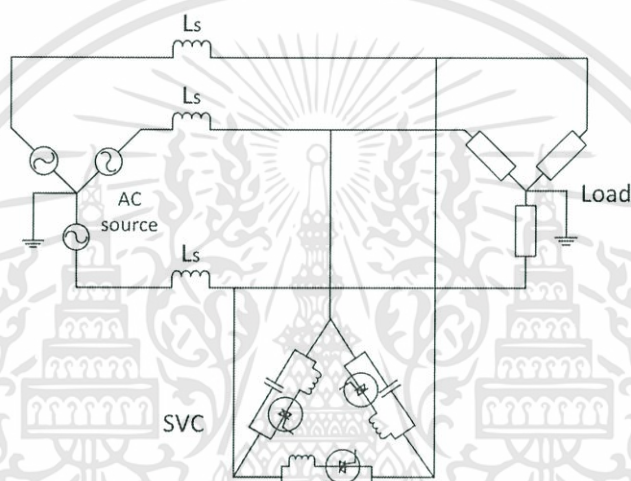
การสูญเสียกำลังโดยตัวชดเชยเป็นสิ่งสำคัญที่จะต้องพิจารณา เพราะว่าพลังงานมีราคาสูง ค่าหลักของการสูญเสียสามารถถูกเปรียบเทียบกับราคาเมื่อมีตัวชดเชย ตัวชดเชยแบบรีแอคเตอร์ควบคุมด้วยไทรสเตอร์ซึ่งต่อขนานกับตัวเก็บประจุจะมีความสูญเสียเพิ่มขึ้นกับการเหนี่ยวนำในตัวชดเชยเป็นเปอร์เซ็นต์ของอัตรากำลังไฟฟ้าแอคทีฟ แบบตัวเก็บประจุมันรวมไปถึงความสูญเสียกับความต้านทานในรีแอคเตอร์การเหนี่ยวนำสวิตซ์ซิงค์ และความสูญเสียอื่นในระบบควบคุมไทรสเตอร์ ความสูญเสียจะลดลงเมื่อเป็นกำลังรีแอคทีฟนำหน้า และความสูญเสียจะเพิ่มขึ้นเมื่อเป็นกำลังรีแอคทีฟตามหลังแนวทางซึ่งตรงกันข้ามถูกทำได้โดยตัวชดเชยไฮบริด เมื่อตัวเก็บประจุเป็นกลุ่มของสวิตซ์และขนาดเล็กกว่าชดเชยรีแอคเตอร์

บทที่ 3

การออกแบบและผลการจำลอง

3.1 บทนำ

ในบทนี้กล่าวถึงแบบจำลองตัวชดเชยกำลังรีแอคทีฟ (Static Var Compensator) ใช้สำหรับชดเชยเป็นช่วงๆในระบบสายส่งระยะทางไกลๆและก็ยังมีการชดเชยโหลดหลายรูปแบบการใช้งาน โดยตัวชดเชยกำลังรีแอคทีฟนั้นมีส่วนของวงจรกำลังและวงจรควบคุม ในการควบคุมอาศัยหลักการควบคุมแบบปิด (Close Loop) โดยรับค่าแรงดันที่จุดโหลดมาคำนวณหาค่ามุนำกระแสของไทรแอก (α) เพื่อควบคุมกำลังรีแอคทีฟของระบบไฟฟ้า



รูปที่ 3.1 วงจรภาคกำลังของตัวชดเชยกำลังรีแอคทีฟ

3.2 ตัวชดเชยกำลังรีแอคทีฟ

3.2.1 การออกแบบขนาดของตัวเหนี่ยวนำและตัวเก็บประจุของชุดชดเชยกำลังไฟฟารีแอคทีฟ

ตัวชดเชยกำลังไฟฟารีแอคทีฟถูกใช้ในการรักษาแรงดันที่จุดโหลดหรือชดเชยกำลังไฟฟารีแอคทีฟของระบบ เพื่อปรับปรุงค่าตัวประกอบกำลังให้กับแหล่งจ่ายกำลังไฟฟ้า โดยอาศัยไทรแอกต่ออยู่กับตัวเหนี่ยวนำและขนาดอยู่กับตัวเก็บประจุ แสดงแบบต่อเฟสในรูปที่ 3.2 แสดงแบบสามเฟสในรูปที่ 3.1

ขนาดกำลังไฟฟารีแอคทีฟของตัวเก็บประจุสำหรับรักษาระดับแรงดันจะหาได้จาก

$$Q_{svc} = Q_{cc} - Q_{tcr} \quad (3.1)$$

$$Q_{cc} = V_t I_{cc} \quad (3.2)$$

$$X_{cc} = \frac{V_t}{I_{cc}} \quad (3.3)$$

$$Q_{tcr} = V_t I_{tcr} \quad (3.4)$$

$$X_{tcr} = \frac{V_t}{I_{tcr}} \quad (3.5)$$

ขนาดของกำลังไฟฟ้าร์แอกทีฟของชุดตัวชดเชยที่สามารถจ่ายออกไปให้กับระบบจะมีค่าต่ำสุดเมื่อมุมจุดชนวนไตรแอกทีฟมุม 90 องศาและจะมีค่าสูงสุดเมื่อมุมจุดชนวนไตรแอกทีฟมุม 180 องศา

$$X_{tcr} = X_L = X_{cc} \quad (3.6)$$

ค่าอิมพีแดนซ์ที่มุมจุดชนวนไตรแอกทีฟมุม 90 องศา

$$X_{tcr} = \frac{\pi X_L}{2\pi - 2\alpha + \sin 2\alpha} \quad (3.7)$$

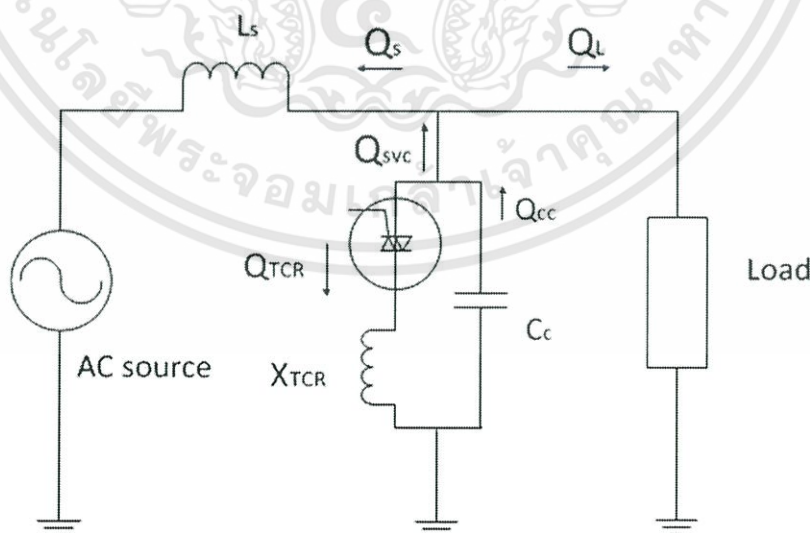
ค่าอิมพีแดนซ์ของตัวเหนี่ยวนำควบคุมด้วยไตรแอกทีฟมุมจุดชนวนไตรแอกทีฟมุม 90-180 องศา

$$X_{svc} = \frac{\pi X_L X_c}{X_c(2\pi - 2\alpha + \sin 2\alpha) - \pi X_L} \quad (3.8)$$

ค่าอิมพีแดนซ์รวมของตัวชดเชยที่มุมจุดชนวนไตรแอกทีฟมุม 90-180 องศา

$$Q_{svc} = \frac{V_t^2}{X_{svc}} \quad (3.9)$$

- เมื่อ
- Q_{cc} คือ กำลังไฟฟ้าร์แอกทีฟของตัวเก็บประจุต่อเฟส
 - Q_{tcr} คือ กำลังไฟฟ้าร์แอกทีฟของตัวเหนี่ยวนำควบคุมต่อเฟส
 - Q_{svc} คือ กำลังไฟฟ้าร์แอกทีฟของตัวชดเชย
 - I_{cc} คือ กระแสต่อเฟสที่ไหลผ่านตัวเก็บประจุที่ชดเชยเพื่อรักษาระดับแรงดันไฟฟ้า
 - X_{cc} คือ ค่าคาปาซิแตนซ์ต่อเฟส
 - X_{TCR} คือ ขนาดอิมพีแดนซ์ของตัวเหนี่ยวนำเมื่อควบคุมด้วยไตรแอก
 - X_{svc} คือ อิมพีแดนซ์รวมของตัวชดเชย

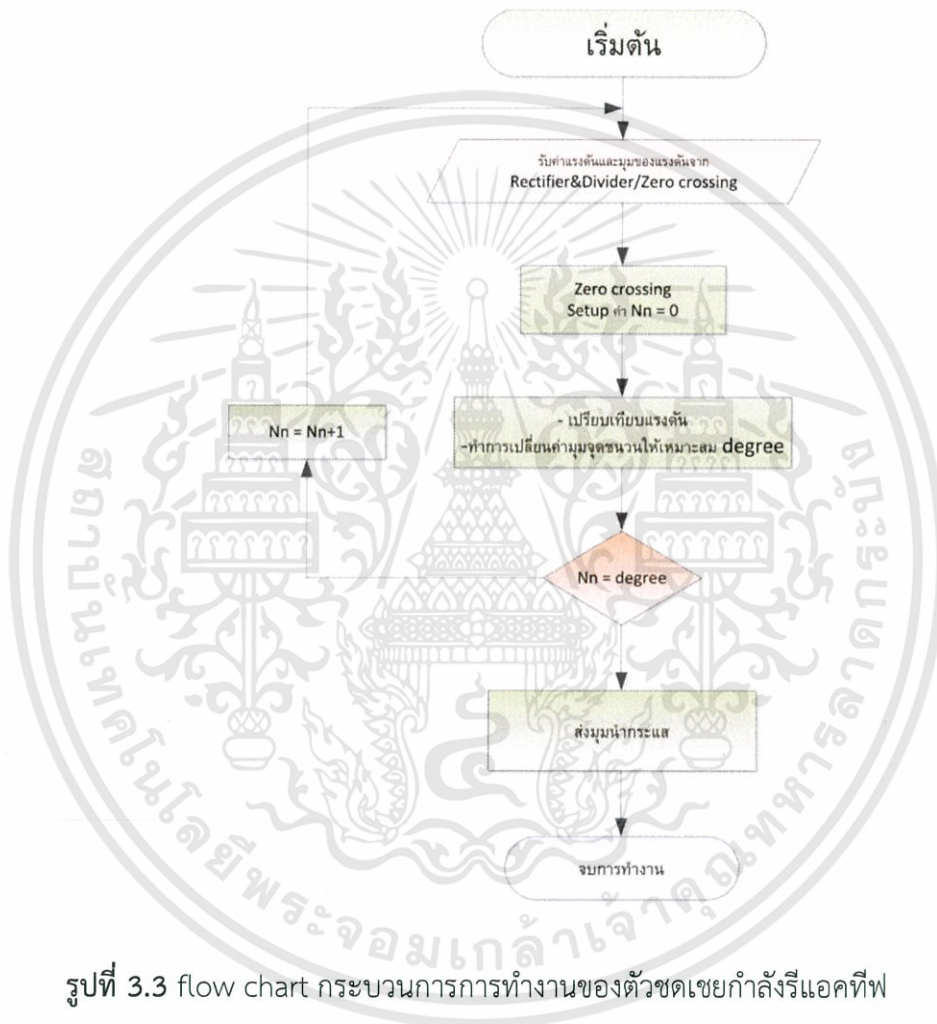


รูปที่ 3.2 ทิศทางการไหลของกำลังรีแอกทีฟ 1 เฟส

เอกสารนี้เป็นเอกสารที่สงวนไว้สำหรับการใช้งานเพื่อการศึกษาเท่านั้น ไม่อนุญาตให้นำไปใช้ประโยชน์ด้านการค้า ไม่ว่าจะกรณีใดๆทั้งสิ้น อีกทั้งห้ามมิให้ดัดแปลงเนื้อหา และต้องอ้างอิงถึงเจ้าของเอกสารทุกครั้งที่มีการนำไปใช้

3.2.2 การควบคุม

การควบคุมจะเป็นการจับสัญญาณแรงดันกลับมาทำการคำนวณเปรียบเทียบค่า มุมจุดชนวนที่เหมาะสม โดยในกรณีที่แรงดันลดน้อยลงจะ เพิ่มมุมจุดชนวน หรือ เป็นการลดความ เป็นตัวเหนี่ยวนำ (X_L) ในวงจรตัวชดเชย ทำให้ค่าอิมพีแดนซ์ของตัวชดเชย (X_{SVC}) ลดลง ดังนั้น กำลังไฟฟ้รีแอคทีฟของวงจร (Q_{SVC}) ที่ให้กับระบบจะมีค่ามากขึ้น

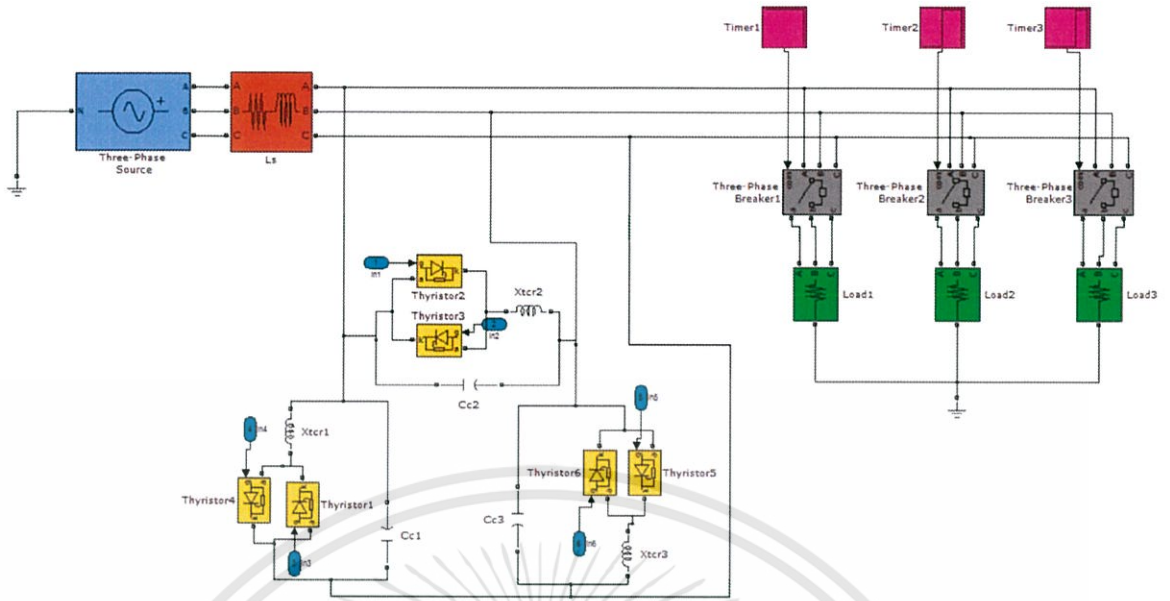


รูปที่ 3.3 flow chart กระบวนการการทำงานของตัวชดเชยกำลังรีแอคทีฟ

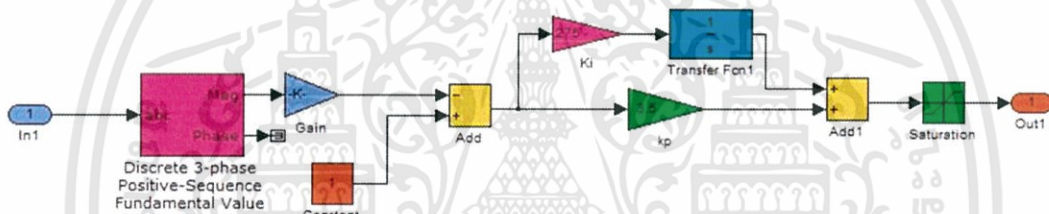
3.3 การจำลองระบบด้วยโปรแกรมคอมพิวเตอร์

การจำลองระบบด้วยโปรแกรมคอมพิวเตอร์เป็นขั้นตอนการจำลองที่ได้ออกแบบไว้เพื่อใช้เป็น หลักการที่ถูกต้องในการออกแบบและได้ผลเป็นไปตามทฤษฎีและสมมติฐานที่มีอยู่ ก่อนนำไปสร้าง เครื่องต้นแบบซึ่งควรจะเป็นค่าที่ใช้จริงที่จะใช้ในการสร้างตัวชดเชยกำลังรีแอคทีฟและสามารถช่วยลด ความเสียหายและอุบัติเหตุได้โดยโปรแกรมที่ใช้ในการทดสอบวงจรนี้ได้เลือกใช้โปรแกรม MATLAB/SIMULINK

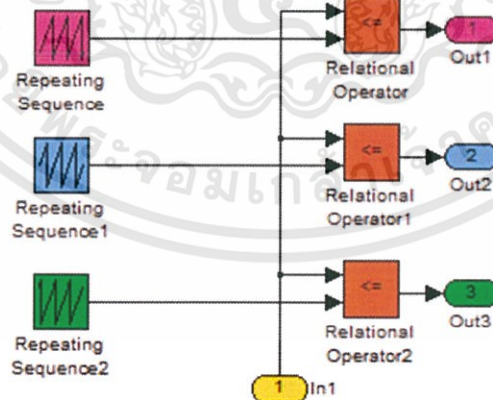
เอกสารนี้เป็นเอกสารที่สงวนไว้สำหรับการใช้งานเพื่อการศึกษาเท่านั้น ไม่อนุญาตให้นำไปใช้ประโยชน์ด้านการค้า ไม่ว่ากรณีใดๆทั้งสิ้น อีกทั้งห้ามมิให้ดัดแปลงเนื้อหา และต้องอ้างอิงถึงเจ้าของเอกสารทุกครั้งที่มีการนำไปใช้



รูปที่ 3.4 วงจรจำลองทางคอมพิวเตอร์ภาคกำลัง



รูปที่ 3.5 วงจรจำลองทางคอมพิวเตอร์ภาคควบคุม



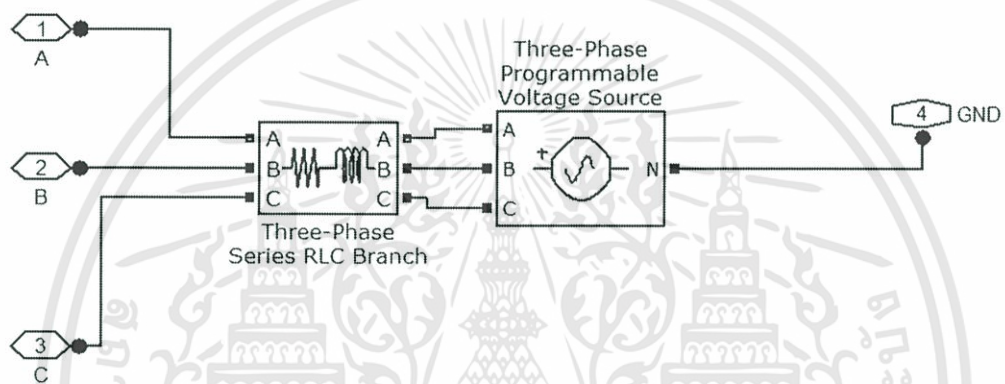
รูป 3.6 บล็อกการจำลองทางคอมพิวเตอร์ของมุมจุดชนวน

เอกสารนี้เป็นเอกสารที่สงวนไว้สำหรับการใช้งานเพื่อการศึกษาเท่านั้น ไม่อนุญาตให้นำไปใช้ประโยชน์ด้านการค้า ไม่ว่าจะกรณีใดๆทั้งสิ้น อีกทั้งห้ามมิให้ดัดแปลงเนื้อหา และต้องอ้างอิงถึงเจ้าของเอกสารทุกครั้งที่มีการนำไปใช้

3.3.1 การจำลองแหล่งจ่ายกำลังไฟฟ้า 3 เฟส

ตารางที่ 3.1 ค่าพารามิเตอร์ของแหล่งจ่ายกำลังไฟฟ้า 3 เฟส

Voltage rms (Phase-Phase)	380 V
Phase(Degree)	0
Frequency	50 Hz
Resistance	00.6 Ohm
Inductance	7.5mH

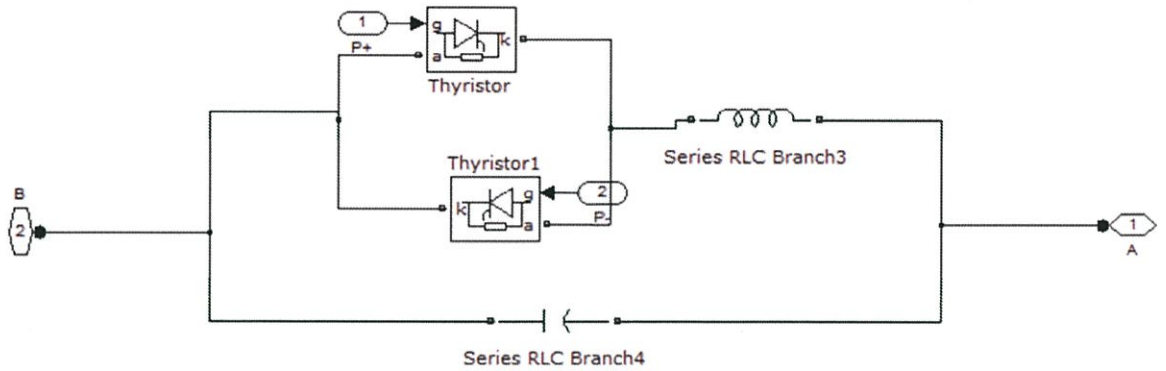


รูปที่ 3.7 วงจรจำลองทางคอมพิวเตอร์ของแหล่งจ่าย

3.3.2 การจำลองตัวชดเชยกำลังรีแอกทีฟ

ตารางที่ 3.2 ค่าพารามิเตอร์ของตัวชดเชยกำลังรีแอกทีฟ (Static VAR Compensator : SVC) แบบ 3 เฟส

SVC phase-AB	Capacitor 60 μ F	Inductor 170 mH
SVC phase-BC	Capacitor 60 μ F	Inductor 170 mH
SVC phase-CA	Capacitor 60 μ F	Inductor 170 mH

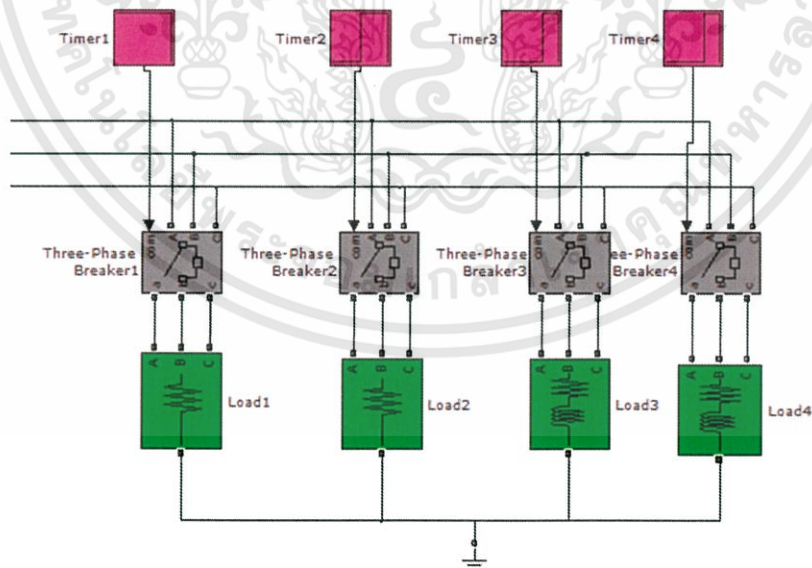


รูปที่ 3.8 วงจรจำลองทางคอมพิวเตอร์ตัวขดเซย

3.3.3 การจำลองโหลดไฟฟ้า

ตารางที่ 3.3 ค่าพารามิเตอร์ของโหลดไฟฟ้า 3 เฟส

parameter step	Nominal Voltage ph-ph (rms)	Nominal Frequency (Hz)	Apparent Power (VA)	Power Factor ($\cos \theta$)
Load 1	380	50	500	1
Load 2	380	50	500	1
Load 3	380	50	100	0.49
Load 4	380	50	100	0.49



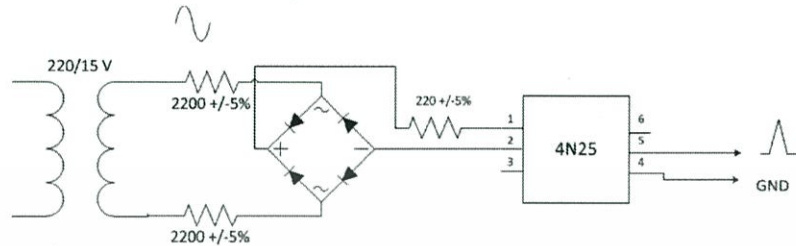
รูปที่ 3.9 จำลองทางคอมพิวเตอร์ของวงจรโหลด

เอกสารนี้เป็นเอกสารที่สงวนไว้สำหรับการใช้งานเพื่อการศึกษาเท่านั้น ไม่อนุญาตให้นำไปใช้ประโยชน์ด้านการค้า ไม่ว่าจะกรณีใดๆทั้งสิ้น อีกทั้งห้ามมิให้ดัดแปลงเนื้อหา และต้องอ้างอิงถึงเจ้าของเอกสารทุกครั้งที่มีการนำไปใช้

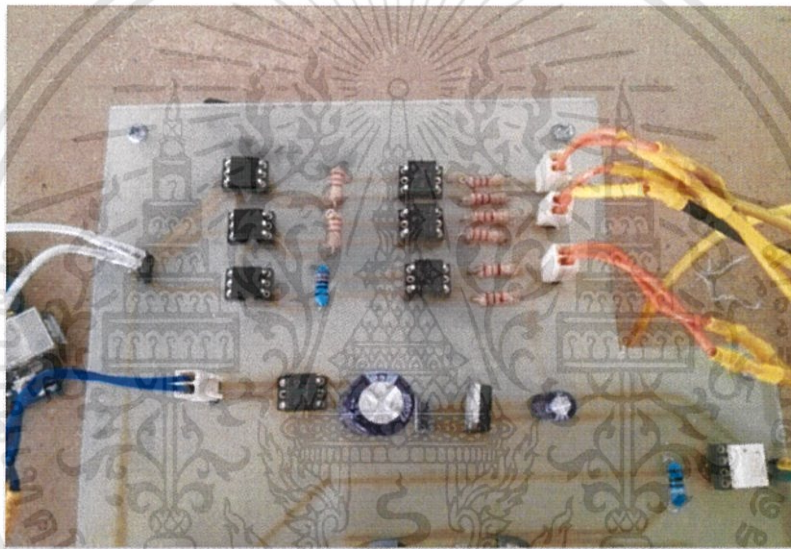
3.4 การออกแบบวงจรตัวชดเชยกำลังรีแอกทีฟแบบสามเฟส

3.4.1 การออกแบบวงจรตรวจจับผ่านศูนย์ (Zero crossing detector circuit)

เนื่องจากการควบคุมไตรแอกคอนโทรล เป็นแบบควบคุมเฟส (phase control) จำเป็นต้องมีจุดอ้างอิงเฟส จึงใช้วงจรตรวจจับผ่านศูนย์เพื่อตรวจจับเฟสอ้างอิง



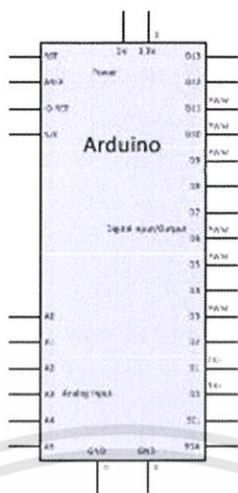
รูปที่ 3.10 รูป Schematic ของวงจรตรวจจับผ่านศูนย์ (Zero crossing)



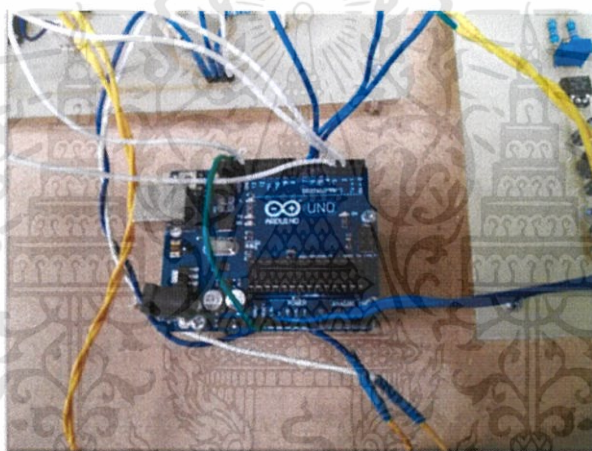
รูปที่ 3.11 วงจรตรวจจับผ่านศูนย์ (Zero crossing)

เอกสารนี้เป็นเอกสารที่สงวนไว้สำหรับการใช้งานเพื่อการศึกษาเท่านั้น ไม่อนุญาตให้นำไปใช้ประโยชน์ด้านการค้า ไม่ว่าจะกรณีใดๆทั้งสิ้น อีกทั้งห้ามมิให้ดัดแปลงเนื้อหา และต้องอ้างอิงถึงเจ้าของเอกสารทุกครั้งที่มีการนำไปใช้

3.4.2 วงจรไมโครคอนโทรลเลอร์



รูปที่ 3.12 Schematic ของวงจรไมโครคอนโทรลเลอร์

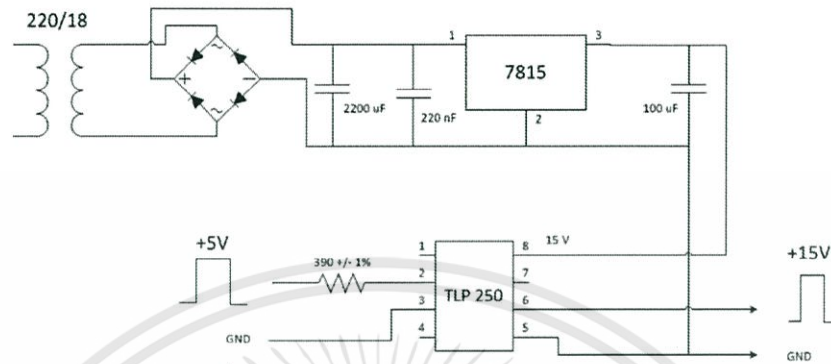


รูปที่ 3.13 วงจรไมโครคอนโทรลเลอร์

เอกสารนี้เป็นเอกสารที่สงวนไว้สำหรับการใช้งานเพื่อการศึกษาเท่านั้น ไม่อนุญาตให้นำไปใช้ประโยชน์ด้านการค้า ไม่ว่าจะกรณีใดๆทั้งสิ้น อีกทั้งห้ามมิให้ตัดแปลงเนื้อหา และต้องอ้างอิงถึงเจ้าของเอกสารทุกครั้งที่มีการนำไปใช้

3.4.3 การออกแบบวงจรขั้วเกต

มีหน้าที่ขยายสัญญาณที่ออกมาจากตัวไมโครคอนโทรลเลอร์เพื่อให้สามารถขั้วเกตที่ขาเกตของตัวไตรแอก โดยขยายสัญญาณจาก 0-5 V เป็น 0-15 V



รูปที่ 3.14 รูป Schematic ของวงจรขั้วเกต

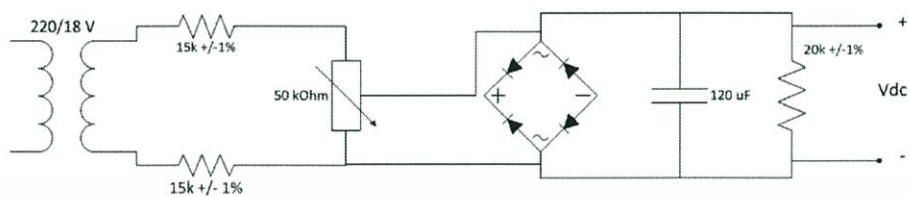


รูปที่ 3.15 วงจรขั้วเกต

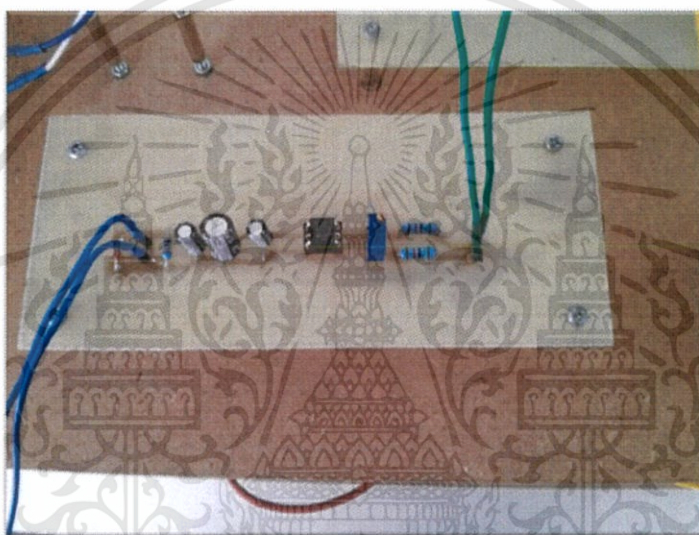
เอกสารนี้เป็นเอกสารที่สงวนไว้สำหรับการใช้งานเพื่อการศึกษาเท่านั้น ไม่อนุญาตให้นำไปใช้ประโยชน์ด้านการค้า ไม่ว่าจะกรณีใดๆทั้งสิ้น อีกทั้งห้ามมิให้ดัดแปลงเนื้อหา และต้องอ้างอิงถึงเจ้าของเอกสารทุกครั้งที่มีการนำไปใช้

3.4.4 วงจรตรวจจับแรงดันไฟฟ้า

ทำหน้าที่ตรวจจับแรงดันที่จุดโหลดมาเพื่อควบคุมกำลังรีแอคทีฟจากชุดชดเชยกำลังรีแอคทีฟ 3 เฟส



รูปที่ 3.16 รูป Schematic ของวงจรตรวจจับแรงดันไฟฟ้า

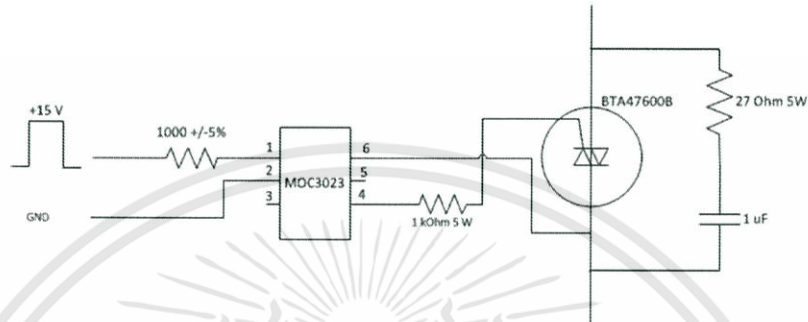


รูปที่ 3.17 วงจรตรวจจับแรงดัน

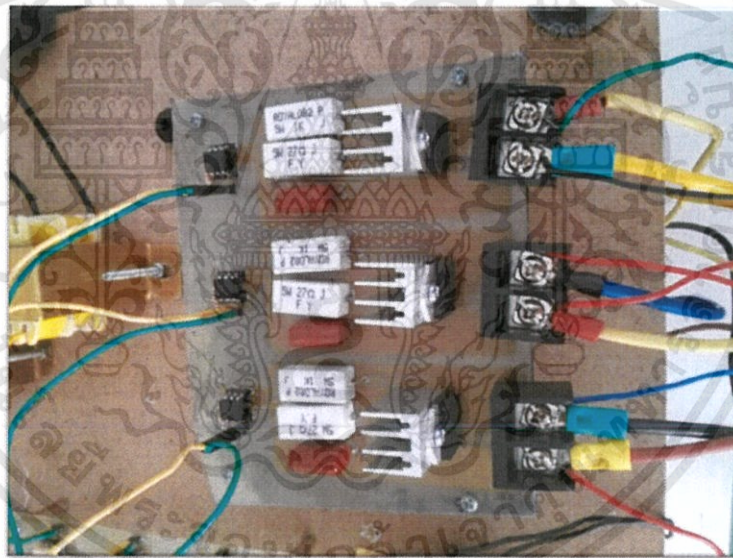
เอกสารนี้เป็นเอกสารที่สงวนไว้สำหรับการใช้งานเพื่อการศึกษาเท่านั้น ไม่อนุญาตให้นำไปใช้ประโยชน์ด้านการค้า ไม่ว่าจะกรณีใดๆทั้งสิ้น อีกทั้งห้ามมิให้ดัดแปลงเนื้อหา และต้องอ้างอิงถึงเจ้าของเอกสารทุกครั้งที่มีการนำไปใช้

3.4.5 การออกแบบวงจรไทรแอกและวงจรถับเบอร์

ในการวิจัยนี้ได้เลือกใช้วงจรถับเบอร์เป็นตัวสวิตช์ซึ่งกำลังโดยมีวงจรถับเบอร์แบบอาร์ซี
 สนับเบอร์ (RC Snubber) ซึ่งมีหน้าที่ป้องกันแรงดันไฟเกินชั่วขณะและแรงดันกระเพื่อมที่ตกคร่อม
 ไทรแอกขณะปิดสวิตช์ (Turn Off) ช่วยกำจัดกระแสสูงของไทรแอก จะทำให้ง่ายต่อการควบคุม
 กระแสที่ป้อนเข้าขาเกตในขณะเปิดสวิตช์ (Turn on)



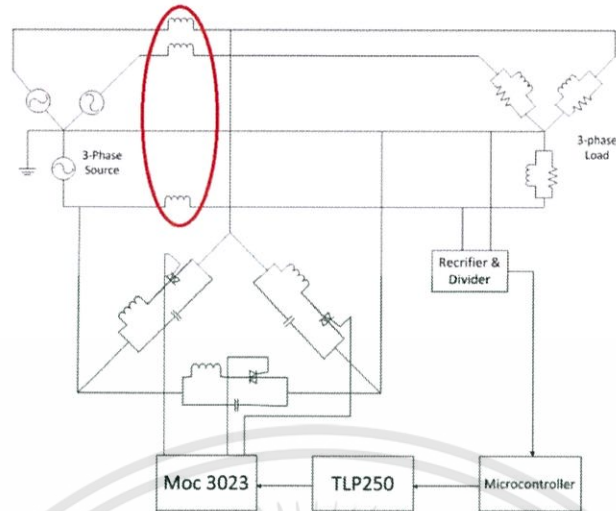
รูปที่ 3.18 รูป Schematic ของวงจรถับเบอร์และสับเบอร์



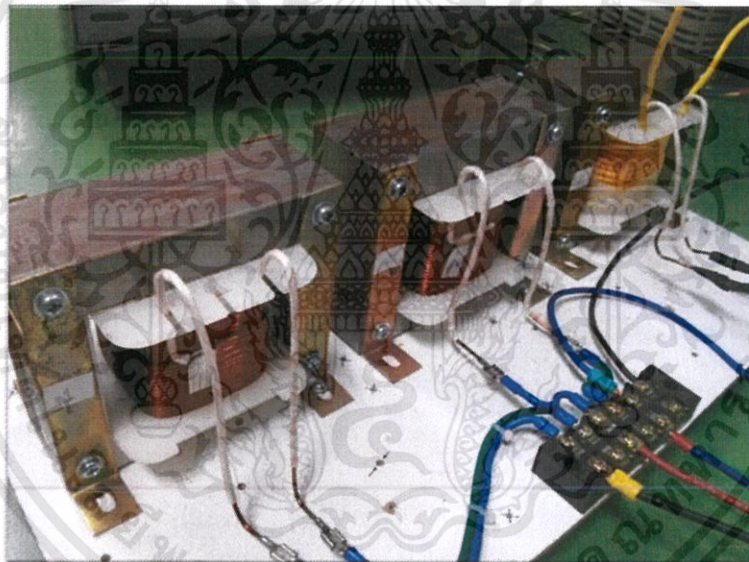
รูปที่ 3.19 วงจรถับเบอร์และสับเบอร์

เอกสารนี้เป็นเอกสารที่สงวนไว้สำหรับการใช้งานเพื่อการศึกษาเท่านั้น ไม่อนุญาตให้นำไปใช้ประโยชน์ด้านการค้า
 ไม่ว่าจะกรณีใดๆทั้งสิ้น อีกทั้งห้ามมิให้ดัดแปลงเนื้อหา และต้องอ้างอิงถึงเจ้าของเอกสารทุกครั้งที่มีการนำไปใช้

3.4.6 ออกแบบตัวเหนี่ยวนำจำลองค่าแอมพิแดนซ์ของสายส่ง



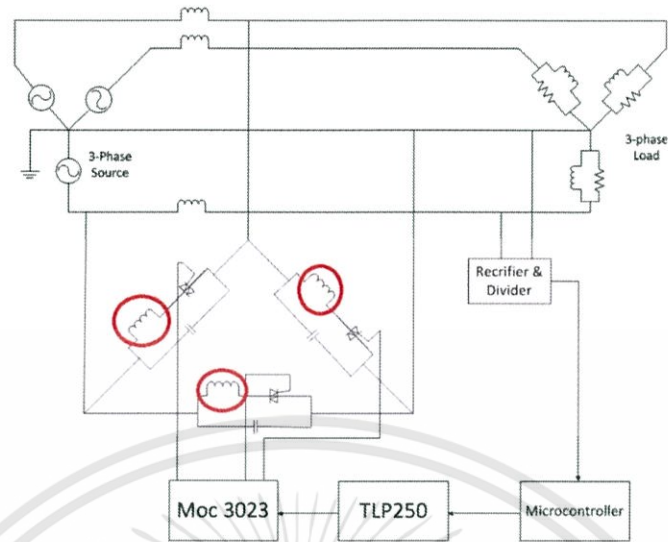
รูปที่ 3.20 รูป Schematic ของขดลวดจำลองตัวเหนี่ยวนำสายส่งในวงจรกำลัง



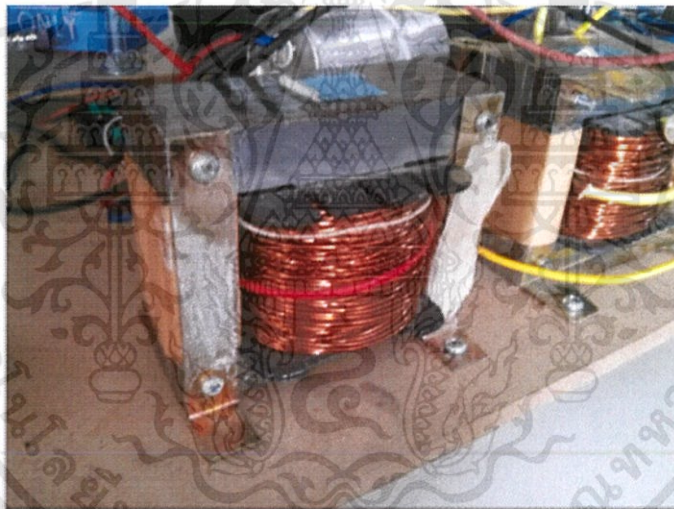
รูปที่ 3.21 ขดลวดจำลองตัวเหนี่ยวนำสายส่ง

เอกสารนี้เป็นเอกสารที่สงวนไว้สำหรับการใช้งานเพื่อการศึกษาเท่านั้น ไม่อนุญาตให้นำไปใช้ประโยชน์ด้านการค้า ไม่ว่าจะกรณีใดๆทั้งสิ้น อีกทั้งห้ามมิให้ดัดแปลงเนื้อหา และต้องอ้างอิงถึงเจ้าของเอกสารทุกครั้งที่มีการนำไปใช้

3.4.7 ขดลวดตัวเหนี่ยวนำของตัวชดเชย



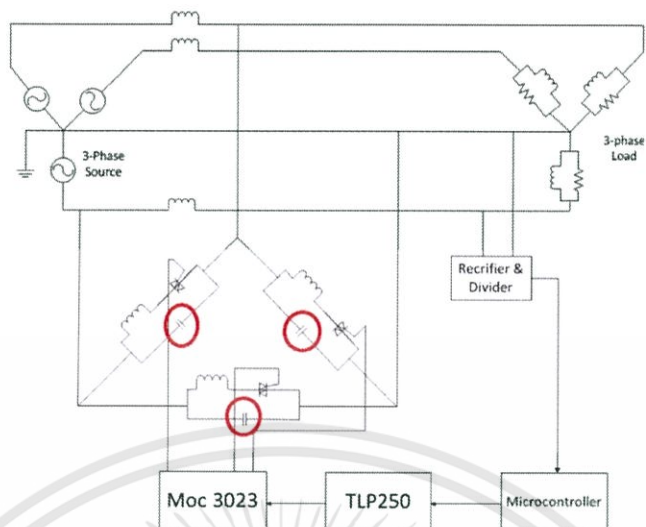
รูปที่ 3.22 รูป Schematic ขดลวดเหนี่ยวนำของตัวชดเชยในวงจรกำลัง



รูปที่ 3.23 ขดลวดตัวเหนี่ยวนำของตัวชดเชย

เอกสารนี้เป็นเอกสารที่สงวนไว้สำหรับการใช้งานเพื่อการศึกษาเท่านั้น ไม่อนุญาตให้นำไปใช้ประโยชน์ด้านการค้า ไม่ว่าจะกรณีใดๆทั้งสิ้น อีกทั้งห้ามมิให้ดัดแปลงเนื้อหา และต้องอ้างอิงถึงเจ้าของเอกสารทุกครั้งที่มีการนำไปใช้

3.4.8 ตัวเก็บประจุของตัวชดเชย



รูปที่ 3.24 รูป Schematic ตัวเก็บประจุของตัวชดเชยในวงจรกำลัง



รูปที่ 3.25 ตัวเก็บประจุของตัวชดเชยในวงจรกำลัง

เอกสารนี้เป็นเอกสารที่สงวนไว้สำหรับการใช้งานเพื่อการศึกษาเท่านั้น ไม่อนุญาตให้นำไปใช้ประโยชน์ด้านการค้า ไม่ว่าจะกรณีใดๆทั้งสิ้น อีกทั้งห้ามมิให้ตัดแปลงเนื้อหา และต้องอ้างอิงถึงเจ้าของเอกสารทุกครั้งที่มีการนำไปใช้

3.4.9 ออกแบบโหลดตัวต้านทานและตัวเหนี่ยวนำ



รูปที่ 3.26 โหลดสามเฟส

เอกสารนี้เป็นเอกสารที่สงวนไว้สำหรับการใช้งานเพื่อการศึกษาเท่านั้น ไม่อนุญาตให้นำไปใช้ประโยชน์ด้านการค้า ไม่ว่าจะกรณีใดๆทั้งสิ้น อีกทั้งห้ามมิให้ดัดแปลงเนื้อหา และต้องอ้างอิงถึงเจ้าของเอกสารทุกครั้งที่มีการนำไปใช้

บทที่ 4

ผลการจำลองทางคอมพิวเตอร์และผลการทดสอบเครื่องต้นแบบ

4.1 บทนำ

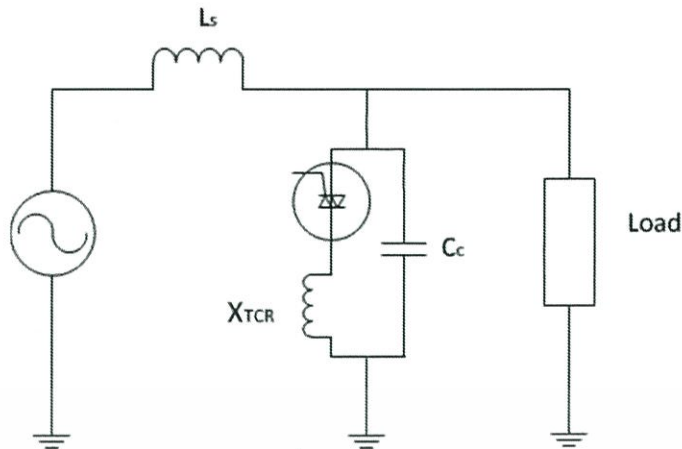
เนื้อหาในบทนี้นำเสนอผลการจำลองทางคอมพิวเตอร์โดยใช้โปรแกรม MATLAB/Simulink เพื่อศึกษาการควบคุมวงจรชุดชดเชยกำลังไฟฟ้รีแอกทีฟ การรักษาระดับแรงดันไฟฟ้ากระแสสลับ การทำงานของสวิตซ์ซิงค์ในชุดชดเชยกำลังไฟฟ้รีแอกทีฟ ให้เป็นไปตามหลักการที่ได้ตั้งไว้ โดยใน ส่วนของการทดสอบเครื่องต้นแบบ จะนำผลการทดสอบนั้นมาทำการเปรียบเทียบกับผลการจำลอง ทางคอมพิวเตอร์

นอกจากนี้จะมีการศึกษาเพิ่มเติมของ ผลกระทบการเปลี่ยนแปลงมุมจุดชนวน ที่อุปกรณ์ สวิตซ์ซิงค์ ตัวเหนี่ยวนำในชุดชดเชยกำลังไฟฟ้รีแอกทีฟ และกระแสแหล่งจ่าย โดยผลการทดสอบ เครื่องต้นแบบจะนำเสนอแบ่งออกเป็นขั้นตอน เริ่มต้นจากการทดสอบในระดับไฟฟ้า 1 เฟส แล้วจึง สร้างเครื่องต้นแบบสามเฟส และทำการทดสอบในลำดับต่อไป

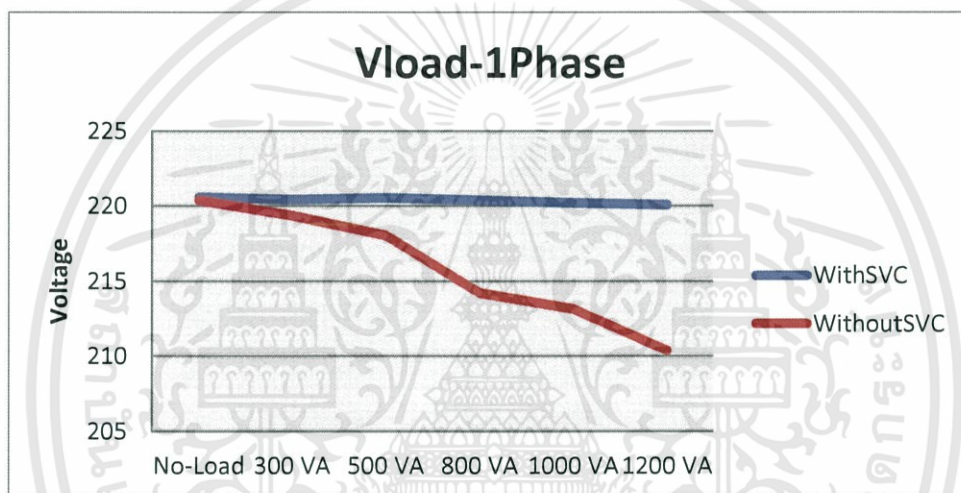
4.2 การทดสอบเครื่องต้นแบบชุดชดเชยกำลังไฟฟ้รีแอกทีฟที่ระดับไฟฟ้า 1 เฟส

การทดสอบนี้เพื่อศึกษาประมาณค่าขอบเขตของการชดเชย ของชุดชดเชยกำลังไฟฟ้รีแอกทีฟ โดยชุดชดเชยจะประกอบด้วย ตัวเก็บประจุพิกัดแรงดัน 450 volt 60 μ F ต่อขนานกับ ตัวเหนี่ยวนำขนาด 170 mH พร้อมอุปกรณ์สวิตซ์ซิงค์ไตรแอก (triac) และตัวเหนี่ยวนำจำลองอิมพีแดนซ์ แหล่งจ่าย และอินพีแดนซ์ในสายส่งขนาด 4.4mH (%Z = 10%) วงจรแสดงในรูปที่ 4.1

โดยการทดสอบจะเริ่มต้นจากการศึกษาการเปลี่ยนแปลงของแรงดันที่จุดโหลดเมื่อมีการเปลี่ยนแปลงของโหลดเพื่อให้ได้พิกัดของโหลดที่จะนำมาทำการชดเชย โดยลำดับแรกจะเพิ่มจำนวน โหลดไฟเสมือน โหลด R ในเพิ่มการดิงกระแส จากนั้นจึงทดสอบด้วยการเพิ่ม โหลด R-L ด้วยการ เพิ่ม บัลลาสต์ต่อขนานไปที่ ณ จุดโหลด จากขั้นตอนดังกล่าวทำให้สามารถเลือกพิกัดโหลด ได้ดังนี้ คือ โหลดไฟ (100W) จำนวน 10 โหลดและบัลลาสต์ ต่อขนาน 2 ตัว จากนั้นจึงนำชุดตัวชดเชย กำลังไฟฟ้รีแอกทีฟเข้ามาทดสอบ กับโหลดว่าสามารถชดเชยได้หรือไม่ โดยผลการทดสอบ เครื่องต้นแบบชุดชดเชยกำลังไฟฟ้รีแอกทีฟหนึ่งเฟสจะนำค่าแรงดันไฟฟ้าที่โหลด ก่อนมีชุดชดเชยกับ หลังการมีชุดชดเชยมาทำการเปรียบเทียบกัน เป็นไปดังรูปที่ 4.1



รูปที่ 4.1 รูปวงจร Schematic ของเครื่องต้นแบบชุดชดเชยกำลังไฟฟ้ารีแอกทีฟหนึ่งเฟส

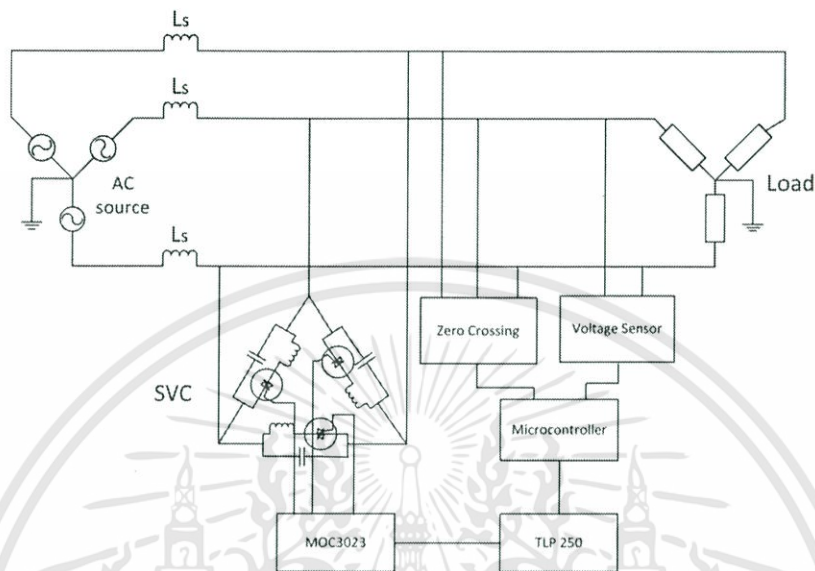


รูปที่ 4.2 ผลการทดสอบเครื่องต้นแบบชุดชดเชยกำลังไฟฟ้ารีแอกทีฟ

จากการทดสอบข้างต้นนั้นพบว่าเครื่องต้นแบบชุดชดเชยหนึ่งเฟสสามารถชดเชยกำลังไฟฟ้ารีแอกทีฟได้หรือรักษาแรงดันที่จุดโหลด ดังนั้นจึงนำพิกัดโหลดดังกล่าว และอุปกรณ์ที่ผ่านการทดสอบ เพื่อเริ่มต้นสร้างเครื่องต้นแบบสามเฟส

4.3 ผลการทดลองตัวชดเชยกำลังไฟฟ้ารีแอกทีฟแบบสามเฟส

การทดสอบเครื่องต้นแบบชดเชยกำลังไฟฟ้ารีแอกทีฟสามเฟส นั้น จะทำการต่อชดเชยเป็นลักษณะ Delta และโหลดเป็นลักษณะ Star โดยค่าพารามิเตอร์ต่างๆจะแสดงในหัวข้อ 4.2 และมีวงจรดังรูปที่ 4.3



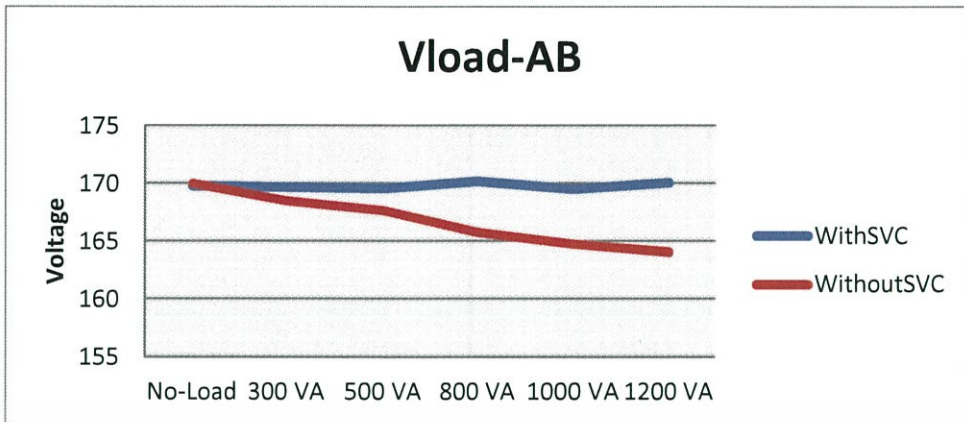
รูปที่ 4.3 รูป Schematic วงจรเครื่องต้นแบบชดเชยกำลังไฟฟ้ารีแอกทีฟสามเฟส

ในหัวข้อนี้จะแสดงผลการทดลองตัวชดเชยกำลังไฟฟ้ารีแอกทีฟแบบสามเฟส ในการชดเชยแรงดันที่โหลด และปรับปรุงค่าตัวประกอบกำลังที่แหล่งจ่าย เมื่อมีการเพิ่มขนาดโหลด ที่แรงดันต่างๆ

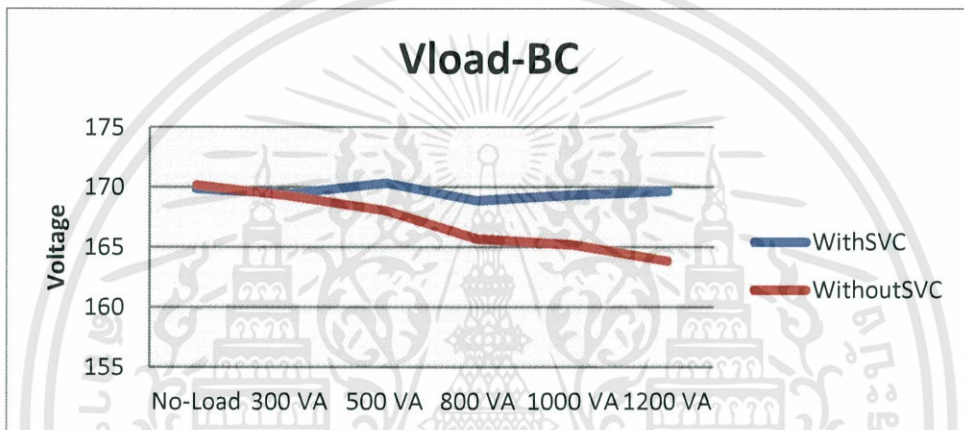
4.3.1 ผลการทดลองตัวชดเชยกำลังไฟฟ้ารีแอกทีฟแบบสามเฟส ที่แรงดัน 170 V

ตารางที่ 4.1 ตารางแสดงผลการรักษาระงัดและค่าตัวประกอบกำลัง ที่แรงดัน 170 V

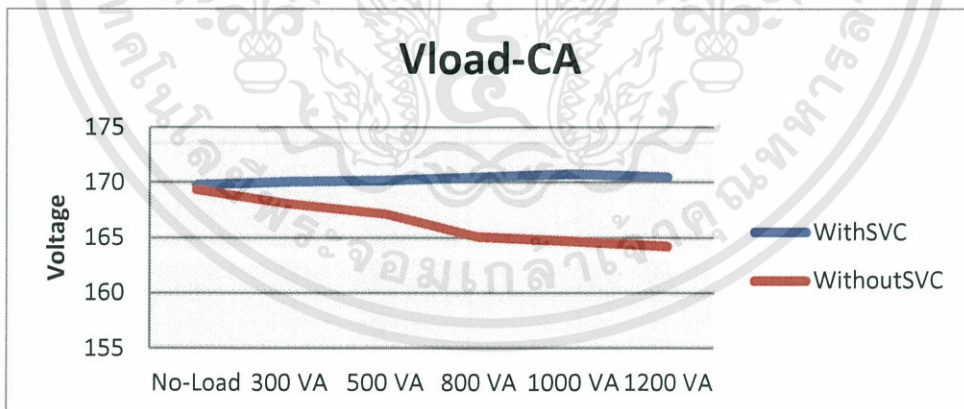
ขนาดโหลด	No-Load	300 VA	500 VA	800 VA	1000 VA	1200 VA
Vs(V)	97.9	97.8	97.9	97.3	97.2	97.9
Is(A)	0.66	1.01	1.48	2.01	2.52	3.06
P(W)	0.03	0.09	0.13	0.19	0.24	0.29
S(VA)	0.07	0.1	0.14	0.2	0.24	0.3
Q(VAR)	0.07	0.05	0.05	0.05	0.05	0.05
P.F.	0.53	0.87	0.94	0.96	0.98	0.98
D.P.F.	0.98	1	0.99	0.99	1	1
THDi(%)	82.5	50.6	32	23.5	18	14.6



(ก)



(ข)



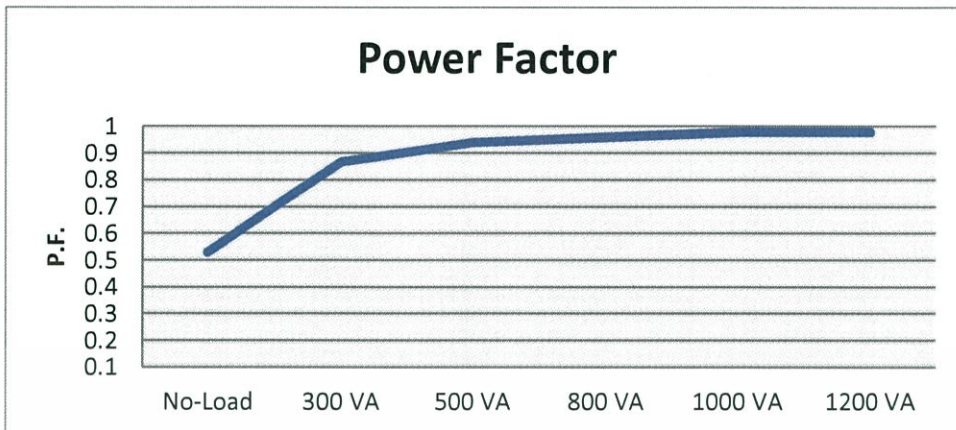
(ค)

รูปที่ 4.4 กราฟผลการทดลองการชดเชยแรงดันที่โหลด ที่แรงดัน 170 V

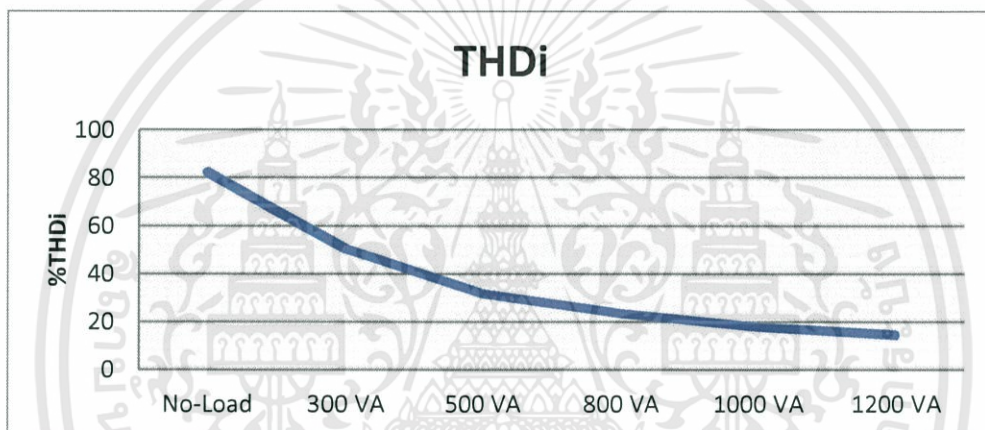
(ก) เฟส AB, (ข) เฟส BC, (ค) เฟส CA

จากการทดลองเครื่องชดเชยกำลังรีแอกทีฟสามเฟสจะสามารถเห็นได้ว่า เครื่องชดเชยกำลังรีแอกทีฟสามเฟสสามารถรักษาแรงดันที่จุดโหลดได้จริงที่แรงดัน 170 V

เอกสารนี้เป็นเอกสารที่สงวนไว้สำหรับการใช้งานเพื่อการศึกษาเท่านั้น ไม่อนุญาตให้นำไปใช้ประโยชน์ด้านการค้า ไม่ว่ากรณีใดๆทั้งสิ้น อีกทั้งห้ามมิให้ดัดแปลงเนื้อหา และต้องอ้างอิงถึงเจ้าของเอกสารทุกครั้งที่มีการนำไปใช้



รูปที่ 4.5 กราฟค่าตัวประกอบกำลัง ที่แรงดัน 170 V

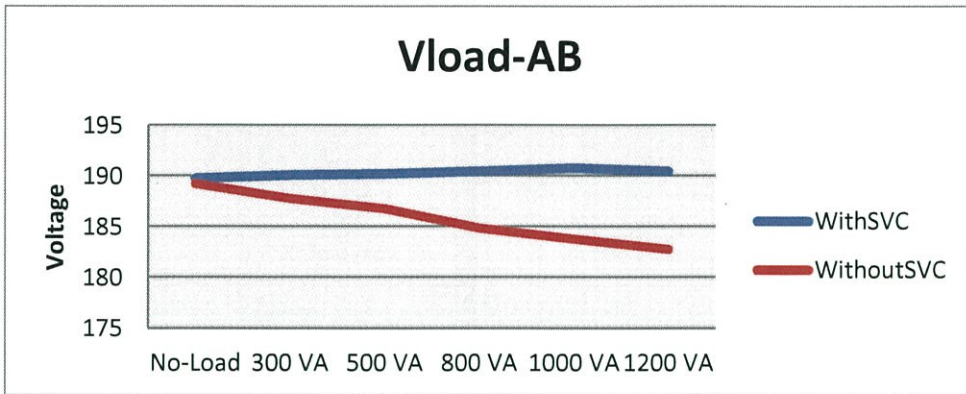


รูปที่ 4.6 กราฟเปอร์เซ็นต์ความผิดเพี้ยนของกระแส ที่แรงดัน 170 V

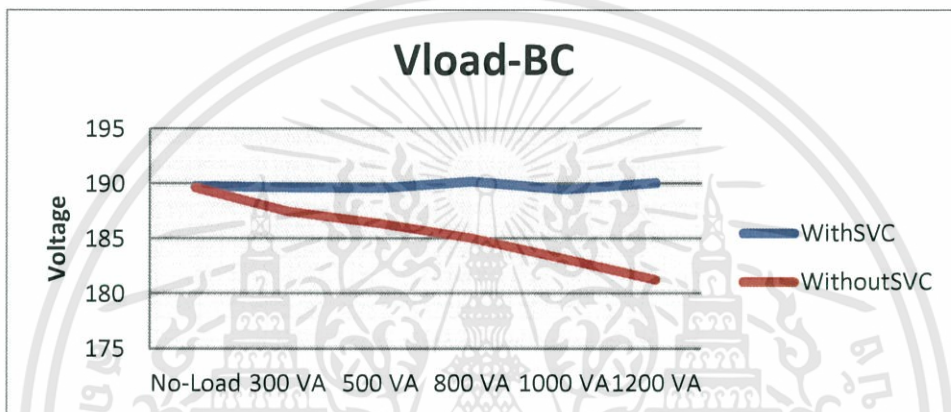
4.3.2 ผลการทดลองตัวชดเชยกำลังไฟฟ้ารีแอกทีฟแบบสามเฟส ที่แรงดัน 190 V

ตารางที่ 4.2 ตารางแสดงผลการรักษาแรงดันและค่าตัวประกอบกำลัง ที่แรงดัน 190 V

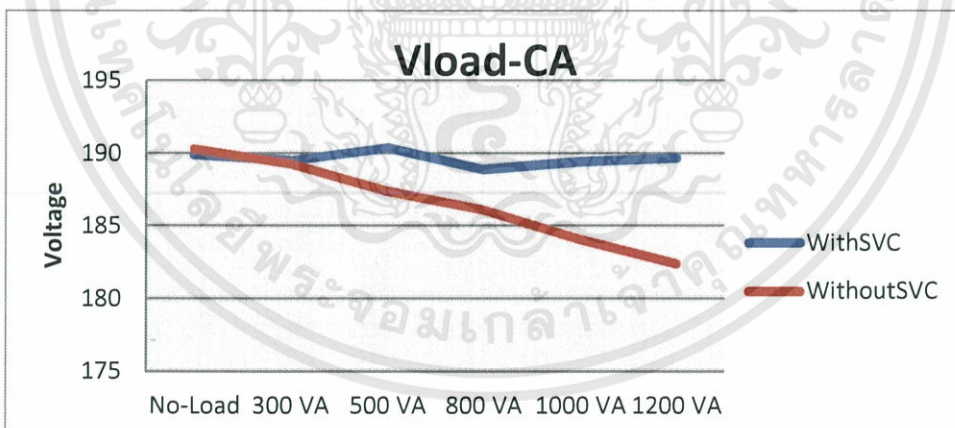
ขนาดโหลด	No-Load	300 VA	500 VA	800 VA	1000 VA	1200 VA
Vs(V)	109	109.2	109.2	108.7	108.6	108.3
Is(A)	0.73	1.02	1.56	2.1	2.7	3.23
P(W)	0.04	0.09	0.15	0.21	0.28	0.34
S(VA)	0.08	0.11	0.17	0.23	0.29	0.35
Q(VAR)	0.07	0.06	0.08	0.09	0.09	0.09
P.F.	0.52	0.84	0.89	0.93	0.95	0.97
D.P.F.	0.97	0.94	0.95	0.95	0.97	0.98
THDi(%)	84	51.2	30.8	22.5	17.2	14.5
THDv(%)	1	1.1	1.2	1.1	1.1	1.2



(ก)



(ข)



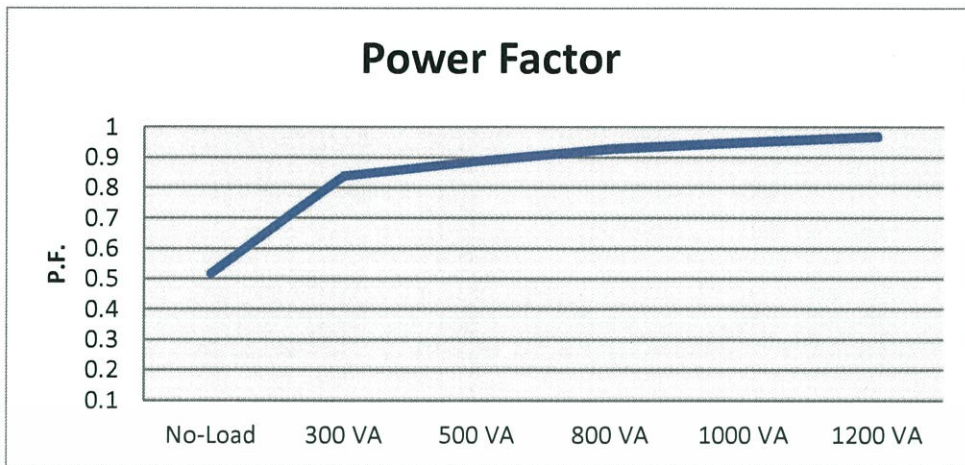
(ค)

รูปที่ 4.7 กราฟผลการทดลองการชดเชยแรงดันที่โหลด ที่แรงดัน 190 V

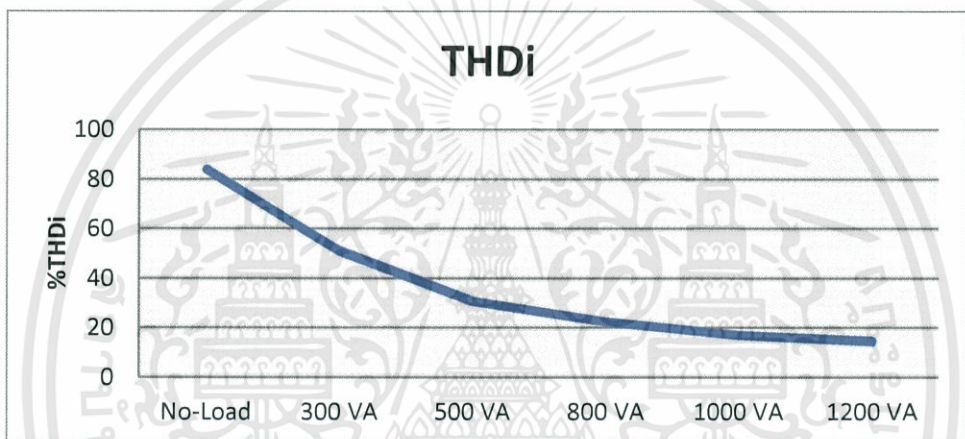
(ก) เฟส AB, (ข) เฟส BC, (ค) เฟส CA

จากการทดลองเครื่องชดเชยกำลังรีแอกทีฟสามเฟสจะสามารถเห็นได้ว่า เครื่องชดเชยกำลังรีแอกทีฟสามเฟสสามารถรักษาแรงดันที่จุดโหลดได้จริงที่แรงดัน 190 V

เอกสารนี้เป็นเอกสารที่สงวนไว้สำหรับการใช้งานเพื่อการศึกษาเท่านั้น ไม่อนุญาตให้นำไปใช้ประโยชน์ด้านการค้า ไม่ว่าจะกรณีใดๆทั้งสิ้น อีกทั้งห้ามมิให้ดัดแปลงเนื้อหา และต้องอ้างอิงถึงเจ้าของเอกสารทุกครั้งที่มีการนำไปใช้



รูปที่ 4.8 กราฟค่าตัวประกอบกำลัง ที่แรงดัน 190 V



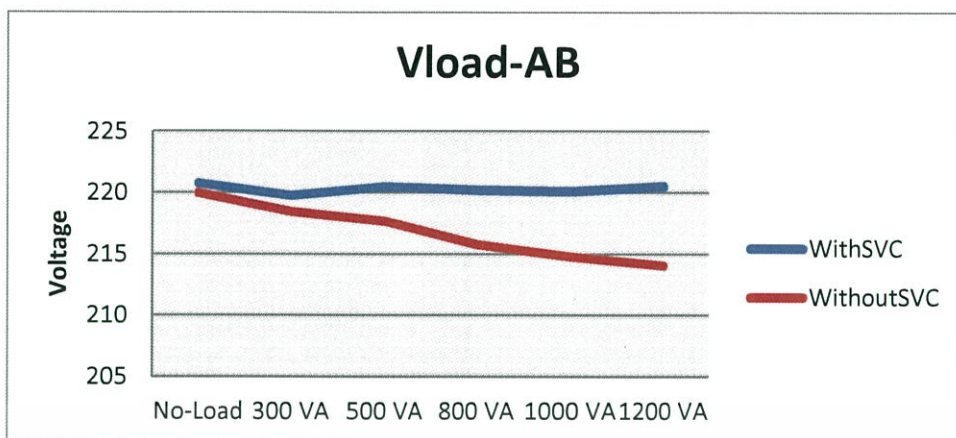
รูปที่ 4.9 กราฟเปอร์เซ็นต์ความผิดเพี้ยนของกระแส ที่แรงดัน 190 V

4.3.3 ผลการทดลองตัวชดเชยกำลังไฟฟ้ารีแอกทีฟแบบสามเฟส ที่แรงดัน 220 V

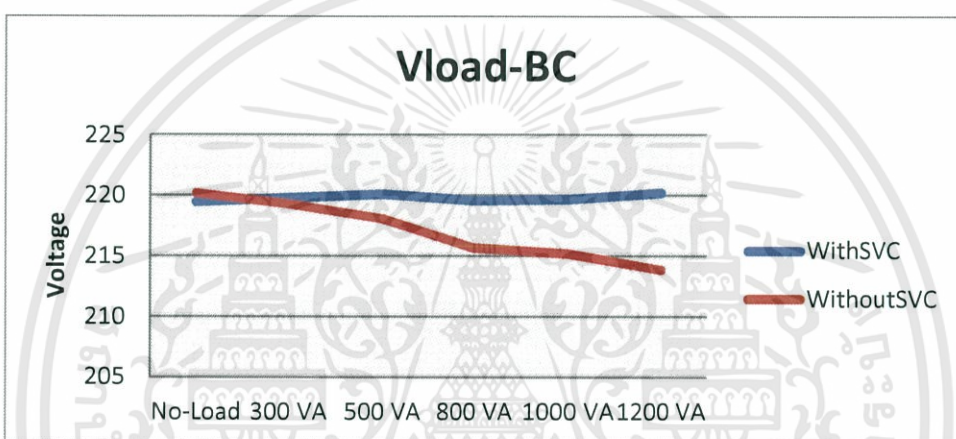
ตารางที่ 4.3 ตารางแสดงผลการรักษาแรงดันและค่าตัวประกอบกำลัง ที่แรงดัน 220 V

ขนาดโหลด	No-Load	300 VA	500 VA	800 VA	1000 VA	1200 VA
Vs(V)	119.9	120.9	121	120.6	120.5	121.7
Is(A)	0.76	0.95	1.54	2.24	2.77	3.39
P(W)	0.01	0.09	0.16	0.24	0.32	0.4
S(VA)	0.1	0.13	0.19	0.26	0.34	0.41
Q(VAR)	0.09	0.1	0.1	0.1	0.11	0.1
P.F.	0.1	0.67	0.86	0.93	0.95	0.97
D.P.F.	0.22	0.89	0.94	0.95	0.97	0.97
THDi(%)	65.9	46	30	20.4	16.8	13.3

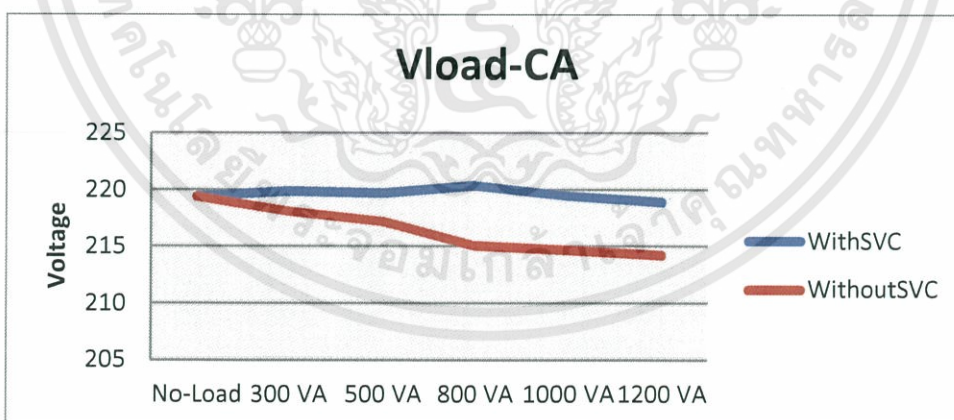
เอกสารนี้เป็นเอกสารที่สงวนไว้สำหรับการใช้งานเพื่อการศึกษาเท่านั้น ไม่อนุญาตให้นำไปใช้ประโยชน์ด้านการค้า ไม่ว่าจะกรณีใดๆทั้งสิ้น อีกทั้งห้ามมิให้ดัดแปลงเนื้อหา และต้องอ้างอิงถึงเจ้าของเอกสารทุกครั้งที่มีการนำไปใช้



(ก)



(ข)



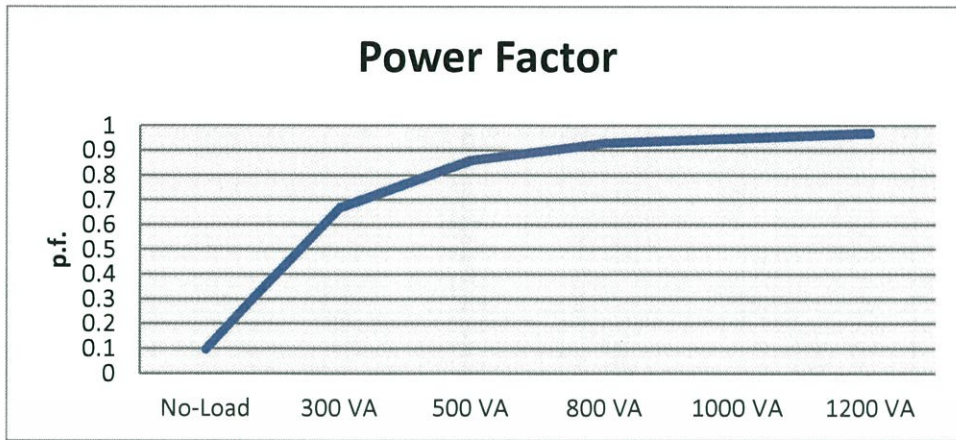
(ค)

รูปที่ 4.10 กราฟผลการทดลองการชดเชยแรงดันที่โหลด ที่แรงดัน 220 V

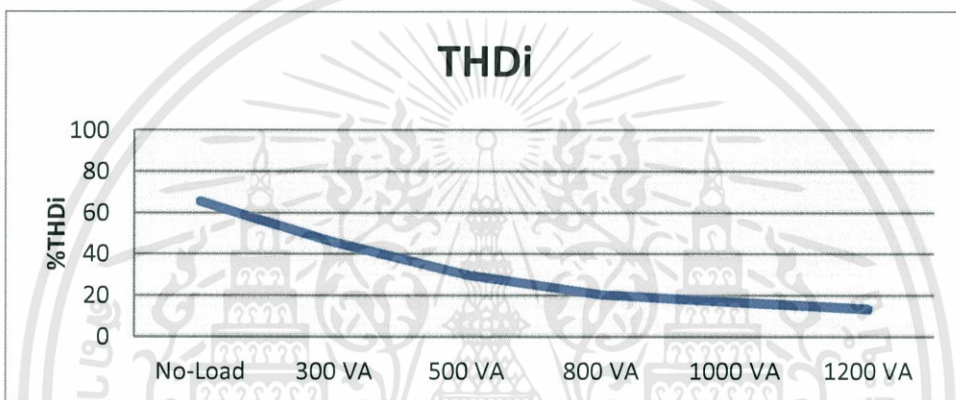
(ก) เฟส AB, (ข) เฟส BC, (ค) เฟส CA

จากการทดลองเครื่องชดเชยกำลังรีแอกทีฟสามเฟสจะสามารเห็นได้ว่า เครื่องชดเชยกำลังรีแอกทีฟสามเฟสสามารถรักษาแรงดันที่จุดโหลดได้จริงที่แรงดัน 220 V

เอกสารนี้เป็นเอกสารที่สงวนไว้สำหรับการใช้งานเพื่อการศึกษาเท่านั้น ไม่อนุญาตให้นำไปใช้ประโยชน์ด้านการค้า ไม่ว่าจะกรณีใดๆทั้งสิ้น อีกทั้งห้ามมิให้ดัดแปลงเนื้อหา และต้องอ้างอิงถึงเจ้าของเอกสารทุกครั้งที่มีการนำไปใช้



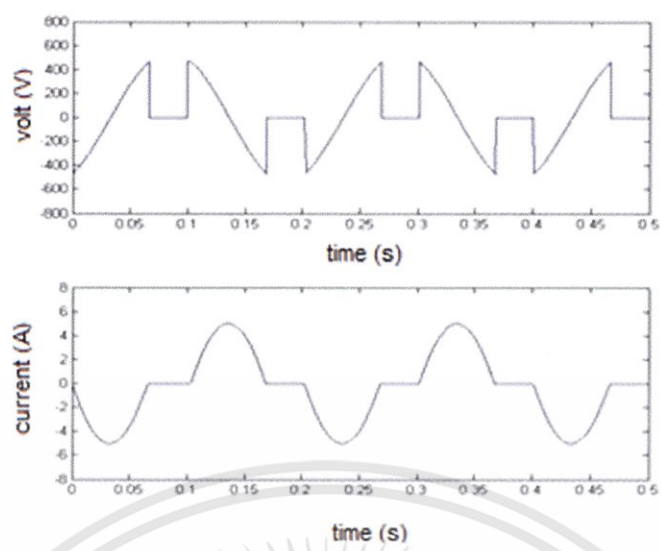
รูปที่ 4.11 กราฟค่าตัวประกอบกำลัง ที่แรงดัน 220 V



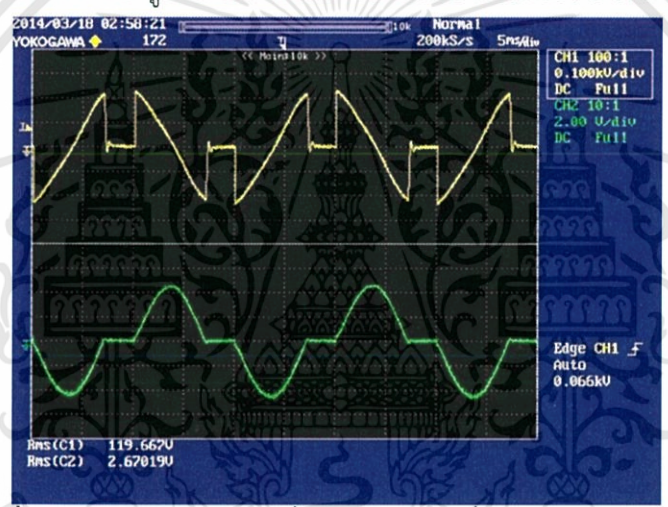
รูปที่ 4.12 กราฟเปอร์เซ็นต์ความผิดเพี้ยนของกระแส ที่แรงดัน 220 V

4.4 การทดสอบผลกระทบการเปลี่ยนแปลงมุมขวน

เพื่อศึกษาผลกระทบการเปลี่ยนแปลงมุมจุดขวนที่ส่งผลให้รูปคลื่นของแรงดันตกคร่อม อุปกรณ์สวิตช์ รูปคลื่นแรงดันตกคร่อมตัวเหนี่ยวนำ รูปคลื่นกระแสที่ไหลผ่านตัวเหนี่ยวนำ ในชุดชดเชยมีการเปลี่ยนแปลงเป็นไปตามลักษณะแบบเดียวกับผลการจำลองทางคอมพิวเตอร์ โดยผลการทดสอบจะถูกนำมาเปรียบเทียบดังในรูปต่อไปนี้

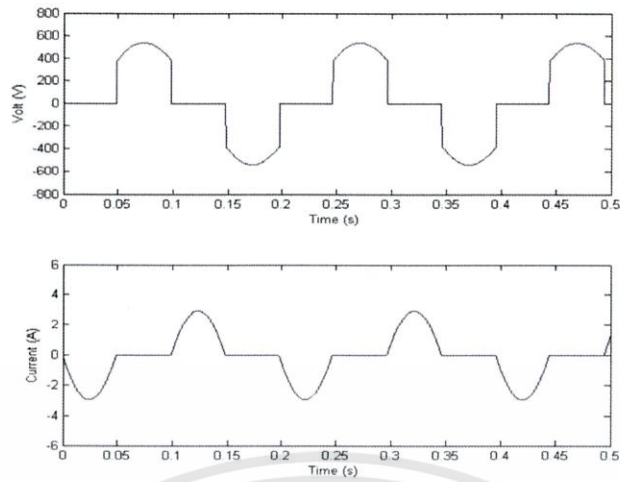


รูปที่ 4.13 ผลการจำลองรูปคลื่นแรงดันและกระแสของตัวเหนี่ยวนำเฟส BC $\alpha=120^\circ$

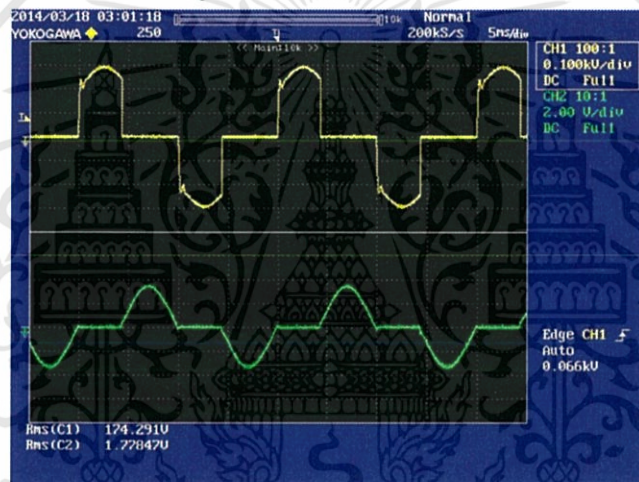


รูปที่ 4.14 ผลการทดสอบเครื่องต้นแบบรูปคลื่นเปรียบเทียบระหว่างแรงดันและกระแสของตัวเหนี่ยวนำเฟส BC $\alpha = 120^\circ$

จากรูปที่ 4.4 และ 4.5 จะได้ว่าผลการจำลองและผลการทดสอบเครื่องต้นแบบที่มุมจุดชนวน 120° มีความใกล้เคียงกัน

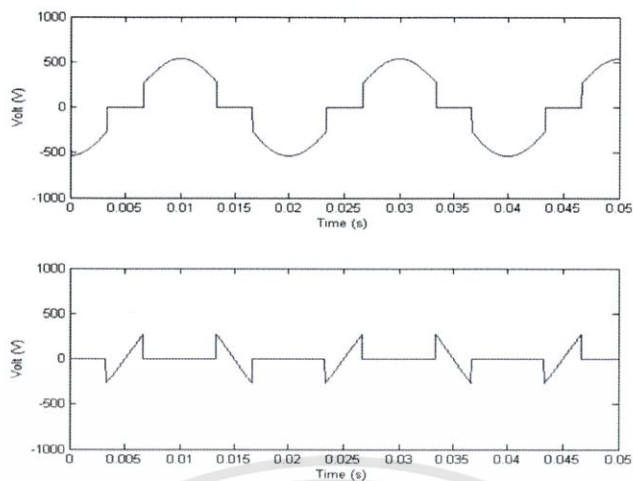


รูปที่ 4.15 ผลการจำลองรูปคลื่นเปรียบเทียบระหว่างแรงดันที่ไดรแอกและรูปคลื่นกระแสที่ตัวเหนี่ยวนำเฟส BC $\alpha=135^\circ$

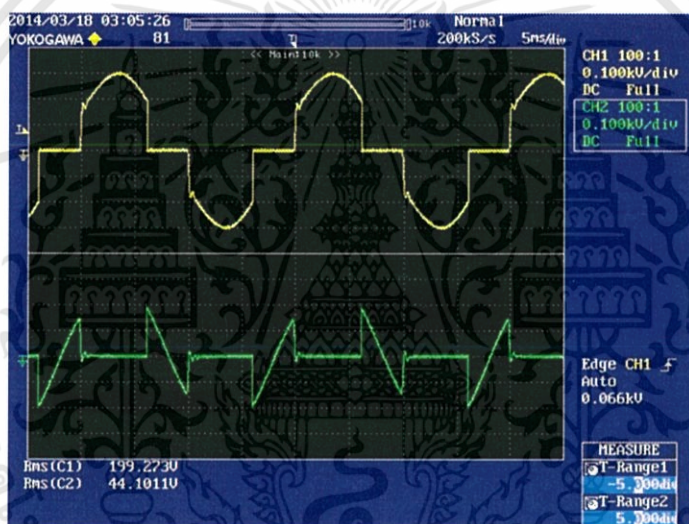


รูปที่ 4.16 ผลการทดสอบเครื่องต้นแบบรูปคลื่นเปรียบเทียบระหว่างแรงดันที่ไดรแอกและรูปคลื่นกระแสที่ตัวเหนี่ยวนำเฟส BC $\alpha=135^\circ$

จากรูปที่ 4.6 และ 4.7 จะได้ว่าผลการจำลองกับผลการทดสอบเครื่องต้นแบบที่มีมุมจุดชนวน 135° มีความใกล้เคียงกัน



รูปที่ 4.17 ผลการจำลองรูปคลื่นเปรียบเทียบระหว่าง
แรงดันที่ไทรแอก และแรงดันที่ตัวเหนี่ยวนำเฟส BC $\alpha = 150^\circ$



รูปที่ 4.18 ผลการทดสอบเครื่องต้นแบบรูปคลื่นเปรียบเทียบระหว่าง
แรงดันที่ไทรแอก และแรงดันที่ตัวเหนี่ยวนำเฟส BC $\alpha=150^\circ$

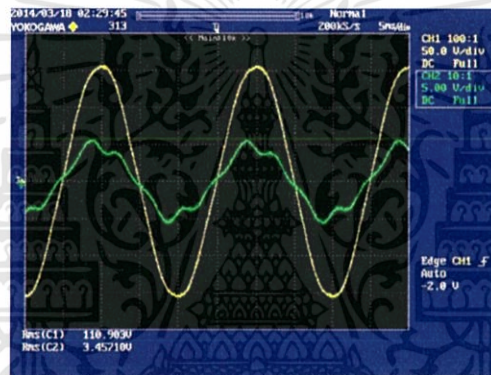
จากรูปที่ 4.8 และ 4.9 จะเห็นว่าผลการจำลองกับผลการทดสอบเครื่องต้นแบบที่มุม
จุดชนวน 135° มีความใกล้เคียงกัน

4.5 การศึกษาค่าตัวประกอบกำลังของแหล่งจ่าย

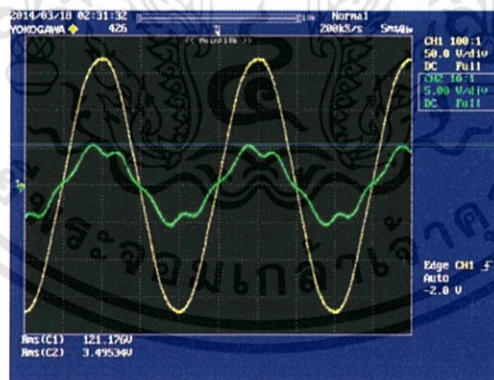
โดยการศึกษาจะทำการจับรูปคลื่นแรงดันเทียบกับรูปคลื่นกระแสของแหล่งจ่าย เพื่อหาค่าตัวประกอบกำลังที่แหล่งจ่าย เมื่อได้รับผลจากการต่อตัวขดเซย์ที่มีมุมจุดชนวนต่างๆ



(ก)



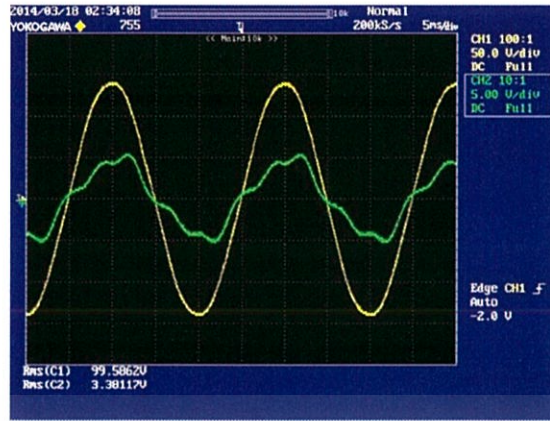
(ข)



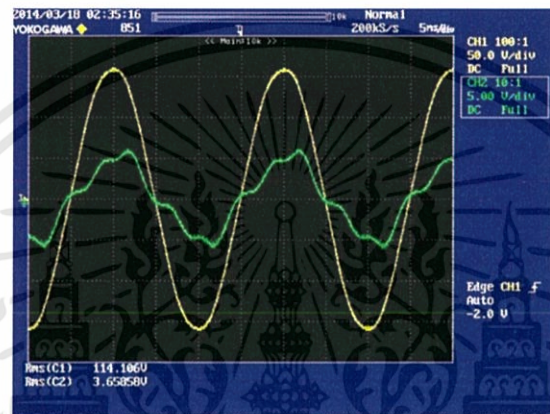
(ค)

รูปที่ 4.19 รูปเปรียบเทียบรูปคลื่นของแรงดันกับกระแสที่แหล่งจ่าย ที่ค่าแรงดันพิกัด 170 V

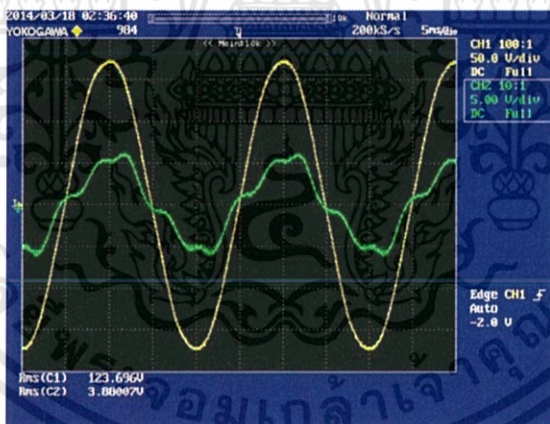
(ก) เฟส a (ข) เฟส b (ค) เฟส c



(ก)



(ข)

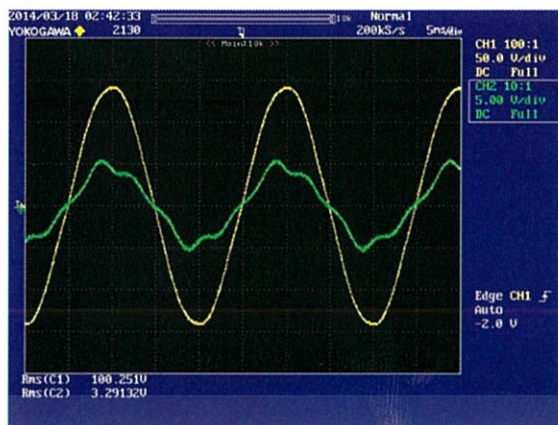


(ค)

รูปที่ 4.20 รูปเปรียบเทียบรูปคลื่นของแรงดันกับกระแสที่แหล่งจ่าย ที่ค่าแรงดันพิกัด 190 V

(ก) เฟส a (ข) เฟส b (ค) เฟส c

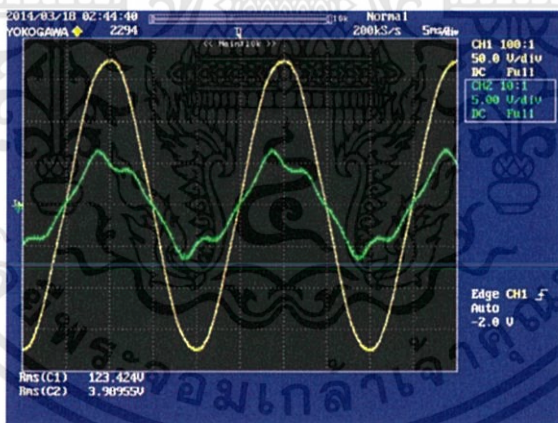
เอกสารนี้เป็นเอกสารที่สงวนไว้สำหรับการใช้งานเพื่อการศึกษาเท่านั้น ไม่อนุญาตให้นำไปใช้ประโยชน์ด้านการค้า ไม่ว่าจะกรณีใดๆทั้งสิ้น อีกทั้งห้ามมิให้ดัดแปลงเนื้อหา และต้องอ้างอิงถึงเจ้าของเอกสารทุกครั้งที่มีการนำไปใช้



(ก)



(ข)



(ค)

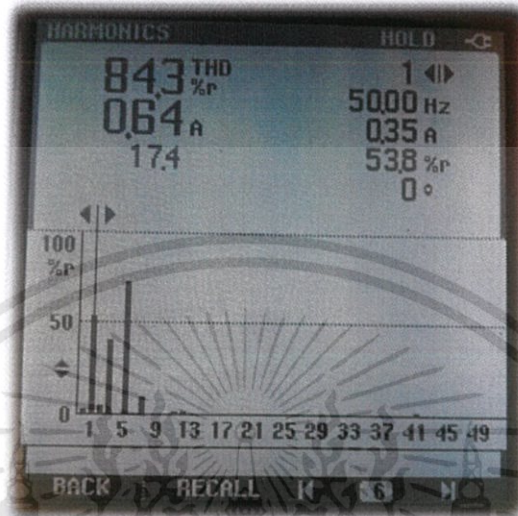
รูปที่ 4.21 รูปเปรียบเทียบรูปคลื่นของแรงดันกับกระแสที่แหล่งจ่าย ที่ค่าแรงดันพิกัด 220 V

(ก) เฟส a (ข) เฟส b (ค) เฟส c

เอกสารนี้เป็นเอกสารที่สงวนไว้สำหรับการใช้งานเพื่อการศึกษาเท่านั้น ไม่อนุญาตให้นำไปใช้ประโยชน์ด้านการค้า ไม่ว่าจะกรณีใดๆทั้งสิ้น อีกทั้งห้ามมิให้ดัดแปลงเนื้อหา และต้องอ้างอิงถึงเจ้าของเอกสารทุกครั้งที่มีการนำไปใช้

4.6 การศึกษาค่าฮาร์มอนิกส์

โดยทำการวัดค่าฮาร์มอนิกส์ลำดับต่างๆที่ขั้วของโหลดออกมาในรูปแบบของสเปกตรัม ซึ่งในการศึกษาจะทำการปรับมุมจุดชนวน และปริมาณของโหลดค่าต่างๆ เพื่อศึกษาปริมาณฮาร์มอนิกส์ที่เกิดจากการสวิตซ์ชิ่งของตัวชดเชย

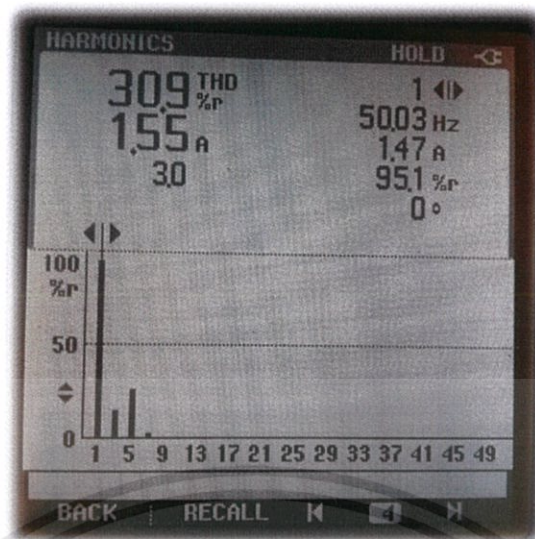


รูปที่ 4.22 ค่าฮาร์มอนิกส์ที่แรงดัน 190 V และที่ No-load



รูปที่ 4.23 ค่าฮาร์มอนิกส์ที่แรงดัน 190 V และที่ขนาดโหลด 300 VA

เอกสารนี้เป็นเอกสารที่สงวนไว้สำหรับการใช้งานเพื่อการศึกษาเท่านั้น ไม่อนุญาตให้นำไปใช้ประโยชน์ด้านการค้า ไม่ว่าจะกรณีใดๆทั้งสิ้น อีกทั้งห้ามมิให้ดัดแปลงเนื้อหา และต้องอ้างอิงถึงเจ้าของเอกสารทุกครั้งที่มีการนำไปใช้

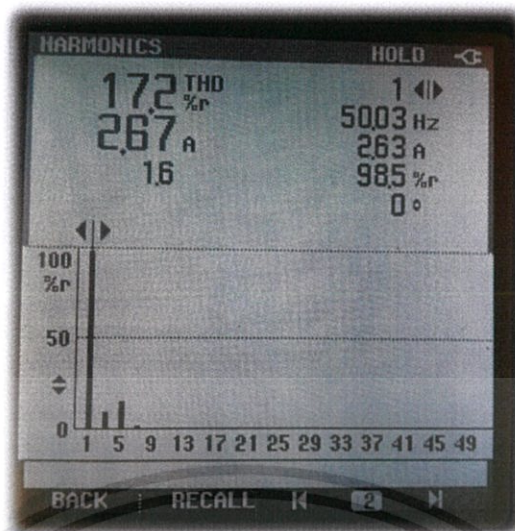


รูปที่ 4.24 ค่าฮาร์มอนิกส์ที่แรงดัน 190 V และที่โหลด 500 VA



รูปที่ 4.25 ค่าฮาร์มอนิกส์ที่แรงดัน 190 V และที่โหลด 800 VA

เอกสารนี้เป็นเอกสารที่สงวนไว้สำหรับการใช้งานเพื่อการศึกษาเท่านั้น ไม่อนุญาตให้นำไปใช้ประโยชน์ด้านการค้า ไม่ว่าจะกรณีใดๆทั้งสิ้น อีกทั้งห้ามมิให้ดัดแปลงเนื้อหา และต้องอ้างอิงถึงเจ้าของเอกสารทุกครั้งที่มีการนำไปใช้



รูปที่ 4.26 ค่าฮาร์โมนิกส์ที่แรงดัน 190 V และที่โหลด 1000 VA



รูปที่ 4.27 ค่าฮาร์โมนิกส์ที่แรงดัน 190 V และที่โหลด 1200 VA

เอกสารนี้เป็นเอกสารที่สงวนไว้สำหรับการใช้งานเพื่อการศึกษาเท่านั้น ไม่อนุญาตให้นำไปใช้ประโยชน์ด้านการค้า ไม่ว่าจะกรณีใดๆทั้งสิ้น อีกทั้งห้ามมิให้ดัดแปลงเนื้อหา และต้องอ้างอิงถึงเจ้าของเอกสารทุกครั้งที่มีการนำไปใช้

บทที่ 5

สรุปและวิจารณ์ผลการทดลอง

5.1 อภิปรายผลการทดลอง

จากการผลการทดลองเครื่องต้นแบบตัวชดเชยกำลังไฟฟ้ารีแอกทีฟโดยเริ่มจากการจำลองทางคอมพิวเตอร์ด้วยโปรแกรม MATLAB/Simulink แล้วจึงนำมาออกแบบและสร้างเครื่องต้นแบบ โดยผลการทดลองนี้จะจำแนกออกเป็นเรื่องต่างๆ แรงดันไฟฟ้าที่โหลด ค่าตัวประกอบกำลังของแหล่งจ่าย ค่า THD_i ของแหล่งจ่าย โดยการทดลองของเครื่องต้นแบบจะทำรับสัญญาณจากจุดโหลดมาเข้า ไมโครคอนโทรลเลอร์ ทำการประมวลผล ปรับมุมจุดฉนวนที่เหมาะสม แล้วส่งสัญญาณ (Trigger) ออกมาผ่านวงจร Buffer เพิ่มขนาดของสัญญาณ แล้วจึงไปขับขาเกตของอุปกรณ์สวิตชิง ไตรแอก โดยการสวิตชิงนั้นเป็นการปรับค่ารีแอกเตอร์ของตัวชดเชยเพื่อปรับกำลังไฟฟ้ารีแอกทีฟ ที่ตัวชดเชยนั้นส่งให้แก่ระบบ จากทดลองในระดับแรงดันต่างๆ พบว่าการติดตั้งตัวชดเชยกำลังไฟฟ้า รีแอกทีฟ นั้น รักษาระดับแรงดันไฟฟ้า ณ จุดโหลดได้ ทุกช่วงการทดลอง เป็นไปตามวัตถุประสงค์ เมื่อศึกษาการทดลองเพิ่มเติม จะพบว่าเกิดปัญหาในด้าน THD_i โดยในขณะที่ โหลดต่ำนั้น THD_i จะมีค่าสูงมาก ซึ่งเป็นการสร้างฮาร์มอนิกให้กับระบบ แต่เมื่อทำการเพิ่มโหลดมากยิ่งขึ้น THD_i จะน้อยลงตามไปด้วย การศึกษาในเรื่องของ ค่าตัวประกอบกำลัง มีปัญหาแบบเดียวกับ THD_i ในสภาพว่าโหลดต่ำๆจะพบว่า ค่าตัวประกอบกำลังนั้นจะมีค่าต่ำ ในขณะที่โหลดต่ำ และดีขึ้นเมื่อเพิ่มโหลดเข้าสู่ระบบ

ในการทดลองพบว่าเกิดปัญหาในด้านพิกัดแรงดันที่ทำการทดลอง เนื่องจากเมื่อระดับแรงดันไฟฟ้ามีค่าที่พิกัดจะเกิดการฟุ้งบริเวณอุปกรณ์สวิตชิงต์ การศึกษาจึงลดขนาดแรงดันลงแล้วจึงทำการทดลอง นอกจากนั้น ค่ารีแอกเตอร์ในตัวชดเชยกำลังไฟฟ้ารีแอกทีฟนั้น ทั้งสามเฟสมีขนาดไม่เท่ากันจึงส่งผลทำให้เกิดกรณีไม่สมดุล (Unbalance) จึงแก้ไขในทางโปรแกรมของไมโครคอนโทรลเลอร์เพื่อชดเชยมุมจุดฉนวนให้ทั้งสามเฟสสมดุล (Balance)

5.2 สรุปผลการทดลอง

เครื่องต้นแบบตัวชดเชยกำลังไฟฟ้ารีแอกทีฟกำลังไฟฟ้ารีแอกทีฟ สามารถรักษาแรงดันไฟฟ้าที่โหลดได้ โดยการชดเชยกำลังไฟฟ้ารีแอกทีฟที่สูญเสียในสายส่ง เป็นไปตามวัตถุประสงค์ และค่าตัวประกอบกำลังมีค่าเข้าใกล้ Unity เมื่อมีการเพิ่มขึ้นของโหลด ซึ่งเป็นผลที่ตามมาจากการปรับมุมจุดฉนวน แต่ตัวชดเชยที่ปัญหาสร้างฮาร์มอนิกให้ระบบ ในสภาวะโหลดต่ำ

5.3 ประโยชน์

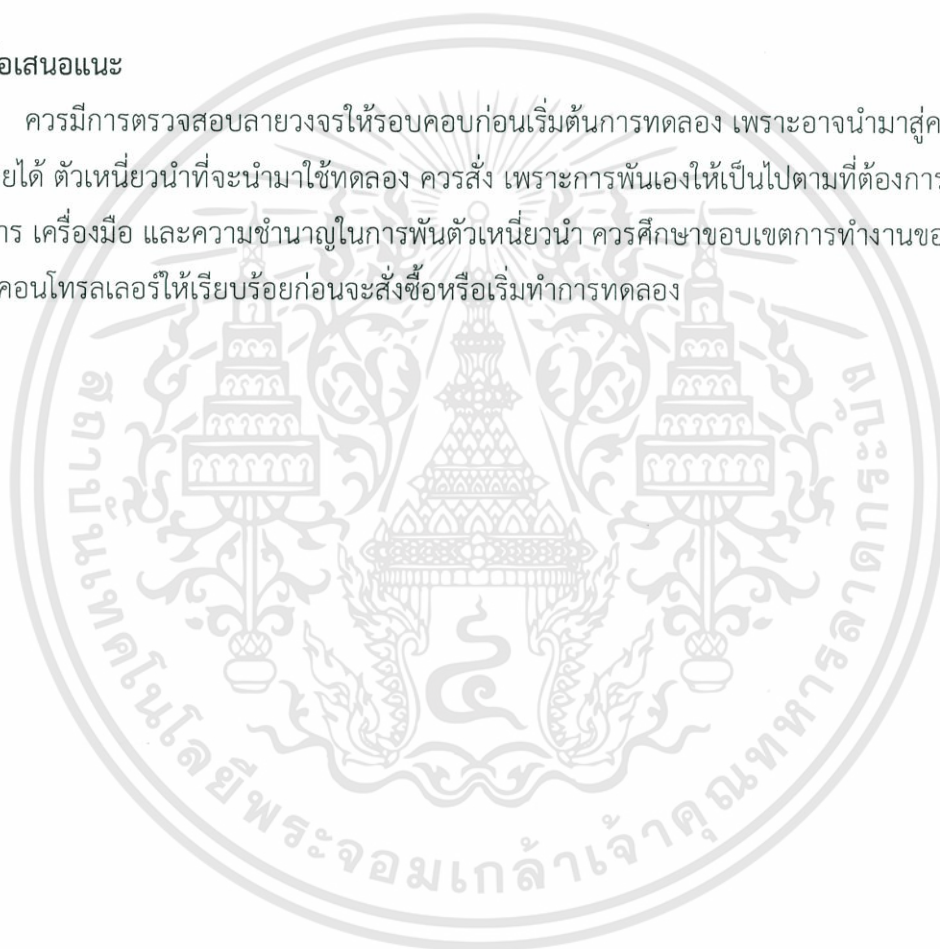
ได้นำความรู้ที่ศึกษามาประยุกต์ใช้โครงการวิจัย ฝึกทักษะการวางแผนและทำงานเป็นทีม ฝึกใช้อุปกรณ์เครื่องมือวัดทำให้เกิดความชำนาญ ได้มีประสบการณ์การทำงานแก้ไขปัญหาเฉพาะหน้า

5.4 ปัญหาและอุปสรรค

เครื่องต้นแบบไม่สามารถทำงานในระดับแรงดันที่ได้วางแผนออกแบบไว้ ตัวเหนี่ยวนำในตัวขดขมมีขนาดไม่เท่ากัน ส่งผลให้ค่ารีแอกเตอร์ไม่เท่ากัน

5.5 ข้อเสนอแนะ

ควรมีการตรวจสอบลายวงจรให้รอบคอบก่อนเริ่มต้นการทดลอง เพราะอาจนำไปสู่ความเสียหายได้ ตัวเหนี่ยวนำที่จะนำมาใช้ทดลอง ควรสั่ง เพราะการพันเองให้เป็นไปตามที่ต้องการต้องมีหลักการ เครื่องมือ และความชำนาญในการพันตัวเหนี่ยวนำ ควรศึกษาขอบเขตการทำงานของไมโครคอนโทรลเลอร์ให้เรียบร้อยก่อนจะสั่งซื้อหรือเริ่มทำการทดลอง



เอกสารอ้างอิง

- [1] L.Gyugyi, "Power Electronics in Electric Utilities : Static Var Compensators," Proc.IEEE, Vol. 76, No.4, 1988, pp. 483-494.
- [2] L.Gyugyi, "Reactive Power Generation and Control by Thyristor Circuits," IEEE Trans. On Ind. Application, Vol. IA-15, NO.5, 1979, pp. 521-531.
- [3] ทานทัต เนตรขำ และคณะ, "ตัวชดเชยกำลังไฟฟ้าแอกทีฟแบบสถิต," ปรึญญาานิพนธ์วิศวกรรมศาสตรบัณฑิต, สาขาวิชาวิศวกรรมไฟฟ้า, สถาบันเทคโนโลยีพระจอมเกล้าเจ้าคุณทหารลาดกระบัง, 2542
- [4] ภีรศักดิ์ เผ่าผาง, "การวิเคราะห์พฤติกรรมของอุปกรณ์ชดเชยแรงดันกลับคืนแบบพลวัตที่ใช้พลังงานจากบัสด้านโหลด," วิทยานิพนธ์วิศวกรรมศาสตรมหาบัณฑิต, สาขาวิชาวิศวกรรมไฟฟ้า, มหาวิทยาลัยเกษตรศาสตร์, 2552.
- [5] ภาณุมาศ แสนพวง, "การศึกษาตัวควบคุมการไหลกำลังไฟฟ้าแบบรวมสำหรับระบบส่งกำลังไฟฟ้าด้วยโปรแกรม ATP/EMTP," วิทยานิพนธ์วิศวกรรมศาสตรมหาบัณฑิต, สาขาวิชาวิศวกรรมไฟฟ้า, มหาวิทยาลัยเทคโนโลยีราชมงคลธัญบุรี, 2552.

เอกสารนี้เป็นเอกสารที่สงวนไว้สำหรับการใช้งานเพื่อการศึกษาเท่านั้น ไม่อนุญาตให้นำไปใช้ประโยชน์ด้านการค้า ไม่ว่าจะกรณีใดๆทั้งสิ้น อีกทั้งห้ามมิให้ดัดแปลงเนื้อหา และต้องอ้างอิงถึงเจ้าของเอกสารทุกครั้งที่มีการนำไปใช้



เอกสารนี้เป็นเอกสารที่สงวนไว้สำหรับการใช้งานเพื่อการศึกษาเท่านั้น ไม่อนุญาตให้นำไปใช้ประโยชน์ด้านการค้า
ไม่ว่ากรณีใดๆทั้งสิ้น อีกทั้งห้ามมิให้ตัดแปลงเนื้อหา และต้องอ้างอิงถึงเจ้าของเอกสารทุกครั้งที่มีการนำไปใช้

ในเครื่องต้นแบบนี้ใช้ Microcontroller Arduino Mega 2560 โดยทางโปรแกรมเป็นลักษณะ ภาษา C++ โดยมีโค้ดที่สำเร็จรูปของทาง arduino ประกอบด้วยการกำหนดค่า register โดยตรงของตัวไมโครคอนโทรลเลอร์

```
#include <avr/io.h>
#include <avr/interrupt.h>

const byte BUTTON = 18;
const byte BUTTON1 = 19;
const byte BUTTON2 = 20;
int ledPin = 7;
int ledPin1 = 6;
int ledPin2 = 5;
int var = 0;
volatile int N =0;
volatile int N1 =0;
volatile int N2 =0;
volatile float volt = 100;
volatile int aval = 0 ;
int volt1=0;
int degree=0;
float vload=0;
float vref=190.25;
float v=0;
double val1=167;
int main(void)
{
    Serial.begin(9600);
    attachInterrupt (5, pinChange, RISING);
    attachInterrupt (4, pinChange1, RISING);
    attachInterrupt (3, pinChange2, RISING);
    pinMode(ledPin,OUTPUT);
```

เอกสารนี้เป็นเอกสารที่สงวนไว้สำหรับการใช้งานเพื่อการศึกษาเท่านั้น ไม่อนุญาตให้นำไปใช้ประโยชน์ด้านการค้า ไม่ว่าจะกรณีใดๆทั้งสิ้น อีกทั้งห้ามมิให้ดัดแปลงเนื้อหา และต้องอ้างอิงถึงเจ้าของเอกสารทุกครั้งที่มีการนำไปใช้

```

pinMode(ledPin1,OUTPUT);
pinMode(ledPin2,OUTPUT);
pinMode(BUTTON,INPUT);
pinMode(BUTTON1,INPUT);
pinMode(BUTTON2,INPUT);
digitalWrite (BUTTON, HIGH);
digitalWrite (BUTTON1, HIGH);
digitalWrite (BUTTON2, HIGH);

```

```

ADMUX = 0x43;
ADCSRA = 0x00;
ADCSRA |= 0xA0;
ADCSRB &= 0xF8;
ADCSRA |= 0x0F;
TCCR0A |= (1 << WGM01);
OCR0A = 0x50;
TIMSK0 |= (1 << OCIE0A);
sei();
TCCR0B |= (1 << CS01);
ADCSRA |= 0x40; //start ADC
while (1)
{
    vload = aval * (950.00/1023.0);
    v=vref-vload;
    if((v>1.2)&(vload>170))val1=val1+0.1;
    if((v<-1.2)&(vload>170))val1=val1-0.1;
    volt1=val1;
    if(volt1<152)volt1=152;
    if(volt1>237)volt1=237;
    degree=volt1*0.72;
    Serial.print(" vload = ");
    Serial.print(vload);

```

เอกสารนี้เป็นเอกสารที่สงวนไว้สำหรับการใช้งานเพื่อการศึกษาเท่านั้น ไม่อนุญาตให้นำไปใช้ประโยชน์ด้านการค้า ไม่ว่าจะกรณีใดๆทั้งสิ้น อีกทั้งห้ามมิให้ดัดแปลงเนื้อหา และต้องอ้างอิงถึงเจ้าของเอกสารทุกครั้งที่มีการนำไปใช้

```

Serial.print(" diff = ");
Serial.print(v);
Serial.print(" volt1 = ");
Serial.print(volt1);
Serial.print(" degree = ");
Serial.println(degree);

}
}

ISR(ADC_vect) {
  aval = ADCL; // store lower byte ADC
  aval += ADCH*256 ; // store higher bytes ADC
  ADCSRA &= 0xEF;
  ADCSRA |= 0x40; //start ADC
}

ISR (TIMER0_COMPA_vect) // timer0 overflow interrupt
{
  //event to be executed every 4ms here
  N=N+1;
  N1=N1+1;
  N2=N2+1;
  if(((volt1)>=(N-1))&((volt1)<=(N+1)))digitalWrite(ledPin,HIGH);
  if(((volt1)>=(N1-1))&((volt1)<=(N1+1)))digitalWrite(ledPin1,HIGH);
  if(((volt1)>=(N2-1))&((volt1)<=(N2+1)))digitalWrite(ledPin2,HIGH);
}

void pinChange ()
{
  N=0;
  digitalWrite(ledPin,LOW);
}

```

เอกสารนี้เป็นเอกสารที่สงวนไว้สำหรับการใช้งานเพื่อการศึกษาเท่านั้น ไม่อนุญาตให้นำไปใช้ประโยชน์ด้านการค้า ไม่ว่าจะกรณีใดๆทั้งสิ้น อีกทั้งห้ามมิให้ดัดแปลงเนื้อหา และต้องอ้างอิงถึงเจ้าของเอกสารทุกครั้งที่มีการนำไปใช้

```
void pinChange1 ()  
{  
  N1=0;  
  digitalWrite(ledPin1,LOW);  
}  
void pinChange2()  
{  
  N2=0;  
  digitalWrite(ledPin2,LOW);  
}
```



เอกสารนี้เป็นเอกสารที่สงวนไว้สำหรับการใช้งานเพื่อการศึกษาเท่านั้น ไม่อนุญาตให้นำไปใช้ประโยชน์ด้านการค้า ไม่ว่าจะกรณีใดๆทั้งสิ้น อีกทั้งห้ามมิให้ดัดแปลงเนื้อหา และต้องอ้างอิงถึงเจ้าของเอกสารทุกครั้งที่มีการนำไปใช้



ภาคผนวก ข
คู่มืออุปกรณ์ที่นำมาใช้ประกอบในเครื่องต้นแบบ
(Datasheet of Equipment)

เอกสารนี้เป็นเอกสารที่สงวนไว้สำหรับการใช้งานเพื่อการศึกษาเท่านั้น ไม่อนุญาตให้นำไปใช้ประโยชน์ด้านการค้า
ไม่ว่ากรณีใดๆทั้งสิ้น อีกทั้งห้ามมิให้ดัดแปลงเนื้อหา และต้องอ้างอิงถึงเจ้าของเอกสารทุกครั้งที่มีการนำไปใช้



Three-Terminal Positive Voltage Regulators

These voltage regulators are monolithic integrated circuits designed as fixed-voltage regulators for a wide variety of applications including local, on-card regulation. These regulators employ internal current limiting, thermal shutdown, and safe-area compensation. With adequate heatsinking they can deliver output currents in excess of 1.0 A. Although designed primarily as a fixed voltage regulator, these devices can be used with external components to obtain adjustable voltages and currents.

- ⊗ Output Current in Excess of 1.0 A
- ⊗ No External Components Required
- ⊗ Internal Thermal Overload Protection
- ⊗ Internal Short Circuit Current Limiting
- ⊗ Output Transistor Safe-Area Compensation
- ⊗ Output Voltage Offered in 2% and 4% Tolerance
- ⊗ Available in Surface Mount D²PAK and Standard 3-Lead Transistor Packages
- ⊗ Previous Commercial Temperature Range has been Extended to a Junction Temperature Range of -40°C to +125°C

DEVICE TYPE/NOMINAL OUTPUT VOLTAGE

MC7805AC	5.0 V	MC7812C	12 V
LM340AT-5		LM340T-12	
MC7805C		MC7815AC	15 V
LM340T-5	LM340AT-15		
MC7806AC	6.0 V	MC7815C	18 V
MC7806C		LM340T-15	
MC7808AC	8.0 V	MC7818AC	24 V
MC7808C		MC7818C	
MC7809C	9.0 V	MC7824AC	24 V
MC7812AC	12 V	MC7824C	
LM340AT-12			

ORDERING INFORMATION

Device	Output Voltage Tolerance	Operating Temperature Range	Package
MC78XXACT	2%	$T_J = -40^\circ\text{C to } +125^\circ\text{C}$	Insertion Mount
LM340AT-XX			Surface Mount
MC78XXACD2T	4%		Insertion Mount
MC78XXCT			Surface Mount
LM340T-XX			
MC78XXCD2T			

XX indicates nominal voltage.

Order this document by MC7800/D

MC7800, MC7800A, LM340, LM340A Series

THREE-TERMINAL POSITIVE FIXED VOLTAGE REGULATORS

SEMICONDUCTOR
TECHNICAL DATA

T SUFFIX
PLASTIC PACKAGE
CASE 221A

Heatsink surface
connected to Pin 2.



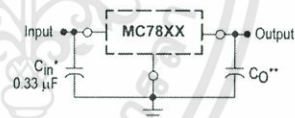
Pin 1. Input
2. Ground
3. Output

D2T SUFFIX
PLASTIC PACKAGE
CASE 936
(D²PAK)

Heatsink surface (shown as terminal 4 in
case outline drawing) is connected to Pin 2.



STANDARD APPLICATION



A common ground is required between the input and the output voltages. The input voltage must remain typically 2.0 V above the output voltage even during the low point on the input ripple voltage.

XX. These two digits of the type number indicate nominal voltage.

* C_{in} is required if regulator is located an appreciable distance from power supply filter.

** C_o is not needed for stability; however, it does improve transient response. Values of less than 0.1 μF could cause instability.

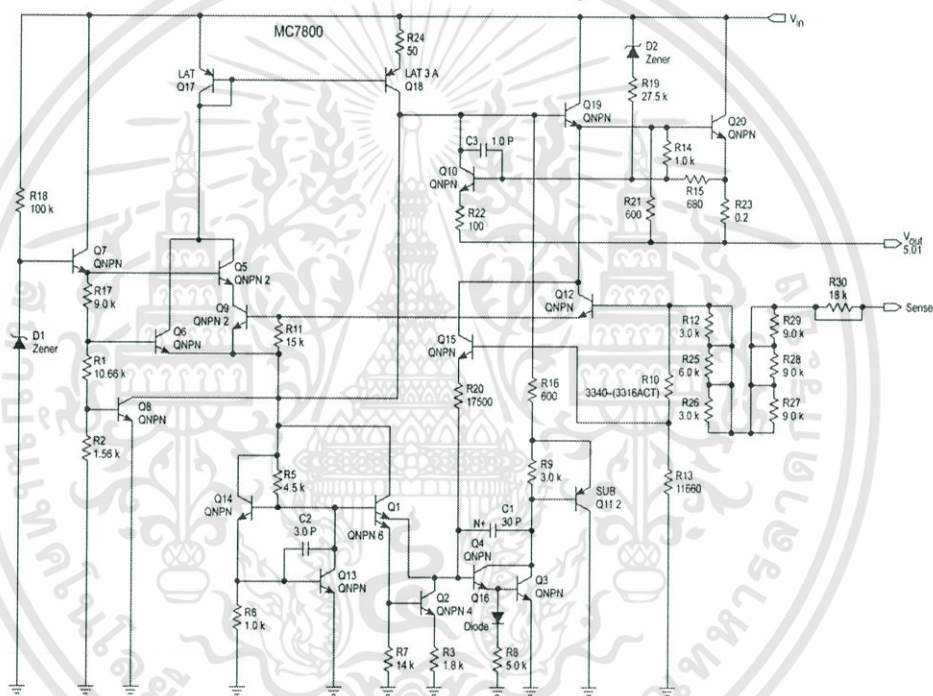
MC7800, MC7800A, LM340, LM340A Series

MAXIMUM RATINGS ($T_A = 25^\circ\text{C}$, unless otherwise noted.)

Rating	Symbol	Value	Unit
Input Voltage (5.0 – 18 V) (24 V)	V_i	35 40	Vdc
Power Dissipation Case 221A $T_A = 25^\circ\text{C}$ Thermal Resistance, Junction-to-Ambient Thermal Resistance, Junction-to-Case	P_D $R_{\theta JA}$ $R_{\theta JC}$	Internally Limited 65 5.0	W $^\circ\text{C/W}$ $^\circ\text{C/W}$
Case 936 (D ² PAK) $T_A = 25^\circ\text{C}$ Thermal Resistance, Junction-to-Ambient Thermal Resistance, Junction-to-Case	P_D $R_{\theta JA}$ $R_{\theta JC}$	Internally Limited See Figure 13 5.0	W $^\circ\text{C/W}$ $^\circ\text{C/W}$
Storage Junction Temperature Range	T_{stg}	-65 to +150	$^\circ\text{C}$
Operating Junction Temperature	T_J	+150	$^\circ\text{C}$

NOTE: ESD data available upon request.

Representative Schematic Diagram



This device contains 22 active transistors.

เอกสารนี้เป็นเอกสารที่สงวนไว้สำหรับการใช้งานเพื่อการศึกษาเท่านั้น ไม่อนุญาตให้นำไปใช้ประโยชน์ด้านการค้า
ไม่ว่ากรณีใดๆทั้งสิ้น อีกทั้งห้ามมิให้ดัดแปลงเนื้อหา และต้องอ้างอิงถึงเจ้าของเอกสารทุกครั้งที่มีการนำไปใช้

MC7800, MC7800A, LM340, LM340A Series

ELECTRICAL CHARACTERISTICS ($V_{in} = 10\text{ V}$, $I_O = 500\text{ mA}$, $T_J = T_{low}$ to T_{high} [Note 1], unless otherwise noted.)

Characteristic	Symbol	MC7805C/LM340T-5			Unit
		Min	Typ	Max	
Output Voltage ($T_J = 25^\circ\text{C}$)	V_O	4.8	5.0	5.2	Vdc
Output Voltage (5.0 mA $\leq I_O \leq 1.0\text{ A}$, $P_D \leq 15\text{ W}$) 7.0 Vdc $\leq V_{in} \leq 20\text{ Vdc}$ 8.0 Vdc $\leq V_{in} \leq 20\text{ Vdc}$	V_O	4.75 –	5.0 –	5.25 –	Vdc
Line Regulation (Note 2) 7.5 Vdc $\leq V_{in} \leq 20\text{ Vdc}$, 1.0 A 8.0 Vdc $\leq V_{in} \leq 12\text{ Vdc}$	Reg _{line}	– –	0.5 0.8	20 10	mV
Load Regulation (Note 2) 5.0 mA $\leq I_O \leq 1.0\text{ A}$ 5.0 mA $\leq I_O \leq 1.5\text{ A}$ ($T_A = 25^\circ\text{C}$)	Reg _{load}	– –	1.3 1.3	25 25	mV
Quiescent Current	I_B	–	3.2	6.5	mA
Quiescent Current Change 7.0 Vdc $\leq V_{in} \leq 25\text{ Vdc}$ 5.0 mA $\leq I_O \leq 1.0\text{ A}$ ($T_A = 25^\circ\text{C}$)	ΔI_B	– –	0.3 0.08	1.0 0.8	mA
Ripple Rejection 8.0 Vdc $\leq V_{in} \leq 18\text{ Vdc}$, $f = 120\text{ Hz}$	RR	62	83	–	dB
Dropout Voltage ($I_O = 1.0\text{ A}$, $T_J = 25^\circ\text{C}$)	$V_I - V_O$	–	2.0	–	Vdc
Output Noise Voltage ($T_A = 25^\circ\text{C}$) 10 Hz $\leq f \leq 100\text{ kHz}$	V_n	–	10	–	$\mu\text{V}/V_O$
Output Resistance $f = 1.0\text{ kHz}$	r_O	–	0.9	–	$\text{m}\Omega$
Short Circuit Current Limit ($T_A = 25^\circ\text{C}$) $V_{in} = 35\text{ Vdc}$	I_{SC}	–	0.6	–	A
Peak Output Current ($T_J = 25^\circ\text{C}$)	I_{max}	–	2.2	–	A
Average Temperature Coefficient of Output Voltage	TCV_O	–	–0.3	–	$\text{mV}/^\circ\text{C}$

ELECTRICAL CHARACTERISTICS ($V_{in} = 10\text{ V}$, $I_O = 1.0\text{ A}$, $T_J = T_{low}$ to T_{high} [Note 1], unless otherwise noted.)

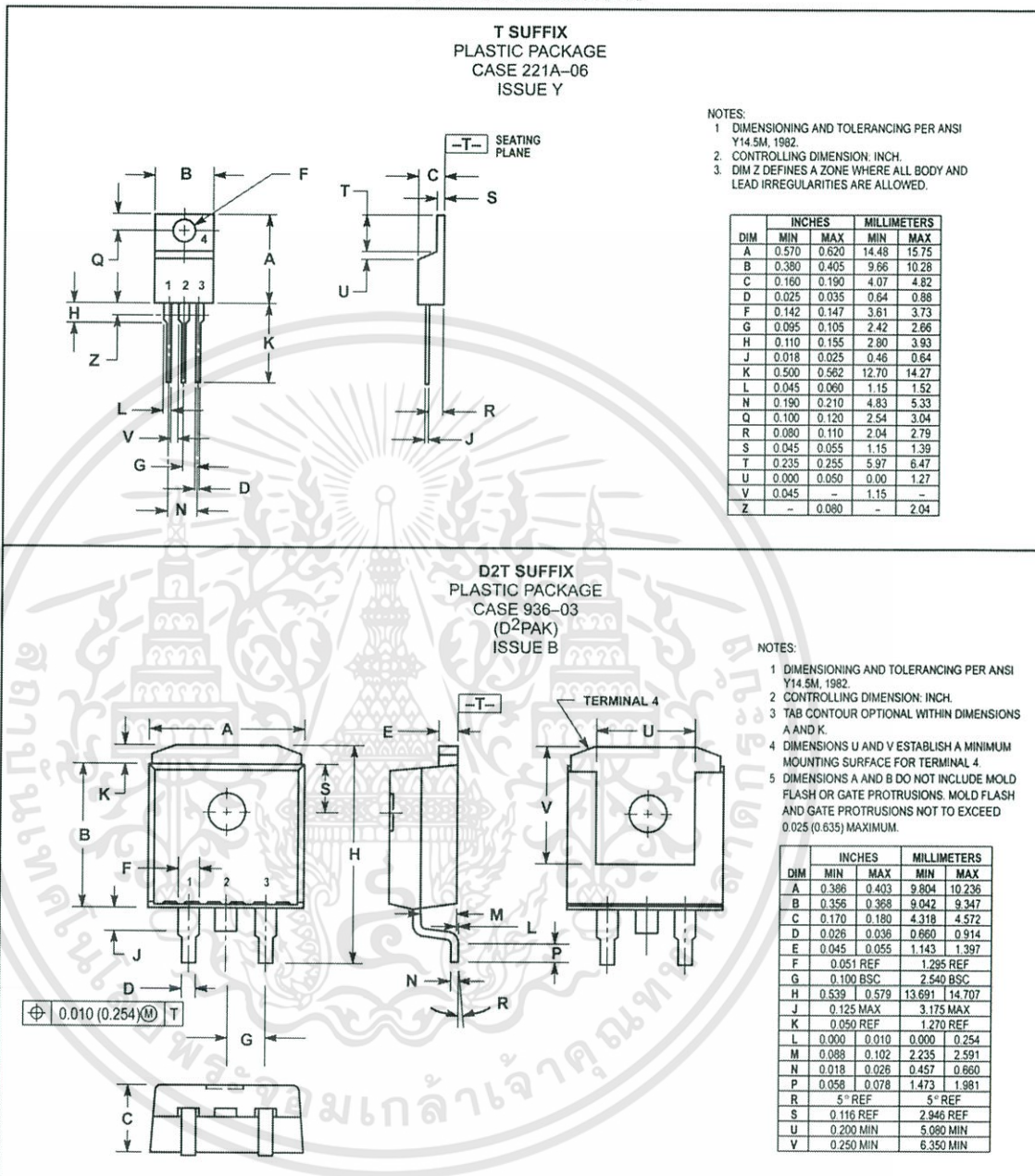
Characteristic	Symbol	MC7805AC/LM340AT-5			Unit
		Min	Typ	Max	
Output Voltage ($T_J = 25^\circ\text{C}$)	V_O	4.9	5.0	5.1	Vdc
Output Voltage (5.0 mA $\leq I_O \leq 1.0\text{ A}$, $P_D \leq 15\text{ W}$) 7.5 Vdc $\leq V_{in} \leq 20\text{ Vdc}$	V_O	4.8	5.0	5.2	Vdc
Line Regulation (Note 2) 7.5 Vdc $\leq V_{in} \leq 25\text{ Vdc}$, $I_O = 500\text{ mA}$ 8.0 Vdc $\leq V_{in} \leq 12\text{ Vdc}$, $I_O = 1.0\text{ A}$ 8.0 Vdc $\leq V_{in} \leq 12\text{ Vdc}$, $I_O = 1.0\text{ A}$, $T_J = 25^\circ\text{C}$ 7.3 Vdc $\leq V_{in} \leq 20\text{ Vdc}$, $I_O = 1.0\text{ A}$, $T_J = 25^\circ\text{C}$	Reg _{line}	– – – –	0.5 0.8 1.3 4.5	10 12 4.0 10	mV
Load Regulation (Note 2) 5.0 mA $\leq I_O \leq 1.5\text{ A}$, $T_J = 25^\circ\text{C}$ 5.0 mA $\leq I_O \leq 1.0\text{ A}$ 250 mA $\leq I_O \leq 750\text{ mA}$	Reg _{load}	– – –	1.3 0.8 0.53	25 25 15	mV
Quiescent Current	I_B	–	3.2	6.0	mA
Quiescent Current Change 8.0 Vdc $\leq V_{in} \leq 25\text{ Vdc}$, $I_O = 500\text{ mA}$ 7.5 Vdc $\leq V_{in} \leq 20\text{ Vdc}$, $T_J = 25^\circ\text{C}$ 5.0 mA $\leq I_O \leq 1.0\text{ A}$	ΔI_B	– – –	0.3 – 0.08	0.8 0.8 0.5	mA
Ripple Rejection 8.0 Vdc $\leq V_{in} \leq 18\text{ Vdc}$, $f = 120\text{ Hz}$, $I_O = 500\text{ mA}$	RR	68	83	–	dB
Dropout Voltage ($I_O = 1.0\text{ A}$, $T_J = 25^\circ\text{C}$)	$V_I - V_O$	–	2.0	–	Vdc

NOTES: 1. $T_{low} = -40^\circ\text{C}$ for MC78XXAC, C, LM340AT-XX, LM340T-XX $T_{high} = +125^\circ\text{C}$ for MC78XXAC, C, LM340AT-XX, LM340T-XX2. Load and line regulation are specified at constant junction temperature. Changes in V_O due to heating effects must be taken into account separately. Pulse testing with low duty cycle is used.

เอกสารนี้เป็นเอกสารที่สงวนไว้สำหรับการใช้งานเพื่อการศึกษาเท่านั้น ไม่อนุญาตให้นำไปใช้ประโยชน์ด้านการค้า
ไม่ว่ากรณีใดๆทั้งสิ้น อีกทั้งห้ามมิให้ดัดแปลงเนื้อหา และต้องอ้างอิงถึงเจ้าของเอกสารทุกครั้งที่มีการนำไปใช้

MC7800, MC7800A, LM340, LM340A Series

OUTLINE DIMENSIONS



How to reach us:

USA/EUROPE/Locations Not Listed: Motorola Literature Distribution;
 P.O. Box 5405, Denver, Colorado 80217. 1-303-675-2140 or 1-800-441-2447

JAPAN: Nippon Motorola Ltd.: SPD, Strategic Planning Office, 4-32-1,
 Nishi-Gotanda, Shinagawa-ku, Tokyo 141, Japan. 81-3-5487-8488

Customer Focus Center: 1-800-521-6274

MfAx: RMfAx0@email.sps.mot.com - TOUCHTONE 1-802-244-6609
 Motorola Fax Back System - US & Canada ONLY 1-800-774-1848
 - http://sps.motorola.com/mfax/

ASIA/PACIFIC: Motorola Semiconductors H.K. Ltd.; 8B Tai Ping Industrial Park,
 51 Ting Kok Road, Tai Po, N.T., Hong Kong. 852-26629298

HOME PAGE: <http://motorola.com/sps/>



&

MC7800.

เอกสารนี้เป็นเอกสารที่สงวนไว้สำหรับการใช้งานเพื่อการศึกษาเท่านั้น ไม่อนุญาตให้นำไปใช้ประโยชน์ด้านการค้า
 ไม่ว่ากรณีใดๆทั้งสิ้น อีกทั้งห้ามมิให้ดัดแปลงเนื้อหา และต้องอ้างอิงถึงเจ้าของเอกสารทุกครั้งที่มีการนำไปใช้



PHOTOTRANSISTOR

Industry Standard Single Channel 6 Pin DIP Optocoupler

DEVICE TYPES

Part No.	CTR % Min.	Part No.	CTR % Min.
4N25	20	MCT2	20
4N26	20	MCT2E	20
4N27	10	MCT270	50
4N28	10	MCT271	45-90
4N35	100	MCT272	75-150
4N36	100	MCT273	125-250
4N37	100	MCT274	225-400
4N38	10	MCT275	70-90
H11A1	50	MCT276	15-60
H11A2	20	MCT277	100
H11A3	20		
H11A4	10		
H11A5	30		

FEATURES

- Interfaces with Common Logic Families
- Input-output Coupling Capacitance < 0.5 pF
- Industry Standard Dual-in-line 6-pin Package
- Field Effect Stable by TRIOS[®]
- 5300 V_{RMS} Isolation Test Voltage
- Underwriters Laboratory File #E52744
-  VDE #0884 Approval Available with Option 1

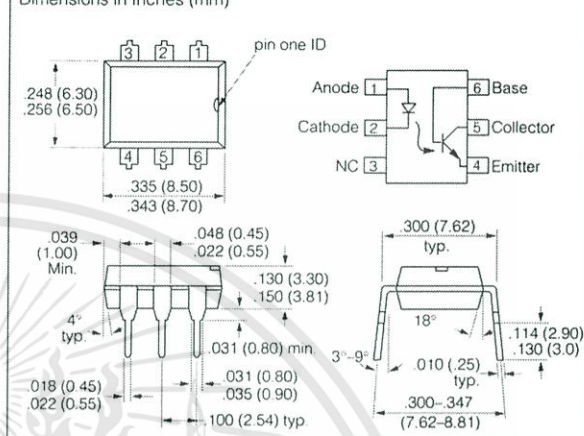
APPLICATIONS

- AC Mains Detection
- Reed Relay Driving
- Switch Mode Power Supply Feedback
- Telephone Ring Detection
- Logic Ground Isolation
- Logic Coupling with High Frequency Noise Rejection

Notes:

Designing with data sheet is covered in Application Note 45

Dimensions in Inches (mm)



DESCRIPTION

This data sheet presents five families of Infineon Industry Standard Single Channel Phototransistor Couplers. These families include the 4N25/26/27/28 types, the 4N35/36/37/38 couplers, the H11A1/A2/A3/A4/A5, the MCT2/2E, and MCT270/271/272/273/274/275/276/277 devices. Each optocoupler consists of Gallium Arsenide infrared LED and a silicon NPN phototransistor.

These couplers are Underwriters Laboratories (UL) listed to comply with a 5300 V_{RMS} Isolation Test Voltage. This isolation performance is accomplished through Infineon double molding isolation manufacturing process. Compliance to VDE 0884 partial discharge isolation specification is available for these families by ordering option 1. Phototransistor gain stability, in the presence of high isolation voltages, is insured by incorporating a TRansparent IOn Shield (TRIOS)[®] on the phototransistor substrate. These isolation processes and the Infineon ISO9001 Quality program results in the highest isolation performance available for a commercial plastic phototransistor optocoupler.

The devices are available in lead formed configuration suitable for surface mounting and are available either on tape and reel, or in standard tube shipping containers.

Maximum Ratings $T_A=25^\circ\text{C}$ **Emitter**

Reverse Voltage	6.0 V
Forward Current	60 mA
Surge Current ($t \leq 10 \mu\text{s}$)	2.5 A
Power Dissipation	100 mW

Detector

Collector-Emitter Breakdown Voltage	70 V
Emitter-Base Breakdown Voltage	7.0 V
Collector Current	50 mA
Collector Current ($t < 1.0 \text{ ms}$)	100 mA
Power Dissipation	150 mW

Package

Isolation Test Voltage	5300 V_{RMS}
Creepage	$\geq 7.0 \text{ mm}$
Clearance	$\geq 7.0 \text{ mm}$
Isolation Thickness between Emitter and Detector	$\geq 0.4 \text{ mm}$
Comparative Tracking Index per DIN IEC 112/VDE0303, part 1	175
Isolation Resistance	
$V_{\text{IO}}=500 \text{ V}, T_A=25^\circ\text{C}$	$10^{12} \Omega$
$V_{\text{IO}}=500 \text{ V}, T_A=100^\circ\text{C}$	$10^{11} \Omega$
Storage Temperature	-55°C to $+150^\circ\text{C}$
Operating Temperature	-55°C to $+100^\circ\text{C}$
Junction Temperature	100°C
Soldering Temperature (max. 10 s, dip soldering: distance to seating plane $\geq 1.5 \text{ mm}$)	260°C

4N25/26/27/28—Characteristics $T_A=25^\circ\text{C}$

Emitter		Symbol	Min.	Typ.	Max.	Unit	Condition
Forward Voltage*		V_F	—	1.3	1.5	V	$I_F=50 \text{ mA}$
Reverse Current*		I_R	—	0.1	100	μA	$V_R=3.0 \text{ V}$
Capacitance		C_O	—	25	—	pF	$V_R=0$
Detector							
Breakdown Voltage*	Collector-Emitter	BV_{CEO}	30	—	—	V	$I_C=1.0 \text{ mA}$
	Emitter-Collector	BV_{ECO}	7.0	—	—		$I_E=100 \mu\text{A}$
	Collector-Base	BV_{CBO}	70	—	—		$I_C=100 \mu\text{A}$
$I_{\text{CEO}}(\text{dark})^*$	4N25/26/27 4N28	—	—	5.0 10	50 100	nA	$V_{\text{CE}}=10 \text{ V}$, (base open)
$I_{\text{CBO}}(\text{dark})^*$		—	—	2.0	20	nA	$V_{\text{CB}}=10 \text{ V}$, (emitter open)
Capacitance, Collector-Emitter		C_{CE}	—	6.0	—	pF	$V_{\text{CE}}=0$
Package							
DC Current Transfer Ratio*	4N25/26	CTR	20	50	—	%	$V_{\text{CE}}=10 \text{ V}$, $I_F=10 \text{ mA}$
	4N27/28		10	30	—		
Isolation Voltage*	4N25	V_{IO}	2500	—	—	V	Peak, 60 Hz
	4N26/27		1500	—	—		
	4N28		500	—	—		
Saturation Voltage, Collector-Emitter		$V_{\text{CE(sat)}}$	—	—	0.5	V	$I_{\text{CE}}=2.0 \text{ mA}$, $I_F=50 \text{ mA}$
Resistance, Input to Output*		R_{IO}	100	—	—	$\text{G}\Omega$	$V_{\text{IO}}=500 \text{ V}$
Coupling Capacitance		C_{IO}	—	0.5	—	pF	$f=1.0 \text{ MHz}$
Rise and Fall Times		t_r, t_f	—	2.0	—	μs	$I_F=10 \text{ mA}$ $V_{\text{CE}}=10 \text{ V}$, $R_L=100 \Omega$

* Indicates JEDEC registered values

4N35/36/37/38—Characteristics $T_A=25^\circ\text{C}$

Emitter		Symbol	Min.	Typ.	Max.	Unit	Condition
Forward Voltage*		V_F	0.9	1.3	1.5 1.7	V	$I_F=10\text{ mA}$ $I_F=10\text{ mA}, T_A=-55^\circ\text{C}$
Reverse Current*		I_R		0.1	10	μA	$V_R=6.0\text{ V}$
Capacitance		C_O		25	—	pF	$V_R=0, f=1.0\text{ MHz}$
Detector							
Breakdown Voltage, Collector-Emitter*	4N35/36/37	BV_{CEO}	30	—	—	V	$I_C=1.0\text{ mA}$
	4N38		80	—	—		
Breakdown Voltage, Emitter-Collector*		BV_{ECO}	7.0	—	—	V	$I_E=100\text{ }\mu\text{A}$
Breakdown Voltage, Collector-Base*	4N35/36/37	BV_{CBO}	70	—	—	V	$I_C=100\text{ }\mu\text{A}, I_B=1.0\text{ }\mu\text{A}$
	4N38		80	—	—		
Leakage Current, Collector-Emitter*	4N35/36/37	I_{CEO}	—	5.0	50	nA	$V_{CE}=10\text{ V}, I_F=0$
	4N38		—	—	50		$V_{CE}=60\text{ V}, I_F=0$
Leakage Current, Collector-Emitter*	4N35/36/37	I_{CEO}	—	—	500	μA	$V_{CE}=30\text{ V}, I_F=0, T_A=100^\circ\text{C}$
	4N38		—	6.0	—		$V_{CE}=60\text{ V}, I_F=0, T_A=100^\circ\text{C}$
Capacitance, Collector-Emitter		C_{CE}	—	6.0	—	pF	$V_{CE}=0$
Package							
DC Current Transfer Ratio*	4N35/36/37	CTR	100	—	—	%	$V_{CE}=10\text{ V}, I_F=10\text{ mA},$ $V_{CE}=1.0\text{ V}, I_F=20\text{ mA}$
	4N38		20	—	—		
DC Current Transfer Ratio*	4N35/36/37	CTR	40	50	—	%	$V_{CE}=10\text{ V}, I_F=10\text{ mA},$ $T_A=-55\text{ to }100^\circ\text{C}$
	4N38		—	30	—		
Resistance, Input to Output*		R_{IO}	10^{11}	—	—	Ω	$V_{IO}=500\text{ V}$
Coupling Capacitance		C_{IO}	—	0.5	—	pF	$f=1.0\text{ MHz}$
Switching Time*		t_{ON}, t_{OFF}	—	10	—	μs	$I_C=2.0\text{ mA}, R_L=100\text{ }\Omega, V_{CC}=10\text{ V}$

* Indicates JEDEC registered value

H11A1 through H11A5—Characteristics $T_A=25^\circ\text{C}$

Emitter		Symbol	Min.	Typ.	Max.	Unit	Condition
Forward Voltage	H11A1–H11A4	V_F	—	1.1	1.5	V	$I_F=10\text{ mA}$
	H11A5		—	1.1	1.7		
Reverse Current		I_R	—	—	10	μA	$V_R=3.0\text{ V}$
Capacitance		C_O	—	50	—	pF	$V_R=0, f=1.0\text{ MHz}$
Detector							
Breakdown Voltage, Collector-Emitter		BV_{CEO}	30	—	—	V	$I_C=1.0\text{ mA}, I_F=0\text{ mA}$
Breakdown Voltage, Emitter-Collector		BV_{ECO}	7.0	—	—	V	$I_E=100\text{ }\mu\text{A}, I_F=0\text{ mA}$
Breakdown Voltage, Collector-Base		BV_{CBO}	70	—	—	V	$I_C=10\text{ }\mu\text{A}, I_F=0\text{ mA}$
Leakage Current, Collector-Emitter		I_{CEO}	—	5.0	50	nA	$V_{CE}=10\text{ V}, I_F=0\text{ mA}$
Capacitance, Collector-Emitter		C_{CE}	—	6.0	—	pF	$V_{CE}=0$
Package							
DC Current Transfer Ratio	H11A1	CTR	50	—	—	%	$V_{CE}=10\text{ V}, I_F=10\text{ mA}$
	H11A2/3		20	—	—		
	H11A4		10	—	—		
	H11A5		30	—	—		
Saturation Voltage, Collector-Emitter		V_{CEsat}	—	—	0.4	V	$I_{CE}=0.5\text{ mA}, I_F=10\text{ mA}$
Capacitance, Input to Output		C_{IO}	—	0.5	—	pF	—
Switching Time		t_{ON}, t_{OFF}	—	3.0	—	μs	$I_C=2.0\text{ mA}, R_L=100\text{ }\Omega, V_{CE}=10\text{ V}$

เอกสารนี้เป็นเอกสารที่สงวนไว้สำหรับการใช้งานเพื่อการศึกษาเท่านั้น ไม่อนุญาตให้นำไปใช้ประโยชน์ด้านการค้า
ไม่ว่ากรณีใดๆทั้งสิ้น อีกทั้งห้ามมิให้ดัดแปลงเนื้อหา และต้องอ้างอิงถึงเจ้าของเอกสารทุกครั้งที่มีการนำไปใช้

MCT2/MCT2E—Characteristics $T_A=25^\circ\text{C}$

Emitter		Symbol	Min.	Typ.	Max.	Unit	Condition
Forward Voltage		V_F	—	1.1	1.5	V	$I_F=20\text{ mA}$
Reverse Current		I_R	—	—	10	μA	$V_R=3.0\text{ V}$
Capacitance		C_O	—	25	—	pF	$V_R=0, f=1.0\text{ MHz}$
Detector							
Breakdown Voltage	Collector-Emitter	BV_{CEO}	30	—	—	V	$I_C=1.0\text{ mA}, I_F=0\text{ mA}$
	Emitter-Collector	BV_{ECO}	7.0	—	—		$I_E=100\text{ }\mu\text{A}, I_F=0\text{ mA}$
	Collector-Base	BV_{CBO}	70	—	—		$I_C=10\text{ }\mu\text{A}, I_F=0\text{ mA}$
Leakage Current	Collector-Emitter	I_{CBO}	—	5.0	50	nA	$V_{CE}=10\text{ V}, I_F=0$
	Collector-Base	I_{CBO}	—	—	20	—	
Capacitance, Collector-Emitter		—	C_{CE}	—	10	pF	$V_{CE}=0$
Package							
DC Current Transfer Ratio		CTR	20	60	—	%	$V_{CE}=10\text{ V}, I_F=10\text{ mA}$
Capacitance, Input to Output		C_{IO}	—	0.5	—	pF	—
Resistance, Input to Output		R_{IO}	—	100	—	$\text{G}\Omega$	—
Switching Time		t_{ON}, t_{OFF}	—	3.0	—	μs	$I_C=2.0\text{ mA}, R_L=100\text{ }\Omega, V_{CE}=10\text{ V}$

MCT270 through MCT277—Characteristics $T_A=25^\circ\text{C}$

Emitter		Symbol	Min.	Typ.	Max.	Unit	Condition
Forward Voltage		V_F	—	—	1.5	V	$I_F=20\text{ mA}$
Reverse Current		I_R	—	—	10	μA	$V_R=3.0\text{ V}$
Capacitance		C_O	—	25	—	pF	$V_R=0, f=1.0\text{ MHz}$
Detector							
Breakdown Voltage	Collector-Emitter	BV_{CEO}	30	—	—	V	$I_C=10\text{ }\mu\text{A}, I_F=0\text{ mA}$
	Emitter-Collector	BV_{ECO}	7.0	—	—		$I_E=10\text{ }\mu\text{A}, I_F=0\text{ mA}$
	Collector-Base	BV_{CBO}	70	—	—		$I_C=10\text{ }\mu\text{A}, I_F=0\text{ mA}$
Leakage Current, Collector-Emitter		I_{CEO}	—	—	50	nA	$V_{CE}=10\text{ V}, I_F=0\text{ mA}$
Package							
DC Current Transfer Ratio	MCT270	CTR	50	—	—	%	$V_{CE}=10\text{ V}, I_F=10\text{ mA}$
	MCT271		45	—	90		
	MCT272		75	—	150		
	MCT273		125	—	250		
	MCT274		225	—	400		
	MCT275		70	—	210		
	MCT276		15	—	60		
	MCT277		100	—	—		
Current Transfer Ratio, Collector-Emitter	MCT271–276	CTR_{CE}	12.5	—	—	%	$V_{CE}=0.4\text{ V}, I_F=16\text{ mA}$
	MCT277		40	—	—		
Collector-Emitter Saturation Voltage		V_{CEsat}	—	—	0.4	V	$I_{CE}=2.0\text{ mA}, I_F=16\text{ mA}$
Capacitance, Input to Output		C_{IO}	—	0.5	—	pF	—
Resistance, Input to Output		R_{IO}	—	10^{12}	—	Ω	$V_{IO}=500\text{ VDC}$
Switching Time	MCT270/272	t_{ON}, t_{OFF}	—	—	10	μs	$I_C=2.0\text{ mA}, R_L=100\text{ }\Omega, V_{CE}=5.0\text{ V}$
	MCT271		—	—	7.0		
	MCT273		—	—	20		
	MCT274		—	—	25		
	MCT275/277		—	—	15		
	MCT276		—	—	3.5		

เอกสารนี้เป็นเอกสารที่สงวนไว้สำหรับการใช้งานเพื่อการศึกษาเท่านั้น ไม่อนุญาตให้นำไปใช้ประโยชน์ด้านการค้า
ไม่ว่ากรณีใดๆทั้งสิ้น อีกทั้งห้ามมิให้ดัดแปลงเนื้อหา และต้องอ้างอิงถึงเจ้าของเอกสารทุกครั้งที่มีการนำไปใช้

TOSHIBA Photocoupler GaAlAs Ired & Photo-IC

TLP250

Transistor Inverter
 Inverter For Air Conditionor
 IGBT Gate Drive
 Power MOS FET Gate Drive

The TOSHIBA TLP250 consists of a GaAlAs light emitting diode and a integrated photodetector.

This unit is 8-lead DIP package.

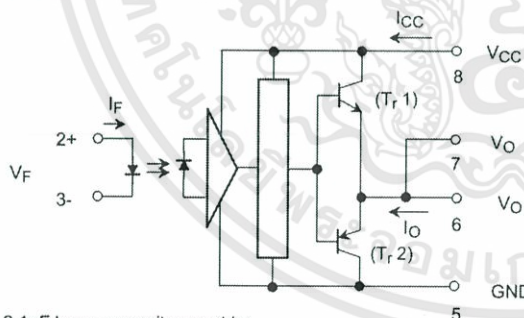
TLP250 is suitable for gate driving circuit of IGBT or power MOS FET.

- Input threshold current: $I_F=5\text{mA}(\text{max.})$
- Supply current (I_{CC}): $11\text{mA}(\text{max.})$
- Supply voltage (V_{CC}): $10\text{--}35\text{V}$
- Output current (I_O): $\pm 1.5\text{A}(\text{max.})$
- Switching time (t_{pLH}/t_{pHL}): $1.5\mu\text{s}(\text{max.})$
- Isolation voltage: $2500\text{V}_{\text{rms}}(\text{min.})$
- UL recognized: UL1577, file No.E67349
- Option (D4) type
 VDE approved: DIN VDE0884/06.92,certificate No.76823
 Maximum operating insulation voltage: 630V_{PK}
 Highest permissible over voltage: 4000V_{PK}

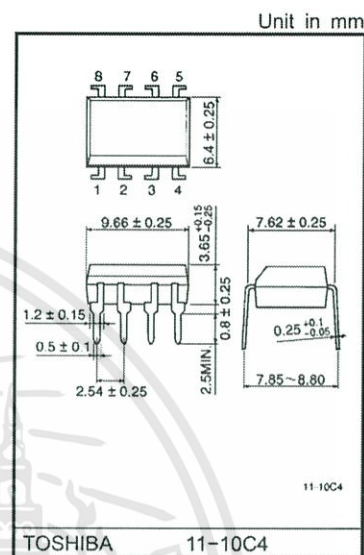
(Note) When a VDE0884 approved type is needed,
 please designate the "option (D4)"

- Creepage distance: $6.4\text{mm}(\text{min.})$
 Clearance: $6.4\text{mm}(\text{min.})$

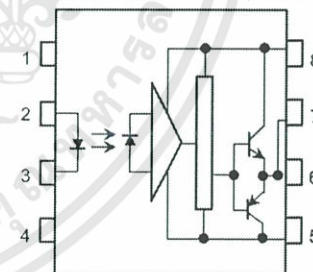
Schematic



A $0.1\mu\text{F}$ bypass capacitor must be connected between pin 8 and 5 (See Note 5).



Pin Configuration (top view)



- 1: N.C.
- 2: Anode
- 3: Cathode
- 4: N.C.
- 5: GND
- 6: V_O (Output)
- 7: V_O
- 8: V_{CC}

Truth Table

	Tr1	Tr2
Input LED On	On	Off
Input LED Off	Off	On

Absolute Maximum Ratings (Ta = 25°C)

Characteristic		Symbol	Rating	Unit	
LED	Forward current	I_F	20	mA	
	Forward current derating (Ta ≥ 70°C)	$\Delta I_F / \Delta T_a$	-0.36	mA / °C	
	Peak transient forward current (Note 1)	I_{FPT}	1	A	
	Reverse voltage	V_R	5	V	
	Junction temperature	T_j	125	°C	
Detector	"H" peak output current ($P_W \leq 2.5\mu s, f \leq 15\text{kHz}$) (Note 2)	I_{OPH}	-1.5	A	
	"L" peak output current ($P_W \leq 2.5\mu s, f \leq 15\text{kHz}$) (Note 2)	I_{OPL}	+1.5	A	
	Output voltage	(Ta ≤ 70°C)	V_O	35	V
		(Ta = 85°C)		24	
	Supply voltage	(Ta ≤ 70°C)	V_{CC}	35	V
		(Ta = 85°C)		24	
	Output voltage derating (Ta ≥ 70°C)	$\Delta V_O / \Delta T_a$	-0.73	V / °C	
	Supply voltage derating (Ta ≥ 70°C)	$\Delta V_{CC} / \Delta T_a$	-0.73	V / °C	
	Junction temperature	T_j	125	°C	
Operating frequency (Note 3)	f	25	kHz		
Operating temperature range	T_{opr}	-20~85	°C		
Storage temperature range	T_{stg}	-55~125	°C		
Lead soldering temperature (10 s)	T_{sol}	260	°C		
Isolation voltage (AC, 1 min., R.H. ≤ 60%) (Note 4)	BV_S	2500	Vrms		

(Note 1) Pulse width $P_W \leq 1\mu s$, 300pps

(Note 2) Exponential waveform

(Note 3) Exponential waveform, $I_{OPH} \leq -1.0A (\leq 2.5\mu s)$, $I_{OPL} \leq +1.0A (\leq 2.5\mu s)$

(Note 4) Device considered a two terminal device: Pins 1, 2, 3 and 4 shorted together, and pins 5, 6, 7 and 8 shorted together.

(Note 5) A ceramic capacitor (0.1μF) should be connected from pin 8 to pin 5 to stabilize the operation of the high gain linear amplifier. Failure to provide the bypassing may impair the switching property. The total lead length between capacitor and coupler should not exceed 1cm.

Recommended Operating Conditions

Characteristic	Symbol	Min.	Typ.	Max.	Unit
Input current, on	$I_{F(ON)}$	7	8	10	mA
Input voltage, off	$V_{F(OFF)}$	0	—	0.8	V
Supply voltage	V_{CC}	15	—	30 20	V
Peak output current	I_{OPH}/I_{OPL}	—	—	±0.5	A
Operating temperature	T_{opr}	-20	25	70 85	°C

Electrical Characteristics (Ta = -20~70°C, unless otherwise specified)

Characteristic		Symbol	Test Circuit	Test Condition	Min.	Typ.*	Max.	Unit	
Input forward voltage		V _F	—	I _F = 10 mA, Ta = 25°C		1.6	1.8	V	
Temperature coefficient of forward voltage		ΔV _F / ΔTa	—	I _F = 10 mA	—	-2.0	—	mV / °C	
Input reverse current		I _R	—	V _R = 5V, Ta = 25°C		—	10	μA	
Input capacitance		C _T	—	V = 0, f = 1MHz, Ta = 25°C	—	45	250	pF	
Output current	"H" level	I _{OPH}	3	V _{CC} = 30V (*1)	I _F = 10 mA V ₈₋₆ = 4V	-0.5	-1.5	—	A
	"L" level	I _{OPL}	2		I _F = 0 V ₆₋₅ = 2.5V	0.5	2	—	
Output voltage	"H" level	V _{OH}	4	V _{CC1} = +15V, V _{EE1} = -15V R _L = 200Ω, I _F = 5mA	11	12.8	—	V	
	"L" level	V _{OL}	5	V _{CC1} = +15V, V _{EE1} = -15V R _L = 200Ω, V _F = 0.8V	—	-14.2	-12.5		
Supply current	"H" level	I _{CCH}	—	V _{CC} = 30V, I _F = 10mA Ta = 25°C	—	7	—	mA	
				V _{CC} = 30V, I _F = 10mA	—	—	11		
	"L" level	I _{CCL}	—	V _{CC} = 30V, I _F = 0mA Ta = 25°C	—	7.5	—		
				V _{CC} = 30V, I _F = 0mA	—	—	11		
Threshold input current	"Output L→H"	I _{FLH}	—	V _{CC1} = +15V, V _{EE1} = -15V R _L = 200Ω, V _O > 0V	—	1.2	5	mA	
Threshold input voltage	"Output H→L"	I _{FHL}	—	V _{CC1} = +15V, V _{EE1} = -15V R _L = 200Ω, V _O < 0V	0.8	—	—	V	
Supply voltage		V _{CC}	—		10	—	35	V	
Capacitance (input-output)		C _S	—	V _S = 0, f = 1MHz Ta = 25°C	—	1.0	2.0	pF	
Resistance(input-output)		R _S	—	V _S = 500V, Ta = 25°C R.H. ≤ 60%	1×10 ⁻¹²	10 ¹⁴	—	Ω	

* All typical values are at Ta = 25°C (*1): Duration of I_O time ≤ 50μs

Switching Characteristics (Ta = -20~70°C, unless otherwise specified)

Characteristic	Symbol	Test Circuit	Test Condition	Min.	Typ.*	Max.	Unit
Propagation delay time	L→H	t_{pLH}	$I_F = 8\text{mA}$ $V_{CC1} = +15\text{V}$, $V_{EE1} = -15\text{V}$ $R_L = 200\Omega$	—	0.15	0.5	μs
	H→L	t_{pHL}		—	0.15	0.5	
Output rise time	t_r	6		—	—	—	
Output fall time	t_f			—	—	—	
Common mode transient immunity at high level output	C_{MH}	7	$V_{CM} = 600\text{V}$, $I_F = 8\text{mA}$ $V_{CC} = 30\text{V}$, $T_a = 25^\circ\text{C}$	-5000	—	—	V / μs
Common mode transient immunity at low level output	C_{ML}	7	$V_{CM} = 600\text{V}$, $I_F = 0\text{mA}$ $V_{CC} = 30\text{V}$, $T_a = 25^\circ\text{C}$	5000	—	—	V / μs

* All typical values are at Ta = 25°C



MOTOROLA
SEMICONDUCTOR TECHNICAL DATA

 Order this document
 by MOC3020/D


6-Pin DIP Random-Phase Optoisolators Triac Driver Output (400 Volts Peak)

The MOC3020 Series consists of gallium arsenide infrared emitting diodes, optically coupled to a silicon bilateral switch.

- ⊗ *To order devices that are tested and marked per VDE 0884 requirements, the suffix "V" must be included at end of part number. VDE 0884 is a test option.*
- They are designed for applications requiring isolated triac triggering.

Recommended for 115/240 Vac(rms) Applications:

- ⊗ Solenoid/Valve Controls
- ⊗ Lamp Ballasts
- ⊗ Interfacing Microprocessors to 115 Vac Peripherals
- ⊗ Motor Controls
- ⊗ Static ac Power Switch
- ⊗ Solid State Relays
- ⊗ Incandescent Lamp Dimmers

MAXIMUM RATINGS ($T_A = 25^\circ\text{C}$ unless otherwise noted)

Rating	Symbol	Value	Unit
INFRARED EMITTING DIODE			
Reverse Voltage	V_R	3	Volts
Forward Current — Continuous	I_F	60	mA
Total Power Dissipation @ $T_A = 25^\circ\text{C}$ Negligible Power in Triac Driver Derate above 25°C	P_D	100	mW
		1.33	mW/ $^\circ\text{C}$
OUTPUT DRIVER			
Off-State Output Terminal Voltage	V_{DRM}	400	Volts
Peak Repetitive Surge Current (PW = 1 ms, 120 pps)	I_{TSM}	1	A
Total Power Dissipation @ $T_A = 25^\circ\text{C}$ Derate above 25°C	P_D	300	mW
		4	mW/ $^\circ\text{C}$
TOTAL DEVICE			
Isolation Surge Voltage ⁽¹⁾ (Peak ac Voltage, 60 Hz, 1 Second Duration)	V_{ISO}	7500	Vac(pk)
Total Power Dissipation @ $T_A = 25^\circ\text{C}$ Derate above 25°C	P_D	330	mW
		4.4	mW/ $^\circ\text{C}$
Junction Temperature Range	T_J	-40 to +100	$^\circ\text{C}$
Ambient Operating Temperature Range ⁽²⁾	T_A	-40 to +85	$^\circ\text{C}$
Storage Temperature Range ⁽²⁾	T_{stg}	-40 to +150	$^\circ\text{C}$
Soldering Temperature (10 s)	T_L	260	$^\circ\text{C}$

1. Isolation surge voltage, V_{ISO} , is an internal device dielectric breakdown rating. For this test, Pins 1 and 2 are common, and Pins 4, 5 and 6 are common.
2. Refer to Quality and Reliability Section in Opto Data Book for information on test conditions.

Preferred devices are Motorola recommended choices for future use and best overall value. GlobalOptoisolator is a trademark of Motorola, Inc.

REV 1

© Motorola, Inc. 1995

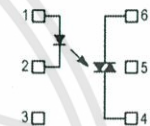
MOC3021
[IFT = 15 mA Max]
MOC3022
[IFT = 10 mA Max]
MOC3023*
[IFT = 5 mA Max]

*Motorola Preferred Device

STYLE 6 PLASTIC


 STANDARD THRU HOLE
 CASE 730A-04

SCHEMATIC



1. ANODE
2. CATHODE
3. NC
4. MAIN TERMINAL
5. SUBSTRATE
DO NOT CONNECT
6. MAIN TERMINAL



เอกสารนี้เป็นเอกสารที่สงวนไว้สำหรับการใช้งานเพื่อการศึกษาเท่านั้น ไม่อนุญาตให้นำไปใช้ประโยชน์ด้านการค้า
ไม่ว่ากรณีใดๆทั้งสิ้น อีกทั้งห้ามมิให้ดัดแปลงเนื้อหา และต้องอ้างอิงถึงเจ้าของเอกสารทุกครั้งที่มีการนำไปใช้

MOC3021 MOC3022 MOC3023ELECTRICAL CHARACTERISTICS ($T_A = 25^\circ\text{C}$ unless otherwise noted)

Characteristic	Symbol	Min	Typ	Max	Unit
INPUT LED					
Reverse Leakage Current ($V_R = 3\text{ V}$)	I_R	—	0.05	100	μA
Forward Voltage ($I_F = 10\text{ mA}$)	V_F	—	1.15	1.5	Volts
OUTPUT DETECTOR ($I_F = 0$ unless otherwise noted)					
Peak Blocking Current, Either Direction (Rated $V_{DRM}^{(1)}$)	I_{DRM}	—	10	100	nA
Peak On-State Voltage, Either Direction ($I_{TM} = 100\text{ mA Peak}$)	V_{TM}	—	1.8	3	Volts
Critical Rate of Rise of Off-State Voltage (Figure 7, Note 2)	dv/dt	—	10	—	$\text{V}/\mu\text{s}$
COUPLED					
LED Trigger Current, Current Required to Latch Output (Main Terminal Voltage = $3\text{ V}^{(3)}$)	I_{FT}	—	8	15	mA
MOC3021		—	—	10	
MOC3022		—	—	5	
MOC3023		—	—	—	
Holding Current, Either Direction	I_H	—	100	—	μA

1. Test voltage must be applied within dv/dt rating.
2. This is static dv/dt . See Figure 7 for test circuit. Commutating dv/dt is a function of the load-driving thyristor(s) only.
3. All devices are guaranteed to trigger at an I_F value less than or equal to max I_{FT} . Therefore, recommended operating I_F lies between max I_{FT} (15 mA for MOC3021, 10 mA for MOC3022, 5 mA for MOC3023) and absolute max I_F (60 mA).

TYPICAL ELECTRICAL CHARACTERISTICS

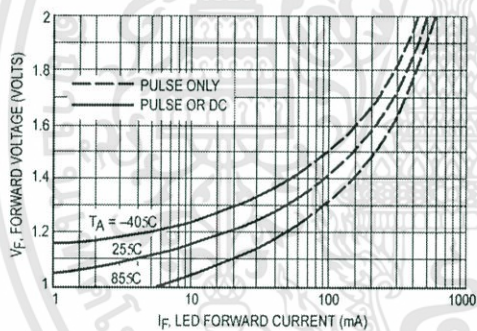
 $T_A = 25^\circ\text{C}$ 

Figure 1. LED Forward Voltage versus Forward Current

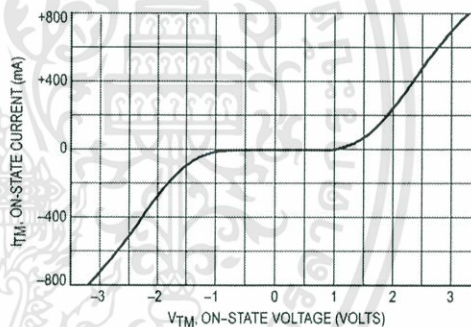


Figure 2. On-State Characteristics

MOC3021 MOC3022 MOC3023

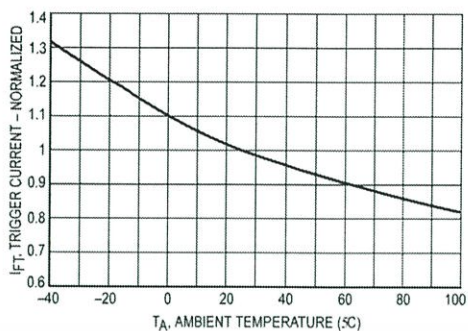


Figure 3. Trigger Current versus Temperature

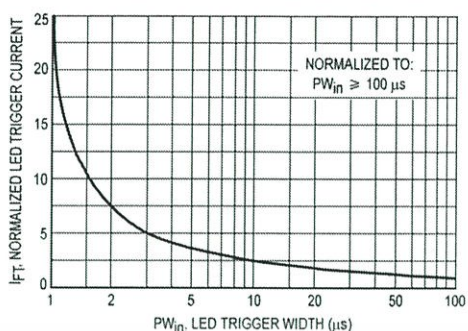


Figure 4. LED Current Required to Trigger versus LED Pulse Width

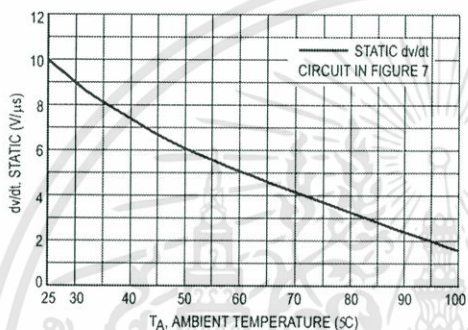


Figure 5. dv/dt versus Temperature

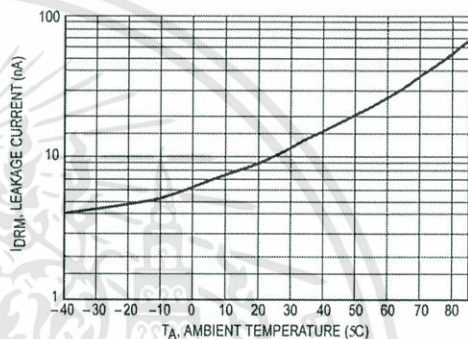


Figure 6. Leakage Current, IDRM versus Temperature

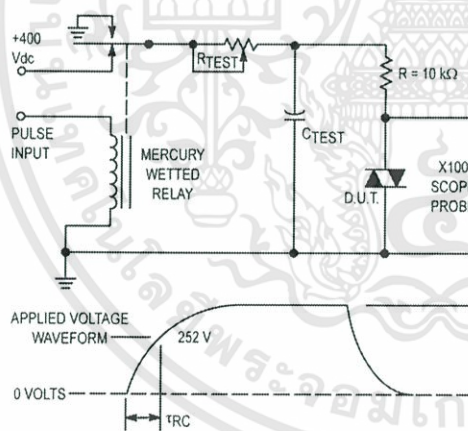
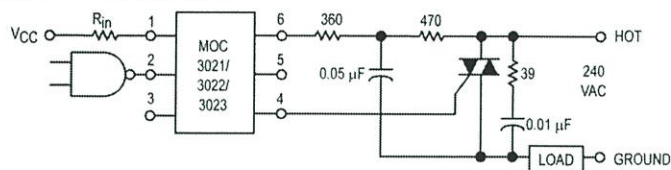


Figure 7. Static dv/dt Test Circuit

1. The mercury wetted relay provides a high speed repeated pulse to the D.U.T.
2. 100x scope probes are used, to allow high speeds and voltages.
3. The worst-case condition for static dv/dt is established by triggering the D.U.T. with a normal LED input current, then removing the current. The variable R_{TEST} allows the dv/dt to be gradually increased until the D.U.T. continues to trigger in response to the applied voltage pulse, even after the LED current has been removed. The dv/dt is then decreased until the D.U.T. stops triggering. τ_{RC} is measured at this point and recorded.

เอกสารนี้เป็นเอกสารที่สงวนไว้สำหรับการใช้งานเพื่อการศึกษาเท่านั้น ไม่อนุญาตให้นำไปใช้ประโยชน์ด้านการค้า ไม่ว่าจะกรณีใดๆทั้งสิ้น อีกทั้งห้ามมิให้ดัดแปลงเนื้อหา และต้องอ้างอิงถึงเจ้าของเอกสารทุกครั้งที่มีการนำไปใช้

MOC3021 MOC3022 MOC3023

* This optoisolator should not be used to drive a load directly. It is intended to be a trigger device only.

Additional information on the use of optically coupled triac drivers is available in Application Note AN-780A.

In this circuit the "hot" side of the line is switched and the load connected to the cold or ground side.

The 39 ohm resistor and 0.01 μF capacitor are for snubbing of the triac, and the 470 ohm resistor and 0.05 μF capacitor are for snubbing the coupler. These components may or may not be necessary depending upon the particular triac and load used.

Figure 8. Typical Application Circuit

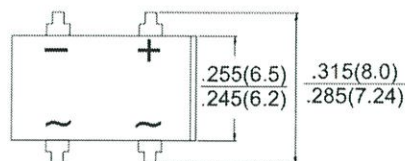




DBL101G - DBL107G

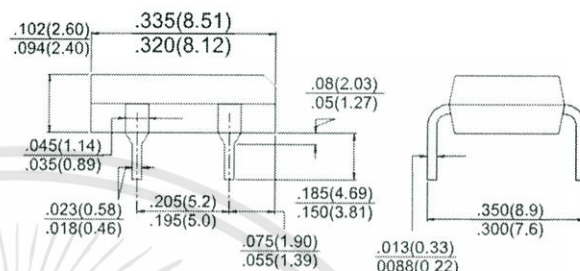
Single Phase 1.0AMP. Glass Passivated Bridge Rectifiers

DBL



Features

- ◇ UL Recognized File # E-326854
- ◇ Glass passivated junction
- ◇ Ideal for printed circuit board
- ◇ Reliable low cost construction utilizing molded plastic technique
- ◇ High temperature soldering guaranteed:
260 °C / 10 seconds at 5lbs., (2.3kg) tension
- ◇ High surge current capability
- ◇ Green compound with suffix "G" on packing code & prefix "G" on datecode

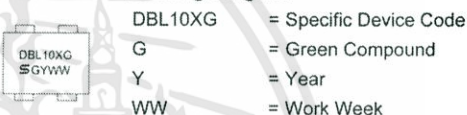


Mechanical Data

- ◇ Case: Molded plastic body
- ◇ Terminals: Pure tin plated, lead free, solderable per MIL-STD-202, Method 208
- ◇ Weight: 0.37 grams

Dimensions in inches and (millimeters)

Marking Diagram



Maximum Ratings and Electrical Characteristics

Rating at 25 °C ambient temperature unless otherwise specified.

Single phase, half wave, 60 Hz, resistive or inductive load.

For capacitive load, derate current by 20%

Type Number	Symbol	DBL 101G	DBL 102G	DBL 103G	DBL 104G	DBL 105G	DBL 106G	DBL 107G	Unit
Maximum Repetitive Peak Reverse Voltage	V_{RRM}	50	100	200	400	600	800	1000	V
Maximum RMS Voltage	V_{RMS}	35	70	140	280	420	560	700	V
Maximum DC Blocking Voltage	V_{DC}	50	100	200	400	600	800	1000	V
Maximum Average Forward Rectified Current @ $T_A=40^\circ\text{C}$	$I_{F(AV)}$				1				A
Peak Forward Surge Current, 8.3 ms Single Half Sine-wave Superimposed on Rated Load (JEDEC method)	I_{FSM}	40			30				A
Maximum Instantaneous Forward Voltage (Note 1) @1.0A	V_F				1.1				V
Maximum DC Reverse Current at Rated DC Block Voltage @ $T_A=25^\circ\text{C}$ @ $T_A=125^\circ\text{C}$	I_R				10 500				μA
Typical Junction Capacitance	C_j				25				pF
Typical Thermal Resistance (Note 2)	$R_{\theta JA}$ $R_{\theta JL}$				40 15				$^\circ\text{C/W}$
Operating Temperature Range	T_J				- 55 to + 150				$^\circ\text{C}$
Storage Temperature Range	T_{STG}				- 55 to + 150				$^\circ\text{C}$

Notes 1: Pulse Test with PW=300 usec, 1% Duty Cycle

Notes 2: Thermal Resistance from Junction to Ambient and from Junction to Lead Mounted On P.C.B. With 0.2" x 0.2"(5mm x 5mm) Copper Pads.

Version:H11

RATINGS AND CHARACTERISTIC CURVES (DBL101G THRU DBL107G)

FIG.1 FORWARD CURRENT DERATING CURVE

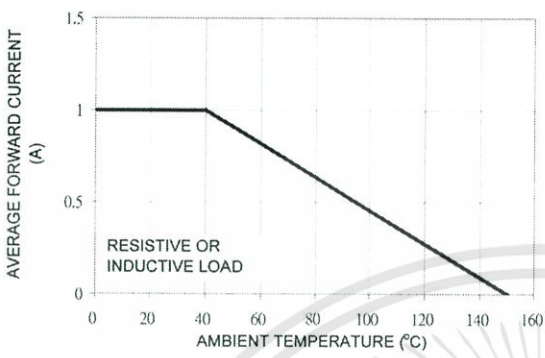


FIG. 2 TYPICAL REVERSE CHARACTERISTICS

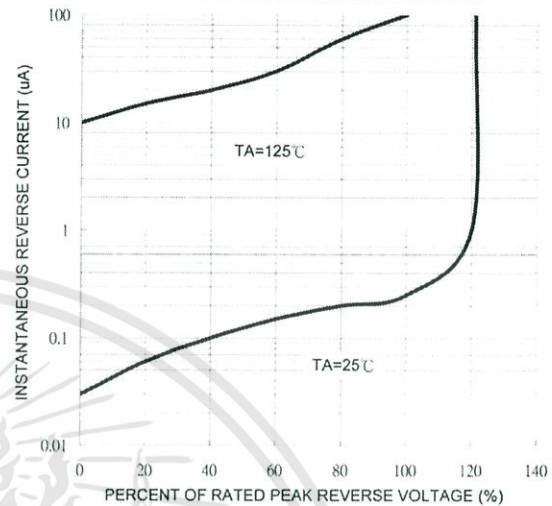


FIG. 3 MAXIMUM NON-REPETITIVE FORWARD SURGE CURRENT

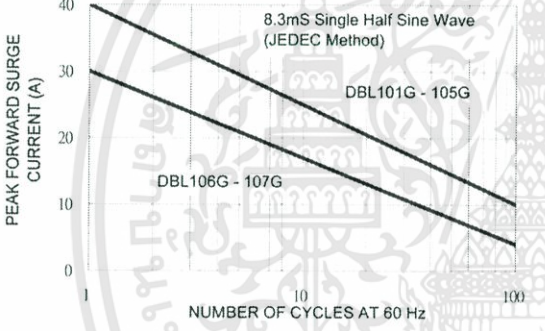


FIG. 4 TYPICAL JUNCTION CAPACITANCE

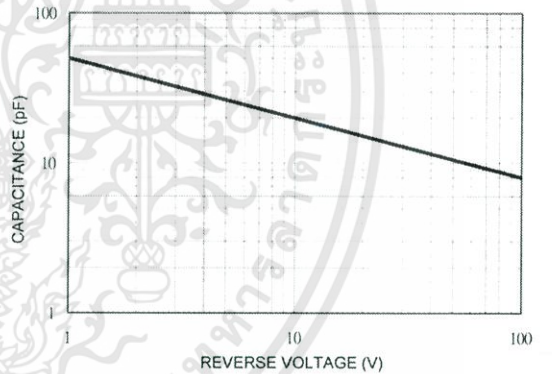
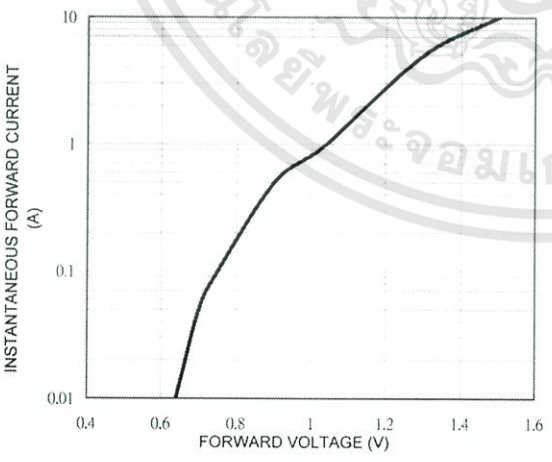


FIG. 5 TYPICAL FORWARD CHARACTERISTICS



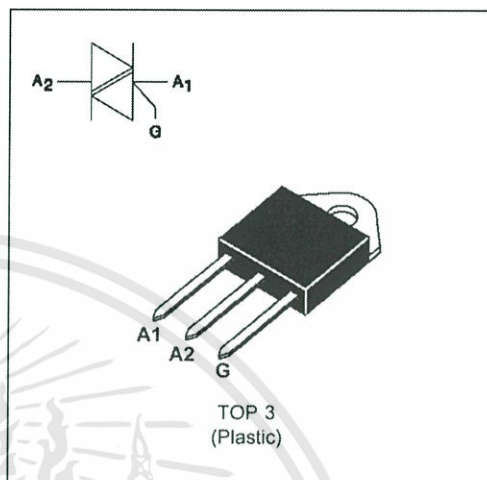
เอกสารนี้เป็นเอกสารที่สงวนไว้สำหรับการใช้งานเพื่อการศึกษาเท่านั้น ไม่อนุญาตให้นำไปใช้ประโยชน์ด้านการค้า ไม่ว่าจะกรณีใดๆทั้งสิ้น อีกทั้งห้ามมิให้ดัดแปลงเนื้อหา และต้องอ้างอิงถึงเจ้าของเอกสารทุกครั้งที่มีการนำไปใช้

STANDARD TRIACS
FEATURES

- HIGH SURGE CURRENT CAPABILITY
- COMMUTATION : $(dV/dt)_c > 10V/\mu s$
- BTA Family :
 INSULATING VOLTAGE = 2500V(RMS)
 (UL RECOGNIZED : E81734)

DESCRIPTION

The BTA41 A/B / BTB41 B triac family are high performance glass passivated PNP devices. These parts are suitable for general purpose applications where high surge current capability is required. Application such as phase control and static switching on inductive or resistive load.


ABSOLUTE RATINGS (limiting values)

Symbol	Parameter	Value	Unit	
I _{T(RMS)}	RMS on-state current (360° conduction angle)	BTA T _c = 75 °C	40	A
		BTB T _c = 85 °C	45	
I _{TSM}	Non repetitive surge peak on-state current (T _J initial = 25°C)	t _p = 8.3 ms	315	A
		t _p = 10 ms	300	
i _{2t}	i _{2t} value	t _p = 10 ms	450	A ² s
di/dt	Critical rate of rise of on-state current Gate supply : I _G = 500mA di _G /dt = 1A/μs	Repetitive F = 50 Hz	10	A/μs
		Non Repetitive	50	
T _{stg} T _J	Storage and operating junction temperature range	- 40 to + 150 - 40 to + 125	°C °C	
T _I	Maximum lead temperature for soldering during 10 s at 4.5 mm from case	260	°C	

Symbol	Parameter	BTA41-...A/B / BTB41-... B				Unit
		400	600	700	800	
V _{DRM} V _{RRM}	Repetitive peak off-state voltage T _J = 125 °C	400	600	700	800	V

BTA41 A/B / BTB41 B**THERMAL RESISTANCES**

Symbol	Parameter		Value	Unit
Rth (j-a)	Junction to ambient		50	5C/W
Rth (j-c) DC	Junction to case for DC	BTA	1.2	5C/W
		BTB	0.8	
Rth (j-c) AC	Junction to case for 360° conduction angle (F= 50 Hz)	BTA	0.9	5C/W
		BTB	0.6	

GATE CHARACTERISTICS (maximum values)

$P_G (AV) = 1W$ $P_{GM} = 40W$ ($t_p = 20 \mu s$) $I_{GM} = 8A$ ($t_p = 20 \mu s$) $V_{GM} = 16V$ ($t_p = 20 \mu s$).

ELECTRICAL CHARACTERISTICS

Symbol	Test Conditions	Quadrant		Suffix		Unit	
				A	B		
I _{GT}	V _D =12V (DC) R _L =33Ω	T _j =255C	I-II-III	MAX	100	50	mA
			IV	MAX	150	100	
V _{GT}	V _D =12V (DC) R _L =33Ω	T _j =255C	I-II-III-IV	MAX	1.5		V
V _{GD}	V _D =V _{DRM} R _L =3.3kΩ	T _j =1255C	I-II-III-IV	MIN	0.2		V
t _{gt}	V _D =V _{DRM} I _G = 500mA dI _G /dt = 3A/μs	T _j =255C	I-II-III-IV	TYP	2.5		μs
I _L	I _G =1.2 I _{GT}	T _j =255C	I-III-IV	TYP	70	60	mA
			II		200	180	
I _H *	I _T = 500mA gate open	T _j =255C		MAX	100	80	mA
V _{TM} *	I _{TM} = 60A t _p = 380μs	T _j =255C		MAX	1.8		V
I _{DRM} I _{RDM}	V _{DRM} Rated V _{RDM} Rated	T _j =255C		MAX	0.01		mA
		T _j =1255C		MAX	6		
dV/dt *	Linear slope up to V _D =67%V _{DRM} gate open	T _j =1255C		MIN	250	250	V/μs
(dV/dt) _c *	(dI/dt) _c = 18A/ms BTA (dI/dt) _c = 20A/ms BTB	T _j =1255C		MIN	10		V/μs

* For either polarity of electrode A2 voltage with reference to electrode A1.



ภาคผนวก ค
เครื่องมืออุปกรณ์การวัด
(Instrument)

เอกสารนี้เป็นเอกสารที่สงวนไว้สำหรับการใช้งานเพื่อการศึกษาเท่านั้น ไม่อนุญาตให้นำไปใช้ประโยชน์ด้านการค้า
ไม่ว่ากรณีใดๆทั้งสิ้น อีกทั้งห้ามมิให้ดัดแปลงเนื้อหา และต้องอ้างอิงถึงเจ้าของเอกสารทุกครั้งที่มีการนำไปใช้

ภาคผนวก ค
เครื่องมืออุปกรณ์การวัด

1. Multi-Meter: SANWA



รูปที่ ค - 1 Multi-Meter: SANWA

2. Oscilloscope: YOKOGAWA DL 1620



รูปที่ ค - 2 Oscilloscope: YOKOGAWA DL 1620

เอกสารนี้เป็นเอกสารที่สงวนไว้สำหรับการใช้งานเพื่อการศึกษาเท่านั้น ไม่อนุญาตให้นำไปใช้ประโยชน์ด้านการค้า ไม่ว่าจะกรณีใดๆทั้งสิ้น อีกทั้งห้ามมิให้ดัดแปลงเนื้อหา และต้องอ้างอิงถึงเจ้าของเอกสารทุกครั้งที่มีการนำไปใช้

3.Oscilloscope Probe: YOKOGAWA MODEL 700978 50MΩx100



รูปที่ ค - 3 Oscilloscope Probe: YOKOGAWA MODEL 700978 50MΩx100

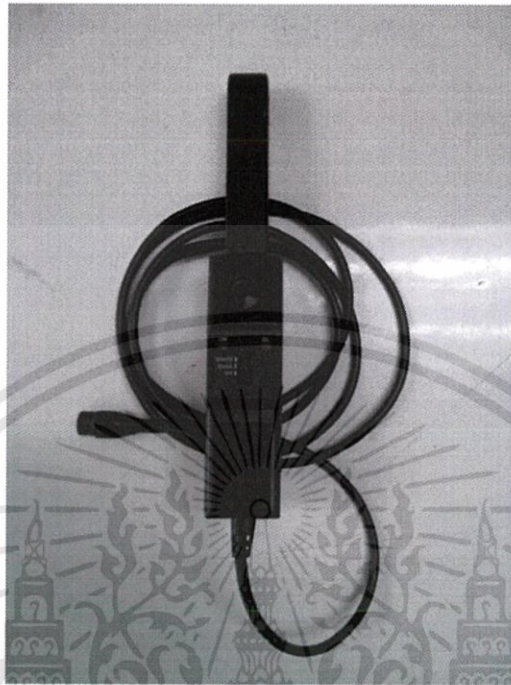
4.Differential Probe: YOKOGAWA MODEL 700925



รูปที่ ค - 4 Differential Probe: YOKOGAWA MODEL 700925

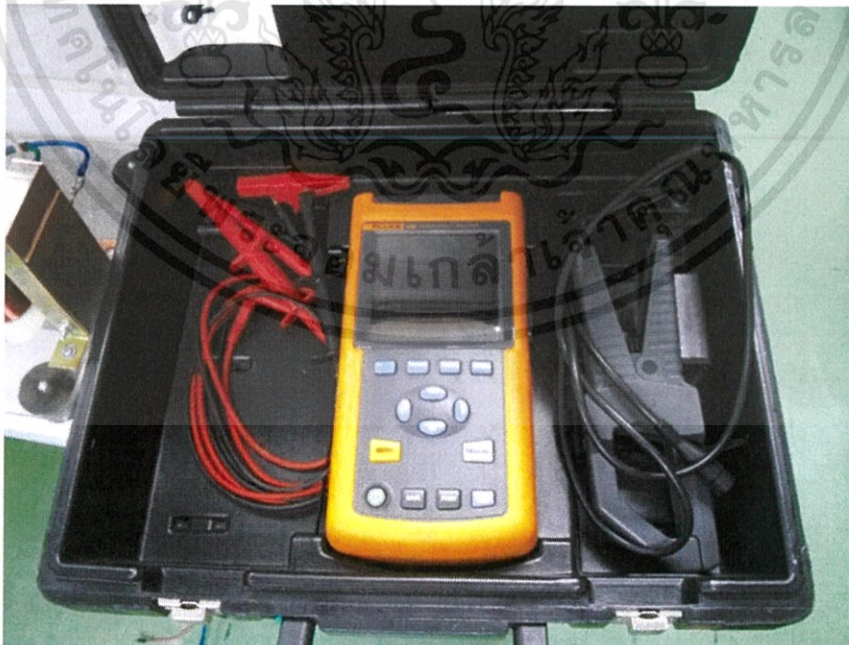
เอกสารนี้เป็นเอกสารที่สงวนไว้สำหรับการใช้งานเพื่อการศึกษาเท่านั้น ไม่อนุญาตให้นำไปใช้ประโยชน์ด้านการค้า ไม่ว่าจะกรณีใดๆทั้งสิ้น อีกทั้งห้ามมิให้ดัดแปลงเนื้อหา และต้องอ้างอิงถึงเจ้าของเอกสารทุกครั้งที่มีการนำไปใช้

5.Current Probe: Fluke



รูปที่ ค - 5 Current Probe: Fluke

6.Fluke 43B



รูปที่ ค - 6 Fluke 43B

เอกสารนี้เป็นเอกสารที่สงวนไว้สำหรับการใช้งานเพื่อการศึกษาเท่านั้น ไม่อนุญาตให้นำไปใช้ประโยชน์ด้านการค้า ไม่ว่าจะกรณีใดๆทั้งสิ้น อีกทั้งห้ามมิให้ดัดแปลงเนื้อหา และต้องอ้างอิงถึงเจ้าของเอกสารทุกครั้งที่มีการนำไปใช้



เอกสารนี้เป็นเอกสารที่สงวนไว้สำหรับการใช้งานเพื่อการศึกษาเท่านั้น ไม่อนุญาตให้นำไปใช้ประโยชน์ด้านการค้า
ไม่ว่ากรณีใดๆทั้งสิ้น อีกทั้งห้ามมิให้ตัดแปลงเนื้อหา และต้องอ้างอิงถึงเจ้าของเอกสารทุกครั้งที่มีการนำไปใช้

ตัวชดเชยกำลังรีแอกทีฟแบบสามเฟส

3-Phase Static VAR Compensator

นาย นฤมล เพ็ชรนาคี นาย ปราชญา นวเจตตระกูล นาย ปราณ ปัญญาวรณศิริ

ภาควิชาวิศวกรรมไฟฟ้า คณะวิศวกรรมศาสตร์ สถาบันเทคโนโลยีพระจอมเกล้าเจ้าคุณทหารลาดกระบัง

1 ซอย จลองกรุง 1 ลาดกระบัง กรุงเทพมหานคร 10520 โทรศัพท์ 02-329-8000 ต่อ 3925 E-Mail: keborn_jenly@hotmail.com

บทคัดย่อ

ปัญหาทางด้านเสถียรภาพและความมั่นคงกับระบบไฟฟ้าส่งผลถึงการขยายตัวของเศรษฐกิจและอุตสาหกรรมทั้งนี้จึงจำเป็นต้องมีการพัฒนาอุปกรณ์ที่สามารถช่วยรักษาเสถียรภาพและความมั่นคงของระบบไฟฟ้า ปรินญาณิพนธ์นี้ศึกษาและทดลองตัวชดเชยกำลังรีแอกทีฟไฟรีแอกทีฟแบบสถิตในระบบไฟฟ้ากำลังสามเฟส โดยใช้วงจรรีแอกเตอร์ควบคุมด้วยไทรสเตอร์ (Thyristor Control Reactor : TCR) ต่อขนานกับตัวเก็บประจุที่กำหนดค่าคงที่ (Fixed Capacitor) ที่มีพิคัดกำลัง 1.5 kVA แรงดัน 220 V และกระแส 3.5 A เพื่อรักษาระดับแรงดันไฟฟ้าที่จุดโหลดและปรับปรุงค่าตัวประกอบกำลังไฟฟ้าที่แหล่งจ่ายของระบบสามเฟสให้ดีขึ้น ตัวชดเชยนี้สามารถควบคุมปริมาณกำลังรีแอกทีฟที่เข้าสู่ระบบได้โดยการปรับมุมจุดชนวนนำกระแสของไทรสเตอร์ ซึ่งในการควบคุมจะรับค่าแรงดันที่ จุดโหลดเพื่อนำไปคำนวณหามุมจุดชนวนนำกระแสของไทรสเตอร์ที่เหมาะสมโดยใช้ไมโครคอนโทรลเลอร์ แล้วนำค่ามุมจุดชนวนที่คำนวณได้ไปสั่งการชุดควบคุมเฟสให้ไทรสเตอร์แต่ละเฟสนำกระแส โดยใช้ วงจรบัฟเฟอร์ ในการขยายแรงดันแทนวงจร Buck Converter การเพื่อให้งานทำงานรวดเร็วขึ้น

คำสำคัญ: ตัวชดเชยกำลังไฟรีแอกทีฟสามเฟส, วงจรรีแอกเตอร์ควบคุมด้วยไทรสเตอร์

Abstract

The stability and security of electric power system has affected to develop

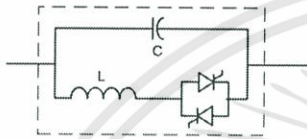
and expand the economics and industrials of the country. It is necessary to develop a device that can help to maintain the stability and security of the power system. This paper is to study and experiment of 3-phase Static VAR Compensator for power system using Thyristor Control Reactor (TCR) with fixed capacitor rated power 1.5 kVA voltage 220 V and current 3.5 A. The purpose of this project is to maintain load point voltage level and improve the power factor of three-phase power system. The compensator can control the quantity of reactive power flowing into system by adjusting the firing angle of the thyristors. Microcontroller is used for calculating of the firing angle of the thyristors in each phase, receiving load point voltage, sending calculated firing angle to trig the thyristor in each phase, and using buffer amplifier instead of buck converter to make the circuit faster.

Keyword: 3-phase Static VAR Compensator, Thyristor Control Reactor

1. บทนำ

ตัวชดเชยกำลังไฟรีแอกทีฟแบบสามเฟส เป็นหนึ่งในอุปกรณ์จำพวกของกำลังไฟรีแอกทีฟตอบสนองเร็วในระบบส่งจ่ายไฟฟ้ากำลัง ได้ดำเนินการศึกษาและจำลองการทำงานของ ตัวชดเชยกำลังไฟรีแอกทีฟแบบสามเฟส การศึกษานี้จะพิจารณาการควบคุมการทำงานของตัวชดเชยกำลังไฟรีแอกทีฟแบบสามเฟส โดยใช้วงจร

รีแอกเตอร์ที่ควบคุมด้วยไทรสเตอร์ (Thyristor Control Reactor : TCR) ต่อขนานกับตัวเก็บประจุที่กำหนดค่าคงที่ (Fixed Capacitor) ซึ่งมีโครงสร้างดังรูปที่ 1.1 โดยตัวเก็บประจุจะต้องจ่ายกำลังไฟฟ้รีแอกทีฟได้เพียงพอกับความ ต้องการของโหลด และชุดรีแอกเตอร์ควบคุมด้วยไทรสเตอร์ จะครอบคลุมถึงค่าความแตกต่างระหว่างกำลังไฟฟ้รีแอกทีฟของตัวเก็บประจุ (Q_C) กับค่า กำลังไฟฟ้รีแอกทีฟที่ โหลดรับเข้าไปจริง [$q_{load}(t)$] ค่าความแตกต่างของ กำลังไฟฟ้รีแอกทีฟ [$Q_C - q_{load}(t)$] จะไหลเวียน ระหว่างตัวเก็บประจุกับรีแอกเตอร์ (X_L)



รูปที่ 1.1 โครงสร้างของวงจรรีแอกเตอร์ที่ควบคุมด้วยไทรสเตอร์ (Thyristor Control Reactor : TCR) ต่อขนานกับตัวเก็บประจุที่กำหนดค่าคงที่ (Fixed Capacitor)

ในการควบคุมให้ได้ค่ากำลังไฟฟ้รีแอกทีฟตามที โหลดต้องการ จะใช้การควบคุมกระแสที่ไหลผ่านตัวเหนี่ยวนำ (inductor, L) ให้ได้ค่าที่ทำให้กำลังไฟฟ้รีแอกทีฟรวมของตัวขดเคียวมีค่าเท่ากับความต้องการกำลังไฟฟ้รีแอกทีฟของระบบ ในการควบคุมกระแสดังกล่าวนี้จะควบคุมจากมุมจุดฉนวนไทรสเตอร์ซึ่งมีมุมนำกระแสของไทรสเตอร์เปลี่ยนไปจะทำให้ค่า rms ของกระแสที่ไหลผ่านตัวเหนี่ยวนำเปลี่ยนไป เหมือนกับเป็นรีแอกเตอร์ที่ควบคุมค่ารีแอกแตนซ์ได้ ด้วยเหตุนี้เราจึงสามารถควบคุมกำลังไฟฟ้รีแอกทีฟของระบบโดยการควบคุมมุมจุดฉนวน

2. ทฤษฎีและงานวิจัยที่เกี่ยวข้อง

2.1 แรงดันตก (Voltage drop)

ระบบจ่ายกำลังไฟฟ้า การที่ระบบแหล่งจ่ายมีระยะห่างจากจุดโหลดมาก ทำให้เกิดการสูญเสียในสายส่งซึ่งค่าอิมพีแดนซ์ในสายส่งจะเป็นดังสมการดังต่อไปนี้

$Z_{line} = R + jX_L$ โดยค่าอิมพีแดนซ์ในสาย $R \ll X_L$ เมื่อนำมาพิจารณาแล้ว สายส่งจะมีการ สูญเสียกำลังไฟฟ้รีแอกทีฟ และเกิด แรงดันตกคร่อม ซึ่งส่งผลให้ ที่จุดโหลดนั้น แรงดันมีค่าลดลงกว่าระดับ และแหล่งจ่ายไม่สามารถจ่าย กำลังไฟฟ้ที่จุดโหลดได้ตามความต้องการ

2.2 การแก้ไขปรับปรุงค่าตัวประกอบกำลัง

ในระบบกำลังไฟฟ้า สามารถแยกออกเป็นกำลังไฟฟ้จริง กับ กำลังไฟฟ้รีแอกทีฟ ซึ่งในโรงงานหรือสถานประกอบการ ไม่เพียงต้องการกำลังไฟฟ้าแล้ว มีความต้องการกำลังไฟฟ้รีแอกทีฟอีกด้วย จึงทำให้ ค่าตัวประกอบกำลังมีค่าลดลง และกระแสที่ออกจากแหล่งจ่ายมีค่าสูงขึ้น เมื่อนำชุดตัวขดเคียวเข้าจ่ายกำลังไฟฟ้รีแอกทีฟให้กับระบบ ก็สามารถปรับแก้ค่าตัวประกอบกำลังของแหล่งจ่ายได้ และทำให้กระแสที่ออกจากแหล่งจ่ายมีค่าลดลงอีกด้วย

3. การออกแบบและผลการจำลอง

ตัวขดเคียวกำลังไฟฟ้รีแอกทีฟถูกใช้ในการรักษาแรงดันที่จุดโหลดหรือขดเคียวกำลังไฟฟ้รีแอกทีฟของระบบ เพื่อปรับปรุงค่าตัวประกอบกำลังให้กับแหล่งจ่ายกำลังไฟฟ้า โดยอาศัย ไตรแอกต์อยู่กับตัวเหนี่ยวนำและขนาดอยู่กับตัวเก็บประจุ ขนาดกำลังไฟฟ้รีแอกทีฟของตัวเก็บประจุสำหรับรักษาระดับแรงดันจะหาได้จาก

$$Q_{svc} = Q_{cc} - Q_{tcr} \quad (3.1)$$

$$Q_{cc} = V_t I_{cc} \quad (3.2)$$

$$X_{cc} = \frac{V_t}{I_{cc}} \quad (3.3)$$

$$Q_{tcr} = V_t I_{tcr} \quad (3.4)$$

$$X_{tcr} = \frac{V_t}{I_{tcr}} \quad (3.5)$$

ขนาดของกำลังไฟฟ้รีแอกทีฟของชุดตัวขดเคียวที่สามารถจ่ายออกไปให้กับระบบจะมีค่าต่ำสุดเมื่อมุมจุดฉนวนไตรแอกต์มีมุม 90 องศาและจะมีค่าสูงสุดเมื่อมุมจุดฉนวนไตรแอกต์มีมุม 180 องศา

$$X_{tcr} = X_L = X_{cc} \quad (3.6)$$

ค่าอิมพีแดนซ์ที่มุมจุดฉนวนไตรแอกต์มีมุม 90 องศา

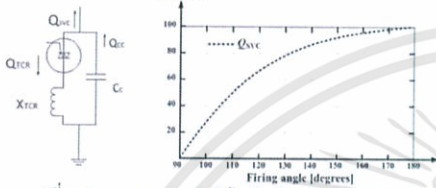
$$X_{tcr} = \frac{\pi X_L}{2\pi - 2\alpha + \sin 2\alpha} \quad (3.7)$$

ค่าอิมพีแดนซ์ของตัวเหนี่ยวนำควบคุมด้วยไตรแอกที่มีมุมจุดชนวนไตรแอกที่มีมุม 90-180 องศา

$$X_{svc} = \frac{\pi X_L X_C}{X_C(2\pi - 2\alpha + \sin 2\alpha) - \pi X_L} \quad (3.8)$$

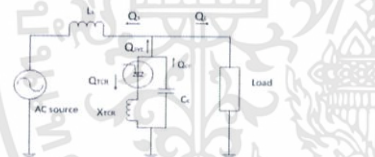
ค่าอิมพีแดนซ์รวมของตัวชดเชยที่มีมุมจุดชนวนไตรแอกที่มีมุม 90-180 องศา

$$Q_{svc} = \frac{V_f^2}{X_{svc}} \quad (3.9)$$

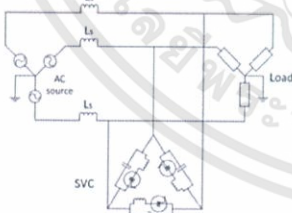


รูปที่ 3.1 วงจรชดเชยกำลังไฟฟ้้ารีแอกทีฟ และกราฟแสดงความสัมพันธ์ระหว่างแรงดันที่ชดเชยกับมุมจุดชนวน

นอกจากนี้จะมีการศึกษาเพิ่มเติมของ ผลกระทบการเปลี่ยนแปลงมุมจุดชนวน ที่อุปกรณ์สวิตซิ่ง ตัวเหนี่ยวนำในตัวชดเชยกำลังไฟฟ้้ารีแอกทีฟ และกระแสแหล่งจ่าย โดยผลการทดสอบเครื่องต้นแบบจะนำเสนอแบ่งออกเป็นขั้นตอน เริ่มต้นจากการทดสอบในระดับไฟฟ้้า 1 เฟส แล้วจึงสร้างเครื่องต้นแบบสามเฟส



รูปที่ 3.2 วงจรของตัวชดเชยกำลังไฟฟ้้ารีแอกทีฟ 1 เฟส และทิศทางการไหลของกำลังไฟฟ้้ารีแอกทีฟ

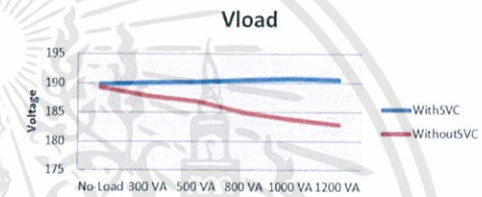


รูปที่ 3.3 วงจรของตัวชดเชยกำลังไฟฟ้้ารีแอกทีฟ

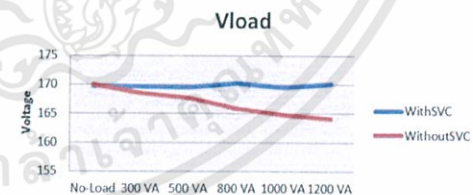
สำหรับการควบคุมจะทำการจับสัญญาณแรงดันมาทำการคำนวณเปรียบเทียบกับค่ามุมจุดชนวนที่เหมาะสม โดยในกรณีที่แรงดันลดน้อยลงจะ เพิ่มมุมจุดชนวน หรือเป็นการลดความเป็นตัวเหนี่ยวนำ (X_L) ในวงจรตัวชดเชย ทำให้ค่าอิมพีแดนซ์ของตัวชดเชย (X_{svc}) ลดลง ดังนั้นกำลังไฟฟ้้ารีแอกทีฟของวงจร (Q_{svc}) ที่ให้กับระบบจะมีค่ามากขึ้น

4. ผลทดลองเครื่องต้นแบบ

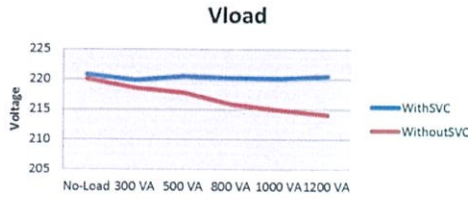
โดยการทดลองจะเริ่มขึ้นแรงดันไฟฟ้้าจนถึงระดับแรงดันที่ทำการศึกษาก่อนนั้นจะเพิ่มโหลดเข้าสู่ระบบ และทำการอ่านค่าบันทึกผล



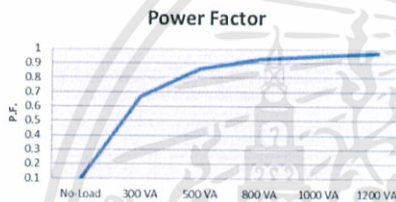
รูปที่ 4.1 รูปกราฟแสดงเปรียบเทียบระดับแรงก่อนและหลังติดตั้งชดเชยกำลังไฟฟ้้ารีแอกทีฟที่ 190 โวลต์ การทดลองรักษาระดับแรงดันไฟฟ้้า 190 โวลต์ จะพบว่าค่าแรงดันหลังจากติดตั้งตัวชดเชยเมื่อมีการเปลี่ยนแปลงโหลด สามารถรักษาระดับแรงดันไว้ที่ 190 โวลต์ได้ ซึ่งเป็นไปตามวัตถุประสงค์ และเมื่อศึกษาเพิ่มเติม ที่ระดับแรงดัน 170 โวลต์ และ 220 โวลต์เพิ่มเติมได้ผลดังนี้



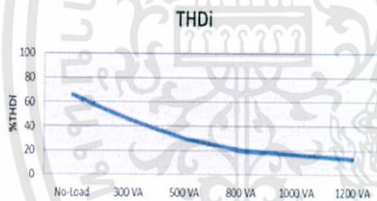
รูปที่ 4.2 รูปกราฟเปรียบเทียบระดับแรงก่อนและหลังติดตั้งตัวชดเชยกำลังไฟฟ้้ารีแอกทีฟที่ 170 โวลต์



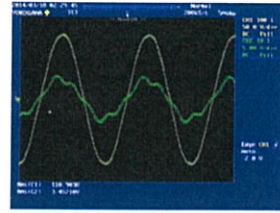
รูปที่ 4.3 รูปกราฟแสดงเปรียบเทียบระดับแรงก่อนและหลังติดตั้งชดเชยกำลังไฟฟ้ารีแอคทีฟที่ 220 โวลต์ โดยการทำงานของตัวชดเชยเมื่อศึกษาเพิ่มเติมพบว่ามีปัญหาด้านฮาร์มอนิกส์และค่าตัวประกอบของแหล่งจ่าย ในสภาวะที่โหลดต่ำนั้นค่าตัวประกอบกำลังจะต่ำและ THD_i สูง อันเนื่องมาจากการสวิตชิ่งรีแอคเตอร์ทำให้กระแสมีความผิดเพี้ยนไป สร้างฮาร์มอนิกส์ แล้วเมื่อโหลดมีขนาดมากขึ้น ปัญหา ดัง กล่าว จะ ลด ลง โดย แสดง ดัง รูปที่ 4.4และ4.5



รูปที่ 4.4 รูปกราฟแสดงค่าตัวประกอบกำลังของแหล่งจ่าย



รูปที่ 4.5 รูปกราฟค่าเปอร์เซ็นต์ความผิดเพี้ยนของกระแส โดยในเรื่องของค่าตัวประกอบกำลังมีการศึกษาเพิ่มเติมโดยการจับสัญญาณรูปคลื่นแรงดัน กับ กระแส ของแปลงจ่ายมาทำการเปรียบเทียบกันจะพบว่าแรงดันกับกระแสเข้าใกล้ Unity แต่กระแสจะมีความผิดเพี้ยนออกไปดังที่กล่าวไว้ข้างต้น ในขณะที่โหลดมากขึ้น โดยแสดงในรูปที่4.6



รูปที่ 4.6 รูปแสดงการเปรียบเทียบรูปคลื่นแรงดันกับกระแสของแหล่งจ่าย

5. สรุป

การทดลองตัวชดเชยกำลังไฟฟ้ารีแอคทีฟสามเฟสพบว่า สามารถรักษาระดับแรงดันไว้ได้ ด้วยการชดเชยกำลังไฟฟ้ารีแอคทีฟที่สูญเสียในสายส่ง และค่าตัวประกอบกำลังมีค่าเข้าใกล้ Unity เมื่อมีการเพิ่มขึ้นของโหลดซึ่งเป็นที่ตามมาจากการปรับมุมจุดชนวน แต่พบปัญหาที่สภาวะในโหลดต่ำตัวชดเชยจะสร้างฮาร์มอนิก

เอกสารอ้างอิง

[1] L.Gyugyi, "Power Electronics in Electric Utilities : Static Var Compensators," Proc.IEEE, Vol. 76, No.4, 1988, pp. 483-494.
 [2] L.Gyugyi, "Reactive Power Generation and Control by Thyristor Circuits," IEEE Trans. On Ind. Application, Vol. IA-15, NO.5, 1979, pp. 521-531.
 [3] ทานทัต เนตรช้ำ และคณะ, ตัวชดเชยกำลังไฟฟ้ารีแอคทีฟแบบสถิต, ปรียญานันท์วิศวกรรมศาสตรบัณฑิต , สถาบันเทคโนโลยีพระจอมเกล้า , สาขาวิชาวิศวกรรมไฟฟ้า ,เจ้าคุณทหารลาดกระบัง2542.
 [4] ภริศักดิ์ เผ่าผาง, "การวิเคราะห์พฤติกรรมของอุปกรณ์ชดเชยแรงดันกลับคืนแบบพลวัตที่ใช้พลังงานจากบัสด้านโหลด," วิทยานิพนธ์วิศวกรรมศาสตรมหาบัณฑิต, สาขาวิชาวิศวกรรมไฟฟ้า, มหาวิทยาลัยเกษตรศาสตร์, 2552.
 [5] ภาณุมาศ แสนพวง, "การศึกษาตัวควบคุมการไหลกำลังไฟฟ้าแบบรวมสำหรับระบบส่งกำลังไฟฟ้าด้วยโปรแกรม ATP/EMTP," วิทยานิพนธ์วิศวกรรมศาสตรมหาบัณฑิต, สาขาวิชาวิศวกรรมไฟฟ้า, มหาวิทยาลัยเทคโนโลยีราชมงคลธัญบุรี, 2552.

ประวัติผู้เขียน



ชื่อ - นามสกุล นาย นฤตล เพ็ชรนาดี
วัน/เดือน/ปี เกิด 6 ตุลาคม 2534



ชื่อ - นามสกุล นาย ปราชญา นวแจ่มตระกูล
วัน/เดือน/ปี เกิด 13 มิถุนายน 2535



ชื่อ - นามสกุล นาย ปราณ ปัญญาวรณศิริ
วัน/เดือน/ปี เกิด 20 มีนาคม 2535

เอกสารนี้เป็นเอกสารที่สงวนไว้สำหรับการใช้งานเพื่อการศึกษาเท่านั้น ไม่อนุญาตให้นำไปใช้ประโยชน์ด้านการค้า
ไม่ว่ากรณีใดๆทั้งสิ้น อีกทั้งห้ามมิให้ตัดแปลงเนื้อหา และต้องอ้างอิงถึงเจ้าของเอกสารทุกครั้งที่มีการนำไปใช้